



01161
2c.
3

DIVISION DE ESTUDIOS DE PÓSGRADO

Facultad de Ingeniería

IMPACTO DEL NUEVO REGLAMENTO DE CONSTRUCCIONES PARA EL DISTRITO FEDERAL EN EL COSTO DE UN EDIFICIO DE 15 NIVELES

ENRIQUE GONZALEZ RIVERO

TESIS

Presentada a la División de Estudios de
Posgrado de la

FACULTAD DE INGENIERIA

de la

UNIVERSIDAD NACIONAL AUTONOMA DE MEXICO

como requisito para obtener
el grado de
MAESTRO EN INGENIERIA
(ESTRUCTURAS)

CIUDAD UNIVERSITARIA

JANERO 1988

TESIS CON
FALLA DE ORIGEN

01161



UNAM – Dirección General de Bibliotecas

Tesis Digitales
Restricciones de uso

DERECHOS RESERVADOS ©
PROHIBIDA SU REPRODUCCIÓN TOTAL O PARCIAL

Todo el material contenido en esta tesis está protegido por la Ley Federal del Derecho de Autor (LFDA) de los Estados Unidos Mexicanos (Méjico).

El uso de imágenes, fragmentos de videos, y demás material que sea objeto de protección de los derechos de autor, será exclusivamente para fines educativos e informativos y deberá citar la fuente donde la obtuvo mencionando el autor o autores. Cualquier uso distinto como el lucro, reproducción, edición o modificación, será perseguido y sancionado por el respectivo titular de los Derechos de Autor.

CONTENIDO

	Pag
1.- INTRODUCCION	1
2. ANALISIS PRELIMINAR	7
3. ANALISIS I	46
4. ANALISIS II	94
5. ANALISIS III REVISION CON EL ESPECTRO DE RESPUESTA DEL SISMO REGISTRADO EN SEPTIEMBRE 19 DE 1985 EN EL EDIFI CIO DE LA S.C.T.....	135
6. ANALISIS COMPARATIVO DE COSTO	144
7. DISCUSION DE LOS RESULTADOS	145
8. BIBLIOGRAFIA.....	147

1.- INTRODUCCION.

Este trabajo como tema de tesis consiste en estudiar el impacto económico del nuevo Reglamento de Construcciones para el D.F. modificado a raíz del sismo del 19 de septiembre de 1985. Se diseña un edificio simplificado de 15 niveles, aplicando el Reglamento de Construcciones para el D.F. versión 1976 y el nuevo Reglamento publicado en el Diario Oficial el 3 de julio de 1987.

El edificio propuesto tiene 3 crujías de 8m. en cada dirección y 15 niveles, con altura libre en cada entrepiso de 2.4 m.; se estructurará a base de trábeas y columnas, formando marcos rígidos; los tableros de la losa de 8m X 8m se subdividirán en cuatro de 4m X 4m empleando trábeas secundarias cruzadas.

Se supondrá que en dos de los lados hay colindancia, con muro de relleno y en los otros dos, fachadas. Se supondrán especificaciones de carga razonables, se supondrá que el edificio es para oficinas y estará desplantado en la zona de terreno blando de la ciudad de México. Incluye el diseño de losas y trábeas secundarias de planta tipo y azoteas así como de las trábeas y columnas de un marco de orilla y un marco interior y de la cimentación, resulta con cajón de cimentación y pilotes de fricción.

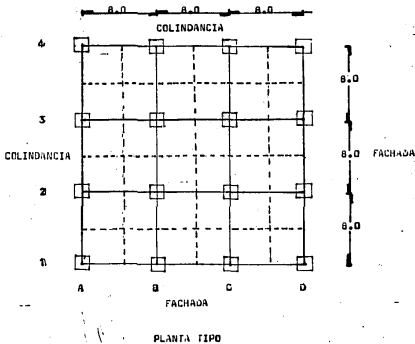
Se tomarán en cuenta las modificaciones al reglamento en cuanto a carga viva para edificios de oficinas para efecto sísmico, coeficientes sísmicos, factores de reducción de resistencia para el diseño de columnas y pilotes. Se supondrá factor de reducción por ductilidad de 4 para diseño por sismo, y se obtendrán las fuerzas de diseño mediante el método de análisis modal elástico, propuesto por el reglamento, tomando en cuenta efectos de torsión por el método estático. El dimensionamiento preliminar de las trábeas y columnas será tal que los porcentajes de refuerzo que se obtienen en los dos casos sean cercanos al mínimo y que satisfaga los requisitos de desplazamiento.

Se obtienen también los esfuerzos a que estaría sometida la estructura con el espectro de respuestas obtenido con la componente E-W del registro del Centro Sismico del 19 de septiembre para 5 % de amortiguamiento.

Se cubican los materiales, concreto, acero, cimbra y número de pilotes y se obtiene el costo aproximado de ambos diseños aplicando valores medios, separando el costo de superestructura y de cimentación.

Se discuten los resultados obtenidos.

A CONTINUACION SE MUESTRA EL CRÓQUIS DE LA ESTRUCTURACIÓN DEL EDIFICIO



N = 15

N = 14

N = 13

N = 12

N = 11

N = 10

N = 9

N = 8

N = 7

N = 6

N = 5

N = 4

N = 3

N = 2

N = 1

N = 0

CIMENTACION

← Pilotes

CORTE LONGITUDINAL

Una vez que hemos visto en general la estructuración del edificio y de la planta tipo, procederemos a evaluar las cargas que actúan de acuerdo con el criterio del Reglamento de Construcciones para el D.F. 1976 puesto que son estas las especificaciones que se seguirán para el cálculo y diseño de sus elementos y para su construcción.

Cargas consideradas para análisis preliminar por:

I. Carga Vertical

a) Azotea :

$$\begin{aligned} u_{\text{ladrillo}} &= 35 \text{ Kg/m}^2 \\ u_{\text{relleno}} &= 360 \text{ } , , \\ u_{\text{losa}} &= 240 \text{ } , , \\ u_{\text{plafond}} &= 35 \text{ } , , \\ u_m &= \underline{\underline{670 \text{ Kg/m}^2}} \\ u_y &= 90 \text{ } , , \\ u_t &= \underline{\underline{760 \text{ Kg/m}^2}} \end{aligned}$$

b) Entrepiso :

$$\begin{aligned} u_{\text{piso loseta}} &= 25 \text{ Kg/m}^2 \quad (\text{acabado integral y loseta}) \\ u_{\text{losa}} &= 240 \text{ Kg/m}^2 \quad - \text{loseta} \\ u_{\text{plafond}} &= 35 \text{ } , , \\ u_m &= \underline{\underline{330 \text{ Kg/m}^2}} \\ u_y &= 100 \text{ } , , \\ u_t &= \underline{\underline{500 \text{ Kg/m}^2}} \end{aligned}$$

II. Carga viva para efectos sísmicos.

a) Azotea = 70 Kg/m^2

b) Entrepiso = 90 Kg/m^2

III. Carga viva para hundimiento en arcilla.

a) Azotea = 70 Kg/m^2

b) Entrepiso = 70 Kg/m^2

Cargas consideradas para el análisis I.

Conviene aclarar que estas cargas son para el diseño preliminar, para el análisis I (es el análisis que se desarrollará tomando en cuenta el Reglamento de Construcciones para el D.F. versión 1976) y para el análisis II (análisis que se desarrolla de acuerdo a la versión del Reglamento de Construcciones para el D.F. versión 1987).

Se consideran cargas similares que las anteriores puesto que ambos análisis se efectúan con las normas anteriores al sismo del 19 de septiembre de 1985.

Cargas consideradas para el análisis III.

I. Carga Vertical..

a) Azotea	$U_{ladrilla} = 35 \text{ Kg/m}^2$
	$U_{rellano} = 360 \text{ "}$
	$U_{losa} = 240 \text{ "}$
	$U_{plafond} = 35 \text{ "}$
	$U_R = \underline{\underline{670 \text{ Kg/m}^2}}$
	$U_V = \underline{\underline{100 \text{ "}}}$
	$U_T = \underline{\underline{770 \text{ Kg/m}^2}}$

b) Entrepiso	$U_{piso loseta} = 25 \text{ Kg/m}^2$	(acabado <u>antiguo</u>)
	$U_{losa} = 240 \text{ "}$	<u>gral y loseta</u>)
	$U_{plafond} = 35 \text{ "}$	
	$U_R = \underline{\underline{300 \text{ Kg/m}^2}}$	
	$U_V = \underline{\underline{250 \text{ "}}}$	
	$U_T = \underline{\underline{550 \text{ Kg/m}^2}}$	

II. Carga viva para efectos sísmicos

- a) Azotea = 70 Kg/m^2
- b) Entrepiso = 180 Kg/m^2

III. Carga viva para hundimientos en arcilla

- a) Azotea = 140 Kg/m^2
- b) Entrepiso = 140 Kg/m^2

2.- ANALISIS PRELIMINAR.

Para el cálculo y diseño de un edificio se hace necesario conocer ciertos datos que son de suma importancia; uno de estos es el conocer las dimensiones de tráves y columnas.

Estas dimensiones a veces están restringidas por condiciones arquitectónicas y otras por las especificaciones dadas en el Reglamento de Construcciones para el U.F.

Para el caso que nos ocupa no existen restricciones de tipo arquitectónico en cuanto a dimensiones por lo que nos guiaránmos por las especificaciones del reglamento.

Verificaremos que estas dimensiones de tráves y columnas cumplen las siguientes condiciones :

- a) Las columnas tendrán un desplazamiento relativo entre cada entresuelo de 0.008 h. máximo permisible así como el desplazamiento máximo del edificio será de 0.008 H (H = altura total del edificio).
- b) Se proponen dimensiones de tráves que ayudan a la rigidez del edificio y tengan un porcentaje de acero menor de Q75 del porcentaje balanceado de refuerzo por cuestiones de ductilidad.

Para realizar el análisis preliminar se proponen las siguientes secciones para los ocho marcos que forman el edificio y también se calculan las rigididades relativas:

B

40X70

340

40X70

40X70

40X80

40X80

40X80

40X80

40X90

40X90

40X90

40X90

40X100

40X100

40X100

40X100

340

0.0

8.0

0.0

8.0

12"

cols.
50X50

8"

cols.
60X60

4"

cols.
70X70cols.
80X80

COLUMNS

$$\frac{I}{L} = \frac{80 \times 80^3}{12} = 3\ 413\ 300,0 \text{ cm}^4$$

sec. 80 X 80

$$\frac{I}{L} = \frac{3\ 413\ 300}{340} = 11\ 770,0 \text{ cm}^3$$

$$\frac{I}{L} = \frac{70 \times 70^3}{12} = 2\ 000\ 830,0 \text{ cm}^4$$

sec. 70 X 70

$$\frac{I}{L} = \frac{2\ 000\ 830}{340} = 6\ 899,4 \text{ cm}^3$$

$$\frac{I}{L} = \frac{60 \times 60^3}{12} = 1\ 080\ 000 \text{ cm}^4$$

sec. 60 X 60

$$\frac{I}{L} = \frac{1\ 080\ 000}{340} = 3\ 176,0 \text{ cm}^3$$

$$\frac{I}{L} = \frac{50 \times 50^3}{12} = 520\ 833 \text{ cm}^4$$

sec. 50 X 50

$$\frac{I}{L} = \frac{520\ 833}{340} = 1\ 796,0 \text{ cm}^3$$

TRACES

$$\frac{I}{L} = \frac{40 \times 100^3}{12} = 3\ 333\ 300 \text{ cm}^4$$

sec. 40 X 100

$$\frac{I}{L} = \frac{3\ 333\ 300}{800} = 4\ 116,0 \text{ cm}^3$$

$$\frac{I}{L} = \frac{40 \times 90^3}{12} = 2\ 430\ 000 \text{ cm}^4$$

sec. 40 X 90

$$\frac{I}{L} = \frac{2\ 430\ 000}{800} = 3\ 037 \text{ cm}^3$$

$$I = \frac{40 \times 80^3}{12} = 1\ 706\ 666 \text{ cm}^4$$

sec. 40 X 80

$$I = \frac{1\ 706\ 666}{800} = 2\ 133 \text{ cm}^3$$

$$I = \frac{40 \times 70^3}{12} = 1\ 143\ 333 \text{ cm}^4$$

$$I = \frac{1\ 143\ 333}{800} = 1429 \text{ cm}^3$$

sec. 40 X 70

Una vez que tenemos calculadas las inercias relativas calculamos el peso de la estructura, y calculamos las rigideces de piso por el método de Wilbur esto nos sirve para poder realizar un análisis modal elástico como lo propone el Reglamento; a continuación se muestran todos estos resultados.

El Reglamento especifica (art. 241) que deben considerarse cuando menos tres modos de vibración en cada dirección de análisis y que se tienen que tomar en cuenta todos los modos con períodos mayores que 0.4 seg.

DETERMINACION DE PESOS Y MASAS

	Peso Total
1) Peso cols. 1º, 2º, 3º, 4º nivel 0.8 X 0.8 X 3.4 = 2.11, X 2.4 = 5.0, X 16	= 80.00 ton/niv
2) Peso de trabes principales:sec. 40X100 0.4 X 0.9 X 2.4 = 0.86 T/M, X 7.2 X 3 X 8	= 149.29 ton/niv
3) Peso de trabes secundarias 0.3 X 0.8 X 2.4 = 0.576 T/M, X 7.6 X 3 X 6	= 78.80 ton/niv
4) Peso losa 24 X 24 X 0.1 X 2.4 =	= 138.24 ton/niv
5) Peso carga viva 24 X 24 X 0.09 T/M ² =	= 51.84 ton/niv
6) Peso muros 3 (2.4 X 7.2 X 0.1) 2 X 1.6 T/M ³	= 16.60 ton/niv
7) Peso loseta, plafond (0.025 + .035) 24 X 24	= 34.56 ton/niv
8) Herrería (0.141 T/M ² X 7.2 X 2.4 X 6)	= 14.67 ton/niv
<hr/>	
Total	= 564.00 ton/niv

1) Peso colas. 5°, 6°, 7°, 8°nivel.

$$0.7 \times 0.7 \times 3.4 = 1,617 \times 2.4 = 3.88 \times 16 = 62.10 \text{ ton.}$$

2) Peso trabes principales sec. 40X90

$$0.4 \times 0.8 \times 2.4 = (0.768 \times 7.2 \times 3) 8 = 132.71 \text{ ton.}$$

3) Peso trabes secundarias

$$0.3 \times 0.8 \times 2.4 = (0.576 \times 7.6 \times 3) 6 = 78.80 \text{ ton.}$$

4) Peso llosa

$$= 138.24 \text{ ton.}$$

5) Peso carga viva

$$(24 \times 24 \times 0.09 \text{ T/M}^2) = 51.84 \text{ ton.}$$

6) Peso muros

$$3 (2.4 \times 7.3 \times 0.1) 2 \times 1.6 \text{ T/M}^3 = 16.60 \text{ ton.}$$

7) Peso loseta, plafond

$$= 34.56 \text{ ton.}$$

8) Herrería

$$(0.141 \text{ T/M}^2 \times 7.3 \times 2.4 \times 6) = 14.67 \text{ ton.}$$

Total = 530.00 ton.

Peso total

1) Peso cols. 9°, 10°, 11°, 12°niveles

$$0.6 \times 0.6 \times 3.4 = 1.188, X 2.4 = 2.85 \times 16 = 45.62 \text{ ton.}$$

2) Peso trábeas principales sec. 40X80

$$0.40 \times 0.7 \times 2.4 = (0.672, T/M, X 7.4 X 3) 8 = 119.34 \text{ ton.}$$

3) Peso trábeas secundarias sec. 30X80 = 78.80 ton.

4) Peso losa = 138.24 ton.

5) Peso carga viva = 51.84 ton

6) Peso muros = 16.60 ton.

7) Peso losetas, plafond = 34.56 ton.

8) Herrerías = 14.67 ton.

Total = 499.67 ton.

= 500.00 ton.

1) Peso cols. 13°, 14°niveles.

$$0.5 \times 0.5 \times 3.3 = 0.825, X 2.4 = 1.98, X 16 = 31.68 \text{ ton.}$$

2) Peso trábeas principales sec. 40X70

$$0.4 \times 0.6 \times 2.4 = (0.576, X 7.5 X 3) 8 = 103.68 \text{ ton.}$$

3) Peso trábeas secundarias sec. 30X80 = 78.80 ton.

4) Peso losa = 138.24 ton.

$$(24 \times 24 \times 0.1 \times 2.4) = 138.24 \text{ ton.}$$

5) Peso carga viva = 51.84 ton.

6) Peso muros = 16.60 ton.

7) Peso loseta, plafond	= 34.56 ton.
8) Herreria	= 14.67 ton.
Total = 470.00 ton.	

Nivel 15°

1) Peso cols.	= 31.68 ton.
2) Peso trábes	= 103.68 ton.
3) Peso trábes secundarias	= 78.60 ton.
4) Peso lesa	= 138.24 ton.
5) Peso carga viva	= 40.34 ton.
$\alpha_{v} = 0.070 \text{ T/M}^2$	
6) Peso muros	= 16.60 ton.
7) Peso plafond,	= 34.56 ton.
8) Peso relleno, ladrillo $(0.183 \times 1.8 + .035 \text{ T/M}^2) 24 \times 24$	= 210.22 ton.
Total = 654.12 ton.	
<u>= 654.00 ton.</u>	

CALCULO DE RIGIDECES.

$$R_1 = \frac{48 E}{340 \left[\frac{4 \times 340}{4 \times 11770} + \frac{340+340}{3 \times 4166} + \frac{4 \times 11770}{12} \right]} = 2.02 E$$

$$R_2 = \frac{48 E}{340 \left[\frac{4 \times 340}{4 \times 11770} + \frac{340+340}{3 \times 4166} + \frac{340+340}{4 \times 11770} + \frac{340+340}{3 \times 4166} \right]} = 1.147 E$$

$$R_3 = \frac{48 E}{340 \left[\frac{4 \times 340}{4 \times 11770} + \frac{340+340}{3 \times 4166} + \frac{340+340}{3 \times 4166} \right]} = 1.038 E$$

$$R_4 = \frac{48 E}{340 \left[\frac{4 \times 340}{4 \times 11770} + \frac{340+340}{3 \times 4166} + \frac{340+340}{3 \times 4166} \right]} = 1.038 E$$

$$R_5 = \frac{48 E}{340 \left[\frac{4 \times 340}{4 \times 6899} + \frac{340+340}{3 \times 4166} + \frac{340+340}{3 \times 3037} \right]} = 0.797 E$$

$$R_6 = \frac{48 E}{340 \left[\frac{4 \times 340}{4 \times 6899} + \frac{340+340}{3 \times 3037} + \frac{340+340}{3 \times 3037} \right]} = 0.716 E$$

$$R_7 = \frac{48 E}{340 \left[\frac{4 \times 340}{4 \times 6899} + \frac{340+340}{3 \times 3037} + \frac{340+340}{3 \times 3037} \right]} = 0.716 E$$

$$R_8 = \frac{48 E}{340 \left[\frac{4 \times 340}{4 \times 6899} + \frac{340+340}{3 \times 3037} + \frac{340+340}{3 \times 3037} \right]} = 0.716 E$$

$$R_9 = \frac{48 E}{340 \left[\frac{4 \times 340}{4 \times 3724} + \frac{340+340}{3 \times 3037} + \frac{340+340}{3 \times 2133} \right]} = 0.520 E$$

$$R_{10} = \frac{48 E}{340 \left[\frac{4 \times 340}{4 \times 3724} + \frac{340+340}{3 \times 2133} + \frac{340+340}{3 \times 2133} \right]} = 0.465 E$$

$$R_{11} = \frac{48 E}{340 \left[\frac{4 \times 340}{4 \times 3724} + \frac{340+340}{3 \times 2133} + \frac{340+340}{3 \times 2133} \right]} = 0.465 E$$

$$R_{12} = \frac{48 E}{340 \left[\frac{4 \times 340}{4 \times 3724} + \frac{340+340}{3 \times 2133} + \frac{340+340}{3 \times 2133} \right]} = 0.465 E$$

$$R_{13} = \frac{48 E}{340 \left[\frac{4 \times 340}{4 \times 1796} + \frac{340+340}{3 \times 2133} + \frac{340+340}{3 \times 1429} \right]} = 0.311 E$$

$$R_{14} = \frac{48 E}{340 \left[\frac{4 \times 340}{4 \times 1796} + \frac{340+340}{3 \times 1429} + \frac{340+340}{3 \times 1429} \right]} = 0.279 E$$

$$R_{15} = \frac{48 E}{340 \left[\frac{4 \times 340}{4 \times 1796} + \frac{340+340}{3 \times 1429} + \frac{340}{3 \times 1429} \right]} = 0.331 E$$

NIVEL	RIGIDEZ EN FUNCION DE "E"	RIGIDEZ T/CM	PESOS TON	MASAS A TON-SEG
1	8.080 E	1277.52	564	0.574
2	4.588 E	725.40	564	0.574
3	4.152 E	656.47	564	0.574
4	4.152 E	656.47	564	0.574
5	3.188 E	504.05	530	0.540
6	2.864 E	452.82	530	0.540
7	2.864 E	452.82	530	0.540
8	2.864 E	452.82	530	0.540
9	2.080 E	328.86	500	0.509
10	1.860 E	294.08	500	0.509
11	1.860 E	294.08	500	0.509
12	1.860 E	294.08	500	0.509
13	1.244 E	196.68	470	0.479
14	- 1.116 E	176.45	470	0.479
15	1.324 E	209.33	654	0.670

$$f'_{t_e} = 250 \text{ Kg/cm}^2$$

$$E = 10000 \sqrt{f'c} =$$

$$= 10000 \times 15.811 =$$

$$= 158.110 \text{ Kg/cm}^2$$

$$E = 158.11 \text{ T/cm}^2$$

0.340	0.340	0.340	0.340	0.340	0.340	0.340	0.340	0.340	0.340	0.340	0.340	0.340
+2.01	-0.21	-0.21	-0.21	-0.21	-0.21	-0.21	-0.21	-0.21	-0.21	-0.21	-0.21	-0.21
11.12	13.617	2.224	16.041	2.00	10.840	21.444	29.403	24.474	29.406	19.300	19.615	20.433
110.64	1107.227	920.334	86.623	95.897	110.169	122.334	122.334	122.334	122.334	122.334	122.334	122.334
11.12	13.657	2.248	16.105	2.442	10.247	21.811	24.312	24.409	20.920	2.054	30.982	32.033
103.173	1010.37	934.37	83.492	92.576	103.269	116.752	121.432	121.432	121.432	121.432	121.432	121.432
0.340	0.340	0.340	0.340	0.340	0.340	0.340	0.340	0.340	0.340	0.340	0.340	0.340
0.280	0.432	-0.432	1.527	6.500	4.075	1.876	-2.051	-6.356	-9.947	-11.380		
127.13	199.710	502.192	506.48	234.47	736.66	801.53	919.07	633.63	3.581	-1.433	300.10	
11.12	13.657	2.248	16.105	2.442	10.247	21.811	24.312	24.409	20.920	2.054	30.982	32.033
103.173	1010.37	934.37	83.492	92.576	103.269	116.752	121.432	121.432	121.432	121.432	121.432	121.432
0.340	0.340	0.340	0.340	0.340	0.340	0.340	0.340	0.340	0.340	0.340	0.340	0.340
0.469	9.041	-0.215	0.025	7.806	5.406	2.611	-0.470	-5.00	-9.185	-11.370		
212.72	97.713	400.60	402.97	246.14	646.02	821.70	906.29	738.48	-0.481	-2.191	458.75	
210.43											279.72	484.62
0.340	0.340	0.340	0.340	0.340	0.340	0.340	0.340	0.340	0.340	0.340	0.340	0.340
0.471	9.030	-0.213	0.635	1.215	7.620	5.422	2.629	-0.452	-4.994	-9.180	-11.340	
211.31	96.683	399.82	302.99	246.29	646.11	821.35	906.32	738.75	-4.922	-2.210	460.52	
210.34											279.22	484.16
0.340	0.340	0.340	0.340	0.340	0.340	0.340	0.340	0.340	0.340	0.340	0.340	0.340
0.502	9.129	-0.170	0.950	7.785	5.640	2.805	-0.101	-4.736	-9.010	-11.324		
227.33	80.77	302.85	1.164	2.144	630.51	839.96	931.75	895.90	-4.74	-2.314	484.42	
261.15	308.10	303.00	247.86	179.45	91.803	5.77	141.80	141.80	288.74	478.20		10.204
0.340	0.340	0.340	0.340	0.340	0.340	0.340	0.340	0.340	0.340	0.340	0.340	0.340
0.733	2.112	0.103	1.059	-2.871	-5.140	-6.421	-3.503	-17.718	3.302	6.245		
11.21	903.03	4.1006	28	246.42	757.65	866.43	269.26	765.64	5.016	616.26		
217.62											268.94	911.11
11.12	13.657	2.248	16.105	2.442	10.247	21.811	24.312	24.409	20.920	2.054	30.982	32.033
103.173	1010.37	934.37	83.492	92.576	103.269	116.752	121.432	121.432	121.432	121.432	121.432	121.432
0.340	0.340	0.340	0.340	0.340	0.340	0.340	0.340	0.340	0.340	0.340	0.340	0.340
4.387	-2.129	0.427	1.009	-2.582	-5.353	-6.311	-5.904	-2.261	2.703	3.066		
14.5	-5.7.04	-1013.00	224.25	791.02	451.00	3.0.61	0.706	3.542	4.564	4.165		
231.23	38.24										214.35	453.55
11.12	13.657	2.248	16.105	2.442	10.247	21.811	24.312	24.409	20.920	2.054	30.982	32.033

Una vez que hemos valuado las tres formas de vibrar de la estructura procedemos a valuar los desplazamientos reales las fuerzas de inercia y las fuerzas cortantes; debido a que es simétrica la estructura y es un análisis preliminar se hace en un solo sentido.

Además se consideran los factores de C , a_0 , T_1 , T_2 , y r , de acuerdo con la tabla 4.1 del manual de Diseño Sísmico de edificios para Estructuras que según el artículo 232 se clasifican en el grupo B y ubicadas en zonas de terreno comprobable.

$$C = 0.24$$

$$a_0 = 0.06$$

$$T_1 = 0.80 \text{ seg.}$$

$$T_2 = 3.3 \text{ seg.}$$

$$r = 1.0$$

$\omega^2 = 9.60$

$T = \frac{2\pi}{\omega} = 2.027 \text{ seg.}$

20

NIV	MASAS	Z_{in}	Z_{in}^2	$m_i Z_{in}$	$m_i Z_{in}^2$	u_{ij}	Δ_{ij}
1	574	0.0312	0.0009	17.908	0.558	1.071	1.071
2	574	0.0859	0.0073	49.306	4.235	3.162	2.091
3	574	0.1456	0.0212	83.574	12.896	5.001	1.839
4	574	0.2042	0.0417	117.210	23.934	7.014	2.013
5	540	0.2782	0.0774	150.228	41.793	9.556	2.542
6	540	0.3574	0.1277	192.996	68.958	12.276	2.720
7	540	0.4325	0.1871	233.550	101.034	14.856	2.580
8	540	0.5027	0.2527	271.458	136.458	17.267	2.411
9	509	0.5914	0.3498	301.022	178.048	20.314	3.047
10	509	0.6808	0.4636	346.527	235.972	23.385	3.071
11	509	0.7589	0.5760	386.280	293.184	26.068	2.683
12	509	0.8244	0.6796	419.619	345.916	28.318	2.250
13	479	0.9030	0.8155	432.537	390.624	31.018	2.700
14	479	0.9671	0.9354	463.240	448.056	33.219	2.201
15	670	1.0000	1.0000	670.000	670.000	34.350	1.131
SUMA				4135.455	2951.666		

$\text{Coef. Participación } C_1 = \frac{4135.455}{2951.666} = 1.401$

a) Factor de escala para el primer modo

$C = 0.24$

$a_0 = 0.060$

$T_1 = 0.80 \text{ seg.}$

$T_2 = 3.30 \text{ seg.}$

$T = 2.027$

$r = 1$

como T está entre T_1 y T_2

$a_1 = C = 0.24$

$A_1 = \frac{0.24 \times 981}{\omega^2} = \frac{235.44}{9.6} = 24.525$

$\therefore C = 24.525 \times 1.401 = 34.35$

$Q' = Q \text{ si } T > T_1 \quad \therefore Q = 4$

HIV	MASAS	Z_{in}	Z_{in}^2	$m_i Z_{in}$	$m_i Z_{in}^2$	u_{ij}	Δ_{ij}
1.	574	0.088	0.0077	50.512	4.419	0.201	0.201
2.	574	0.239	0.0571	137.186	32.775	0.546	0.345
3.	574	0.393	0.1544	225.582	88.625	0.897	0.351
4.	574	0.525	0.2756	301.350	158.194	1.199	0.302
5.	540	0.660	0.4356	356.400	235.224	1.508	0.309
6.	540	0.761	0.5791	410.940	312.714	1.738	0.230
7.	540	0.806	0.6496	435.240	350.784	1.041	0.103
8.	540	0.790	0.6241	426.600	337.014	-1.805	0.036
9.	509	0.687	0.4719	349.683	240.197	1.569	0.236
10.	509	0.498	0.2480	253.482	126.232	1.137	0.432
11.	509	0.254	0.0645	129.286	32.830	0.580	0.557
12.	509	-0.015	0.0002	-7.635	0.101	-0.034	0.614
13.	479	-0.418	0.1747	-200.222	83.601	-0.955	0.921
14.	479	-0.795	0.6320	-380.805	302.720	-1.816	0.861
15.	670	-1.000	1.0000	-670.000	670.000	-2.284	0.468
		--		1817.599	2975.518		

$$\text{Coeficiente participación } C_2 = \frac{1817.601}{2975.518} = 0.610$$

b) Factor de escala para el segundo modo

$$C = 0.24$$

$$a_0 = 0.060$$

$$T_1 = 0.8 \text{ seg.}$$

$$T_2 = 3.3 \text{ seg.}$$

$$T = 0.794$$

$$r = 1$$

Como T es menor que T_1

$$a = a_0 + (C - a_0) \frac{T}{T_1}$$

$$a = 0.06 + (0.24 - 0.06) \frac{0.794}{0.000} = 0.238$$

$$A_2 = \frac{0.238 \times 981}{u^2} = \frac{234.115}{62.500} = 3.745$$

$$u_{ij} = Z_{in} \times A \times C_2$$

$$Q^* = 1 + (4 - 1) \times \frac{0.794}{0.800} = 3.977$$

$$\omega^2 = 165.50$$

$$T = 0.4884$$

NIV	MASAS	Z_{in}	Z_{in}^2	$m_i Z_{in}$	$m_i Z_{in}^2$	m_{ij}	Δ_{ij}
1	574	0.1704	0.0290	97.80	16.646	0.053	0.053
2	574	0.4483	0.2009	257.32	115.316	0.139	0.086
3	574	0.6904	0.4766	396.28	273.568	0.215	0.076
4	574	0.8325	0.6930	477.85	397.782	0.259	0.044
5	540	0.8607	0.7408	464.77	400.032	0.268	0.009
6	540	0.7221	0.5214	389.93	281.556	0.225	0.043
7	540	0.4410	0.1944	238.14	104.976	0.137	0.088
8	540	0.0727	0.0052	39.258	2.808	0.022	0.115
9	509	-0.4538	0.2059	-230.98	104.003	-0.141	0.163
10	509	-0.9125	0.8326	-464.46	423.793	-0.284	0.143
11	509	-1.1099	1.2318	-564.93	526.98	-0.346	0.062
12	509	-0.9894	0.9789	-503.60	498.26	-0.308	0.038
13	479	-0.3858	0.1400	-184.79	71.27	-0.120	0.188
14	479	0.4607	0.2122	220.67	101.64	0.143	0.263
15	670	1.0000	1.0000	670.000	670.00	0.312	0.169
				1303.25	4197.04		

$$\text{Coeficiente de participación } C_3 = \frac{1303.25}{4197.04} = 0.310$$

c) Factor de escala para el tercero modo

$$C = 0.24$$

$$a_0 = 0.06$$

$$T_1 = 0.8 \text{ seg.}$$

$$T_2 = 3.3 \text{ seg.}$$

$$T = 0.4884$$

$$r = 1$$

$$a = a_0 + (C - a_0) T/T_1$$

$$a = 0.06 + (0.24 - 0.06) \frac{0.4884}{0.8} = 0.06 + 0.109 = 0.169$$

$$A_3 = \frac{0.169 \times 981}{\omega^2} = \frac{166.66}{165.50} = 1.007$$

$$m_{ij} = Z_{in} \times 1.007 \times 0.310 = 0.312 Z_{in}$$

$$q^* = 1 + (4 - 1) \times \frac{0.4884}{0.8} = 2.015$$

$$\frac{u^2}{I} = 9.60$$

$$T = 2.027$$

$$\frac{u^2}{T} = 62.50$$

$$I = 0.794$$

34.350
33.219
31.018
28.318
26.068
23.385
20.314
17.267
14.856
12.276
9.556
7.014
5.001
3.162
1.071
0.000

FORMA 1- RODO

15 34.427

14 33.268

13 31.032

12 28.319

11 26.076

10 23.414

9 20.376

8 17.661

7 14.970

6 12.400

5 9.677

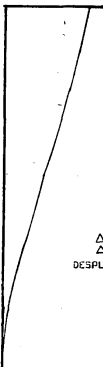
4 7.106

3 5.085

2 3.211

1 1.090

0 0.000



FORMA 2- MODO

$$\frac{u^2}{I} = 165.50$$

$$T = 0.488 \quad 0.312$$

$$0.143$$

$$-0.120$$

$$-0.308$$

$$-0.346$$

$$-0.284$$

$$-0.141$$

$$0.022$$

$$0.137$$

$$0.225$$

$$0.268$$

$$0.259$$

$$0.215$$

$$0.139$$

$$0.053$$

$$0.000$$

FORMA 3- MODO

DESP. DIFERENCIALES

NIV. ΔT

15	1.235
14	2.378
13	2.858
12	2.332
11	2.740
10	3.100
9	3.060
8	2.412
7	2.582
6	2.729
5	2.560
4	2.036
3	1.873
2	2.121
1	1.090
0	

$$\Delta_{\text{máx. perm. relativa}} = 0.008 \times 340 = 2.72 \text{ cm.}$$

$$\Delta_{\text{máx. perm. total}} = 0.008 \times 5100 = 40.8 \text{ cm.}$$

DESPLAZAMIENTOS TOTALES

$w^2 = 9.60$	$w^2 = 62.50$
$T = 2.027$	$T = 0.794$
34.350	
33.219	
31.018	
28.318	
26.066	
23.385	
20.314	
17.267	
14.856	
12.276	
9.556	
7.014	
5.001	
3.162	
1.071	
0.000	

FORMA 1- MODO

15 34.427

14 33.268

13 31.032

12 28.319

11 26.076

10 23.414

9 20.376

8 17.661

7 14.970

6 12.400

5 9.677

4 7.186

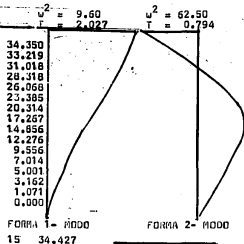
3 5.085

2 3.211

1 1.090

0 0.000

FORMA 2- MODO



$w^2 = 165.50$	$T = 0.488$	0.312
-2.284		0.143
-1.816		-0.120
-0.955		-0.308
-0.034		-0.346
0.580		-0.284
1.137		-0.141
1.569		0.022
1.805		0.137
1.841		0.225
1.738		0.259
1.508		0.215
1.195		0.139
0.897		0.053
0.546		0.000
0.201		
0.000		

FORMA 3- MODO

DESP. DIFERENCIALES

NIV. ΔT

15	1.235
14	2.378
13	2.858
12	2.332
11	2.740
10	3.100
9	3.060
8	2.412
7	2.582
6	2.729
5	2.560
4	2.036
3	1.873
2	2.121
1	1.090
0	

$$\Delta \text{máx. perm. relativo} = 0.008 \times 340 = 2.72 \text{ cm.}$$

$$\Delta \text{máx. perm. total} = 0.008 \times 5100 = 40.8 \text{ cm.}$$

DESPLAZAMIENTOS TOTALES

CALCULO DE FUERZAS Y CORTANTES

$$F = \frac{M}{g} \frac{u^2}{R} x_{ij}$$

NIV	F_1/F_1^2	F_2/F_2^2	F_3/F_3^2	F_T	CORTANTE
1	1.475	1.813	1.788		398.22
	2.176	3.287	3.199		
2	4.355	4.925	4.690		395.27
	18.966	24.258	22.000	8.076	
3	6.089	8.091	7.255		387.20
	47.463	65.472	52.642	12.867	
4	9.662	10.815	8.740		374.33
	93.363	116.979	76.394	16.933	
5	12.384	12.797	8.508		357.40
	153.377	163.771	72.392	19.736	
6	15.909	14.749	7.143		337.67
	253.116	217.538	51.026	22.840	
7	19.253	15.623	4.349		314.83
	370.692	244.086	18.917	25.173	
8	22.378	15.317	0.698		289.66
	500.776	234.633	0.487	27.127	
9	24.815	12.550	4.219		264.48
	615.813	157.518	17.803	28.127	
10	28.567	9.094	5.056		236.36
	816.080	82.719	25.565	30.403	
11	31.844	4.639	8.845		205.95
	1014.082	21.524	78.248	33.733	
12	34.593	0.271	9.216		172.22
	1196.694	0.073	84.934	35.800	
13	35.658	7.188	3.379		136.42
	1271.513	51.680	11.420	36.532	
14	38.188	13.670	4.027		99.89
	1458.366	186.875	16.217	40.760	
15	55.234	17.193	12.269		59.13
	3050.883	295.605	151.042	59.132	

A continuació se muestra un ejemplo del análisis torsional del 4º nivel.

Sentido	V	e_s	b	$e_1 = 1.5e_s + 0.1b$	$e_2 = -e_s - 0.1b$	$H_{k1} = Ve_1$	$H_{k2} = -Ve_2$
X	398.22	0.058	24.0	$e_1 = 2.484$	$e_2 = -2.342$	$H_{k1} = 990.37$	$H_{k2} = -932.65$
Y	398.22	0.058	24.0	$e_1 = 2.487$	$e_2 = -2.342$	$H_{k1} = 990.37$	$H_{k2} = -932.65$

$$V_{xT} = \frac{H_T R_{jx} Y_{jT}}{\sum R_{jx} Y_{jT}^2 + \sum R_{jy} X_{jT}^2}$$

EJE	R_{jx}	Y_j	$R_{jx} Y_j$	Y_{jT}	$R_{jx} Y_{jT}$	$R_{jx} Y_{jT}^2$	Efecto V_x			Efecto V_y		
							DIRECTO	TORSION	TOTAL	DIRECTO	TORSION	$V_x + 0.3V_y$
1	2.02	0.00	-12.00	24.24	290.88	99.55	16.89	116.42	16.89	21.48	40.55	
2	2.02	8.00	16.16	-4.00	8.08	32.32	99.55	5.63	105.18	5.63	106.86	-
3	2.02	16.00	32.32	+4.00	8.08	32.32	99.55	5.30	104.85	5.63	106.53	-
4	2.02	24.00	48.48	+12.00	24.24	290.88	99.55	15.90	115.45	16.89	120.51	-
SUMAS	8.08		96.96			710.72						

$$Y_T = \frac{96.96}{8.08} = 12.0$$

EJE	R_{jy}	X_j	$R_{jy} X_j$	X_{jT}	$R_{jy} X_{jT}$	$R_{jy} X_{jT}^2$	Efecto V_y			Efecto V_x		
							DIRECTO	TORSION	TOTAL	DIRECTO	TORSION	$V_y + 0.3V_x$
A	2.02	0.0	0.00	-12.00	24.24	290.88	99.55	16.89	116.42	16.89	121.48	40.55
B	2.02	8.0	16.16	-4.00	8.08	32.32	99.55	5.63	105.18	5.63	106.86	-
C	2.02	16.0	32.32	+4.00	8.08	32.32	99.55	5.30	104.85	5.63	106.53	-
D	2.02	24.0	48.48	+12.00	24.24	290.88	99.55	15.90	115.45	16.89	120.51	-
SUMAS												

$$X_T = \frac{96.96}{8.08} = 12.0$$

$$V_t = \frac{N-0.5}{N+1} V = \frac{3.0-0.5}{3.0+1} V = 0.625V$$

$$V_t = \frac{N-2.0}{N+1} V = \frac{3.0-2.0}{3.0+1} V = 0.250V$$

182	1.74	1.50 1.65	1.53	1.53	
182	1.74	0.12 0.14	1.15 4.51 6.10	1.15 2.17 3.40	
183	1.74	0.16	1.70	1.70	
184	3.21	0.16 0.05	1.92 1.70	1.92 3.85	
185	0.06	0.06	4.62	5.77	
186	0.06	(12.2) (12.2)	10.46	10.46	
187	0.06	0.06 4.30	2.62 10.18	2.62 6.21	
188	0.06	0.12	13.10	13.15	
189	0.06	0.06	3.30 13.25	3.30 6.62	
190	0.06	0.06 6.07	16.55	9.42	
191	0.06	0.06	15.80	15.80	
192	0.06	0.06 7.43	3.95 15.80	3.95 8.70	
193	0.06	0.06	15.75	15.75	
194	0.06	0.06 12.31	15.24	15.24	
195	0.06	0.06	15.24	15.24	
196	0.06	0.06 9.30	4.52 15.24	4.52 9.12	
197	0.06	0.06	20.00	13.68	
198	0.06	0.06 12.19	20.35	20.35	
199	0.06	0.06 18.79	5.06 20.35	5.06 10.14	
200	0.06	0.06	20.35	15.24	
201	0.06	0.06 11.71	5.63 12.59	5.63 11.37	
202	0.06	0.06	12.59	12.59	
203	0.06	0.06 21.27	24.23	24.23	
204	0.06	0.06 12.77	6.04 24.23	6.04 12.14	
205	0.06	0.06	24.23	24.23	
206	0.06	0.06 15.14	24.16	24.16	
207	0.06	0.06 13.36	6.54 24.16	6.54 15.00	
208	0.06	0.06	24.16	24.16	
209	0.06	0.06 12.78	21.38	21.38	
210	0.06	0.06 12.78	6.94 21.38	6.94 13.87	
211	0.06	0.06 12.78	20.82	20.82	
212	0.06	0.06 29.0	24.0	24.0	
213	0.06	0.06 18.54	1.25 25.00	1.25 14.50	
214	0.06	0.06	25.00	25.00	
215	0.06	0.06 18.54	34.25	24.15	
216	0.06	0.06 18.54	24.15	24.15	
217	0.06	0.06 16.48	1.44 24.15	1.44 14.50	
218	0.06	0.06	24.15	24.15	
219	0.06	0.06 16.48	1.60 24.06	1.60 22.85	
220	0.06	0.06	24.06	24.06	
221	0.06	0.06 15.31	19.0 34.10	19.0 24.06	
222	0.06	0.06	34.10	34.10	
223	0.06	0.06	19.0	19.0	
224	0.06	0.06	24.06	24.06	
225	0.06	0.06	34.10	34.10	

$$V_t = 18.23 T$$

$$H = 43.80 T - 94$$

$$V_t = 30.50$$

$$H = 101.50$$

$$V_t = 31.44$$

$$H = 146.79$$

$$V_t = 52.95$$

$$H = 185.32$$

$$V_t = 63.32$$

$$H = 221.37$$

$$V_t = 71.93$$

$$H = 255.39$$

$$V_t = 81.32$$

$$H = 284.62$$

$$V_t = 90.19$$

$$H = 315.66$$

$$V_t = 97.58$$

$$H = 341.53$$

$$V_t = 104.66$$

$$H = 366.31$$

$$V_t = 111.15$$

$$H = 389.02$$

$$V_t = 116.05$$

$$H = 406.10$$

$$V_t = 119.06$$

$$H = 416.31$$

$$V_t = 121.81$$

$$H = 426.59$$

$$V_t = 121.48$$

$$H = 425.18$$

$$H_t = 438.01$$

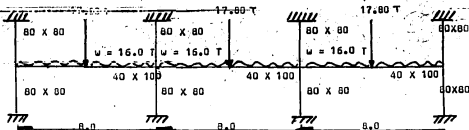
MARCO INTERIOR.

	4.36	4.36	4.36	4.36
1.32	1.32	0.95	1.95	
3.15		4.6		1.04
15.02	12.65	13.00	6.72	2.18 3.21
6.78	3.32	3.32	3.62	
1.05		0.50		1.68 0.90 0.04
10.42	16.72	16.72	9.18	
3.0	4.59	2.97	4.39	2.29 1.16 0.68
2.13		0.00	1.62	1.19 11.49
0.7	0.87	2.04	5.43	2.89 0.98 0.48
15.19		0.00		14.48 8.48
15.22	27.02	15.82	15.86	15.86
8.76	1.61	2.01	6.45	
15.16		0.67		3.46 13.86 15.38
15.21	23.61	15.82	15.93	15.93 10.39
20.28	8.76	21.04	8.14	
15.01		0.81		3.76 14.91 11.94
15.21	15.02	15.02	15.93	17.80
22.06	16.19	21.04	4.43	
15.16		0.12		4.45 17.86 12.36
15.21	10.92	19.82	19.88	19.88
22.17	0.24	12.02	10.13	
15.21		1.01		4.89 19.88 14.68
22.04	12.04	11.82	3.126	01.26
22.07	12.03	11.80	8.16	
21.03		1.01		5.30 21.26 15.83
21.03	12.03	11.80	12.81	12.81 15.83
21.02	0.24	11.81	12.04	
21.02		1.20		5.70 22.80 11.40
21.02	12.01	11.81	4.83	
21.02		1.28		6.03 24.15 11.10
21.02	12.01	11.81	24.16	
22.05	14.84	21.02	12.48	
22.05		1.36		6.32 15.38 12.64
22.05	14.84	21.02	25.28	25.28 18.10
22.05		1.36		
22.05	14.84	21.02	26.08	26.08 18.96
22.01	10.35	8.02	14.01	
22.01		1.34		6.52 26.08 12.64
22.01	10.35	8.02	26.68	22.60 26.68 14.21
22.0	15.76	16.27	17.41	
22.0		1.57		6.66 26.45 15.51
22.0	15.76	16.27	15.35	15.35 20.00
22.0	14.75	15.01	17.84	
22.0		2.05		16.68 13.86 9.67
22.0	14.75	15.01	21.19	153.82 X 24 = 3681.68
22.0		2.05		3681.68 / 6 = 613.60
22.0	14.75	15.01		23.36
153.82		14.75	H _t = 3808.57	
		H _t = 3808.57		

ANALISIS POR CARGAS VERTICALES.

El análisis por cargas verticales se realizará suponiendo que las columnas de cada entrepiso se empotran en los pisos superior e inferior de acuerdo con el A.C.I. y se analizan los marcos exteriores e interiores y los de azotea y de planta tipo.

ANALISIS ESTATICO MARCOS CENTRALES ENTREPISO TIPO



C.I	C.I	T.D	T.I	C.S	C.I	T.D	T.I	C.J	C.I	T.D	T.I	C.S	C.I
11770	11770	4166	4166	11770	11770	4166	4166	11770	11770	4166	4166	11770	11770
0.42	0.42	0.16	0.16	0.37	0.37	0.13	0.13	0.37	0.37	0.13	0.13	0.16	0.42
-	-	28.50	28.50	-	-	28.50	28.50	-	-	28.50	28.50	-	-
12.0	12.0	-4.50	-	-	-	-	-	-	-	-	-4.50	12.0	12.0
-	-	-2.25	-	-	-	-	-	-	-	-	2.25	-	-
-	-	0.30	0.60	0.80	0.30	-0.30	-0.80	-0.80	-0.30	-0.80	-0.30	-	-
-12.0	-12.0	24.0	-30.40	0.80	0.80	28.80	-28.80	0.80	-0.80	30.40	-24.0	12.0	12.0
-	-	16.9	16.9	-	16.9	16.9	-	-	-	16.9	16.9	-	-
-	-	-0.8	0.8	-	-0.8	0.8	-	-	-	-0.8	-0.8	-	-
-	-	16.1	17.7	-	16.9	16.9	-	-	-	17.7	16.1	-	-
-	-	16.1	-	34.6	-	-	-	34.6	-	-	16.1	-	-

$$A = 16.00 \text{ m}^2$$

$$U = 0.500 \text{ T/m}^2$$

$$U = 8.00 \text{ T}$$

$$U_{p,p} = (0.40 \text{ m} \times 1.0 \text{ m} \times 2.4 \text{ T/m}^3) \cdot 8.0 = 7.7 \text{ ton.} = \frac{7.7}{8.0} \text{ T}$$

$$U_T = \frac{7.7}{16.0} \text{ T}$$

CALCULO DE MOMENTOS

$$R_1 = \frac{P_1}{8} = \frac{17.8 \times 8 \text{ m}}{8} = 17.80 \text{ t-m} \quad M_E = \frac{17.8 \times 8}{4} = 35.6 \text{ t-m}$$

$$R_2 = \frac{U_L}{12} = \frac{16 \times 8.0 \text{ m}}{12} = 10.70 \text{ t-m} \quad M_E = \frac{16 \times 8}{8} = \frac{16}{51.6} \text{ t-m}$$

$$M_t = 20.50 \text{ t-m}$$

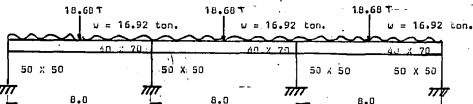
CONSTANTES

$$J_1 = \frac{-17.80}{2} = 0.90 \text{ T}$$

$$V_2 = \frac{16}{2} = 8.0 \text{ T}$$

$$J_E = \frac{-16.90}{2} = -8.45 \text{ T}$$

ANALISIS ESTATICO MARCOS CENTRALES NIVEL AZOTER.



C.I.	T.D.	T.I.	C.I.	T.D.	T.I.	-C.I.	T.D.	T.I.	C.I.
1796	1423	1423	1796	1423	1423	1796	1423	1423	796
0.55	0.45	0.30	0.40	0.30	0.30	0.40	0.30	0.45	0.55
29.96	-29.96	29.96	-29.96	29.96	-29.96	29.96	-29.96	29.96	
16.45	13.50	-	-	-	-	-	6.75	13.50	6.45
		- 6.75					6.75		
		2.0	2.75	2.0	- 2.0	- 2.75	- 2.0		
16.45	16.45	- 34.71	2.75	31.96	- 31.96	- 2.75	34.71	- 16.45	16.45
17.80	17.80	17.80	17.80	17.80	17.80	17.80	17.80	17.80	
-2.28	2.28	-	-	-	-	2.28	-2.28	-2.28	
15.52	20.08	20.08	17.80	17.80	20.08	20.08	15.52	15.52	
15.52		37.88			37.88				15.52

CALCULO DE AREAS, TOS

$$A = 16.0 \text{ m}^2$$

$$U = 0.77 \text{ t/m}^2$$

$$U = 12.32 \text{ ton.}$$

$$W_{pp} = 8 (0.4^M \times 0.6^M \times 2.4)^{T/m^2} = 4.60 \text{ ton.}$$

$$W_T = 12.32 + 4.60 = 16.92 \text{ ton.}$$

$$M_1 = \frac{16.92 \times 8.0}{12} = 11.28 \text{ t-m}$$

$$M_2 = \frac{18.68 \times 8.0}{8} = 18.68$$

$$M_T = 29.96 \text{ t-m}$$

$$V_1 = \frac{16.92}{2} = 8.46 \text{ T}$$

$$V_2 = \frac{18.68}{2} = 9.34 \text{ T}$$

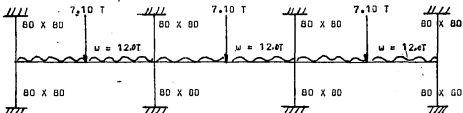
$$V_T = 17.80 \text{ T}$$

$$N_L = \frac{16.92 \times 8.0}{2} = 16.92 \text{ t-m}$$

$$N_R = \frac{18.68 \times 8.0}{4} = 37.36 \text{ t-m}$$

$$R_T = 54.28 \text{ t-m}$$

ANALISIS ESTATICO MARCOS EXTENSO ENTREPISO TIPO



C.S.	C.I.	T.D.	T.I.	C.S.	C.I.	T.D.	T.I.	C.S.	C.I.	T.D.	T.I.	C.S.	C.I.
1177001177004166	4166	1177001177004166	4166	1177001177004166	4166	1177001177004166	4166	1177001177004166	4166	1177001177004166	4166	1177001177004166	4166
0.42	0.42	0.16	0.13	0.37	0.37	0.13	0.13	0.37	0.37	0.13	0.13	0.42	0.42
-	-	15.10	15.10	-	-	15.10	15.10	-	-	15.10	15.10	-	-
-6.35	-6.35	2.40	-	-	-	-	-	-	-	-	2.40	6.35	6.35
-	-	-	-1.20	-	-	-	-	-	-	-	1.20	-	-
-	-	0.15	0.45	0.45	0.15	-0.15	-0.45	-0.45	-0.45	-0.15	-	-	-
-6.35	-6.35	12.70	-16.15	0.45	0.45	15.25	-15.25	0.45	-0.45	16.15	-12.70	6.35	6.35
-	-	9.55	9.55	-	-	9.55	9.55	-	-	9.55	9.55	-	-
-	-	-0.45	0.45	-	-	-	-	-	-	0.45	-0.45	-	-
-	-	9.10	10.0	-	-	9.55	9.55	-	-	10.0	9.10	-	-
		9.10	-	19.55	-	-	-	19.55	-	-	-	9.10	-

$$A = 8.0 \text{ m}^2$$

$$u = 0.5 \text{ T/m}^2$$

$$u = 4.0 \text{ T}$$

$$U_{pp} = 8.0 \text{ T}$$

$$U_T = 12.0 \text{ T}$$

CALCULO DE MOMENTOS

$$M_1 = \frac{p_1}{8} = \frac{7.1 \times 8.0}{8} = 7.1 \text{ t-mm}$$

$$M_{\frac{1}{2}} = \frac{7.1 \times 8}{4} = 14.20 \text{ t-mm}$$

$$M_2 = \frac{u_1}{12} = \frac{12.0 \times 8.0}{12} = 8.0 \text{ t-mm}$$

$$M_{\frac{2}{2}} = \frac{12 \times 8}{8} = 12.0 \text{ t-mm}$$

$$M_T = 15.10 \text{ t-mm}$$

$$M_{\frac{T}{2}} = 26.20 \text{ t-mm}$$

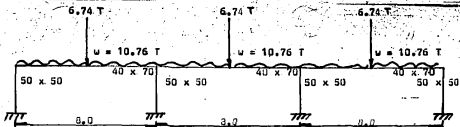
CORTANTES

$$V_1 = \frac{12}{2} = 6.0 \text{ ton.}$$

$$\bar{V}_2 = \frac{7.10}{2} = 3.55 \text{ ton.}$$

$$V_T = 9.55 \text{ ton.}$$

ANALISIS ESTATICO MARCOS EXTERNOS NIVEL AZOTCA



C.I. 1796	T.D. 1423										
0.55	0.45	0.30	0.40	0.30	0.30	0.40	0.30	0.45	0.55	fd	
13.90	-13.90	13.90	-13.90	13.90	-13.90	13.90	-13.90	13.90	-13.90	He	
-7.65	-6.25	-	-	-	-	-	-	6.25	7.65	Hf	
-3.13	-	-	-	-	-	3.13	-	-	-	Hd	
0.95	1.25	0.95	-0.95	1.25	0.95	-0.95	1.25	0.95	-0.95	H4	
-7.65	7.65	-16.10	1.25	14.85	-14.85	-1.25	16.10	-7.65	7.65	Hg	
8.75	8.75	8.75	8.75	8.75	8.75	8.75	8.75	8.75	8.75	Vf	
-1.05	1.05	-	-	-	1.05	-	1.05	-	1.05	Vc	
7.70	9.80	8.75	8.75	9.80	9.80	8.75	9.80	7.70	7.70	Vd	
		18.55		18.55		18.55				R	
		7.70		18.55		18.55		7.70			

$$A = 8.0 \text{ m}^2$$

$$w = 0.77 \text{ ton/m}^2$$

$$W = 6.16 \text{ ton.}$$

$$U_{pp} = 4.60 \text{ ton.}$$

$$U_T = 10.76$$

MOMENTOS

$$M_1 = \frac{P_1 \cdot 6.74 \times 8}{8 \cdot 8} = 6.74 \text{ t-m.}$$

$$M_d = \frac{6.74 \times 8}{4} = -13.48 \text{ t-m}$$

$$M_2 = \frac{W_1 \cdot 10.76 \times 8}{12 \cdot 12} = 7.16 \text{ t-m.}$$

$$M_d = \frac{10.76 \times 8}{8} = 10.76 \text{ t-m.}$$

$$M_T = 13.90 \text{ t-m.}$$

$$M_d = 24.24 \text{ t-m.}$$

CORTANTES

$$V_1 = \frac{10.76}{2} = 5.38 \text{ T}$$

$$V_2 = \frac{6.74}{2} = 3.37 \text{ T}$$

$$U_{pp} = 0.75$$

DISEÑO DE LA ESTRUCTURA.

Una vez que se ha encontrado los elementos mecánicos de la estructura tanto por cargas verticales como por cargas horizontales se procede a trazar los diagramas de momentos flexionantes superponiendo ambos efectos y el diseño de fuerza cortante se hace por separado.

Para el diseño de la estructura se ve qué condición es la que produce efectos más desfavorables, si la condición de carga vertical o la de carga vertical mas cargas horizontales.

Este diseño lo realice por el llamado "diseño plástico" utilizando las expresiones del R.D.F.

a) Para flexión

$$M_{RC} = F_R bd^2 f''c q \quad (1 - 0.50 q)$$

$$q = p \frac{f_y}{f''c}$$

$$p_{\min.} = \frac{0.7 \sqrt{f''c}}{f_y} \quad bd$$

$$p_{\max.} = 0.75 pb$$

$$pb = \frac{f''c}{f_y} \frac{4800}{f_y + 6000} \quad bd$$

$$f''c = 0.85 f''c \quad \text{si } f''c \leq 250 \text{ Kg/cm}^2$$

$$f''c = 0.80 f''c$$

$$F_R = 0.9$$

b) Para cortante

$$\text{El esfuerzo cortante se valdrá como } V_c = \frac{V}{b \cdot d}$$

El concreto toma

$$V_{CR} = F_R bd (0.2 + 30 p) \sqrt{f''c} \quad \text{si } p \leq 0.01$$

$$V_{CR} = 0.5 F_R bd \sqrt{f''c} \quad \text{si } p \geq 0.01$$

Cuando se haga necesario el acero de refuerzo

$$S = \frac{F_R A_v f_y (\operatorname{sen} \theta + \operatorname{cosec} \theta)}{V_u + V_{CR}} \leq \frac{F_R A_v f_y}{3.5 b}$$

$$F_R = 0.8$$

si V_u es $> V_{CR}$ pero $\leq 1.5 F_R bd \sqrt{f'c}$ $s \leq 0.5 d$

si V_u es $> 1.5 F_R bd \sqrt{f'c}$ $s \leq 0.25 d$

Nunca $V_u > 2.5 F_R bd \sqrt{f'c}$

c) Longitudes de desarrollo.- según el capítulo 3 del libro N° 401. Normas técnicas complementarias del Reglamento de Construcciones para el D.F. pag. 47

$$L = Ld + d$$

$$Ld \text{ la mayor de } Ldb = 0.06 \frac{s_fy}{\sqrt{f'c}}$$

$$\therefore Ldb = 0.06 db fy \quad 6$$

Se deberá multiplicar por un factor de 1.4 para varillas de lecho superior con concreto bajo ellas de más de 30 cm.

d) Además se deberá cumplir con los siguientes requisitos:

$$1/b \leq 40$$

$$h/b \leq 4.0$$

A continuación se calculan los momentos resistentes de las diferentes secciones en la estructura con varillas # 8.

1) Sección 40 cm X 100 cm $M_{RC} = F_R bd^2 f'c q (1 - 0.5 q)$

$$b = 40 \text{ cm.}$$

$$d = 90 \text{ cm}$$

$$A_s = 2 \# 8 = 2 \times 5.03 = 10.06 \text{ cm}^2$$

$$p = \frac{10.06}{40 \times 90} = 0.00279$$

$$q = p \frac{fy}{f'c} = 0.00279 \times \frac{4200}{170} = 0.0690$$

$$M_{RC} = 0.9 \times 40 \times 90 \times 170 \times 0.069 \times (1 + 0.5 \times 0.069) = 33.02 \text{ t-m}$$

2) Sección 40 cm X 90 cm

$$b = 40 \text{ cm.}$$

$$d = 80 \text{ cm.}$$

$$A_s = 2 \# 8 = 2 \times 5.03 = 10.06 \text{ cm}^2$$

$$p = \frac{10.06}{40 \times 80} = 0.0031$$

$$A_{s\min.} = \frac{0.7 \sqrt{f'y} bd}{f_y} = \frac{0.7 \sqrt{250}}{4200} \times 40 \times 80 = 8.43 \text{ cm}^2 < 10.06 \text{ cm}^2$$

$$q = p \frac{f_y}{f'y} = 0.0031 \times \frac{4200}{170} = 0.076$$

$$M_{RC} = 0.9 \times 40 \times 80^2 \times 170 \times 0.076 (1 - 0.05 \times 0.076) = 28.63 \text{ t-m}$$

3) Sección 40 cm X 80 cm.

$$b = 40 \text{ cm.}$$

$$d = 70 \text{ cm.}$$

$$A_{s\min.} = \frac{0.7 \sqrt{250}}{f_y} \times 40 \times 70 = 7.37 \text{ cm}^2$$

$$A_s = 2 \# 8 = 10.0 \text{ cm}^2$$

$$p = \frac{10 \text{ cm}^2}{40 \times 70} = 0.0035$$

$$q = 0.0035 \times \frac{4200}{170} = 0.088$$

$$M_{RC} = 0.9 \times 40 \times 70^2 \times 170 \times 0.088 (1 - 0.5 \times 0.088) = 25.22 \text{ t-m}$$

4) Sección 40 cm X 70 cm

$$b = 40 \text{ cm.}$$

$$d = 60 \text{ cm.}$$

$$A_{s\min.} = \frac{0.7 \sqrt{250}}{4200} \times 40 \times 60 = 6.32 \text{ cm}^2$$

$$A_s = 2 \# 8 = 5.03 \text{ cm}^2 \times 2 = 10.06 \text{ cm}^2$$

$$p = \frac{5.03 \text{ cm}^2 \times 2}{40 \times 60 \text{ cm}} = 0.00419$$

$$q = 0.00419 \times \frac{4200}{170} = 0.103$$

$$M_{RC} = 0.9 \times 40 \times 60^2 \times 170 \times 0.103 (1 - 0.5 \times 0.103) = 21.52 \text{ t-m}$$

$$P_b = \frac{f'y c}{f_y} + \frac{4800}{f_y + 6000} = \frac{170}{4200} \times \frac{4800}{4200 + 6000} = 0.0190$$

$$f'c = 0.8 f'y c = 0.8 \times 250 = 200 \text{ Kg/cm}^2$$

$$f'c = 0.85 f'y c = 0.85 \times 200 = 170 \text{ Kg/cm}^2 \text{ si } f'y c \leq 250 \text{ Kg/cm}^2$$

máx = 0.75 P_b = 0.75 \times 0.019 = 0.0142

5) Sección 40 cm x 100 cm.

$$b = 40 \text{ cm.}$$

$$d = 90 \text{ cm.}$$

$$A_s = 1 \# 6$$

$$p = \frac{2.04}{40 \times 90} = 0.00078$$

$$q = p \frac{f_y}{f'c} = 0.00078 \times \frac{4200}{170} = 0.019$$

$$M_{RC} = 0.9 \times 40 \times 90^2 \times 170 \times 0.019 (1 - 0.5 \times 0.019) = 9.32 \text{ t-m.}$$

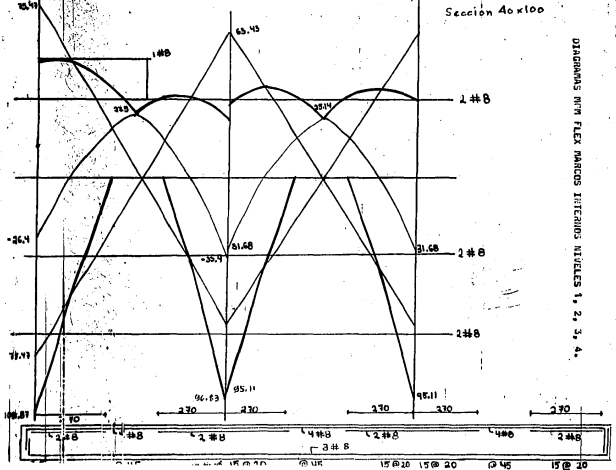
Se considera:

$$\text{Concreto } f'y c = 250 \text{ Kg/cm}^2$$

$$\text{Acero de refuerzo } f_y = 4200 \text{ Kg/cm}^2$$

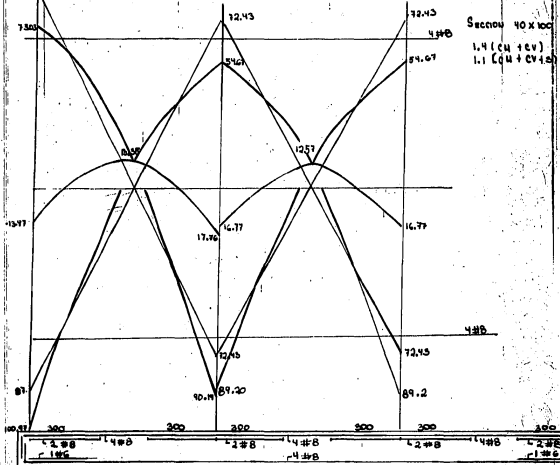
DIAGRAMAS M/M FLEX MARCOS INTERNOS NIVELES 1, 2, 3, 4.

Sección 40x100



DIAGRAMAS MONO FLEX MARCOS EXTERNOS NIVELES 1,2,3,4.

Sección 40x100
 1.4 (CH + CV)
 1.1 (CH + CV + S)



DISI^NO DE COLUMNAS

El diseño de columnas se hizo también basado en la teoría de diseño al límite para lo cual es importante conocer los siguientes conceptos y especificaciones:

- 1.- Centroide plástico de una sección es el centroide de la resistencia a una carga calculado con la suposición de que los esfuerzos en el concreto son uniformes e iguales a 0.85 f'_c y que el acero se esfuerza uniformemente a f_y para miembros reforzados simétricamente el centroide plástico corresponderá al centroide de la sección transversal.
- 2.- Se dice que existen condiciones balanceadas cuando el miembro falla, el refuerzo de tensión alcanza su esfuerzo de fluencia justo cuando el concreto en la zona de compresión alcanza su máxima deformación de 0.003.
- 3.- Todos los miembros sujetos a compresión serán diseñados para la excentricidad a que corresponda a momento máximo que pueda acompañar a esta condición de carga, la excentricidad no será menor de 0.05 h para columnas con estribos, en cualquier eje principal.
- 4.- En el diseño de columnas se toma en cuenta las siguientes combinaciones:
 - a) Carga vertical
 - b) Carga vertical + Sismo
 - c) Carga vertical - sismoTodas estas combinaciones son importantes y se deben revisar; pero de acuerdo con la práctica se ha visto que las condiciones más desfavorables son de:
Carga vertical
Carga vertical + Sismo
- 5.- Se revisa la condición de esbeltez.
- 6.- Para el diseño de las columnas se utilizan las tablas que aparecen en la referencia (Nº 3).

7.- Las especificaciones que se siguen son las siguientes :

- 1. Refuerzo principal.- el refuerzo principal será el que requiera de acuerdo a las condiciones de carga con las siguientes limitaciones :

$$\text{Refuerzo Mínimo} = 20\% f_y$$

$$\text{Refuerzo Máximo} = 0.08$$

II. Refuerzo transversal

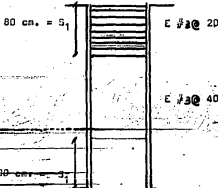
- a) En la longitud confinada

$$S_1 \leq \begin{cases} C_1/2, C_2/2 & = 40 \text{ cm.} \\ 20 \text{ cm.} & = 20 \text{ cm.} \\ \frac{425 \text{ db}}{\sqrt{f_y}} = \frac{425 \times 3.18}{\sqrt{4200}} & = 20.85 \end{cases}$$

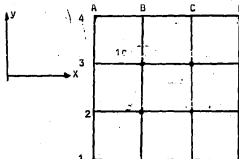
- b) Fuerza de la longitud confinada

$$S_2 \leq \begin{cases} \frac{850}{\sqrt{f_y}} \text{ db} = \frac{850}{\sqrt{4200}} \times 3.18 = 41.7 & \neq 40 \text{ cm.} \\ 48 \text{ dvv} = 48 \times 0.95 = 45.6 \\ C_{\min.} = 50 \\ C_1, C_2 \end{cases}$$

$$l_c > \begin{cases} L/6 \text{ (espacio libre de la col)} = \frac{240}{6} = 40 \\ 60 \text{ cm.} \\ C_1, C_2, 50 \text{ cm.} \end{cases}$$

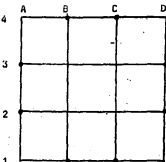
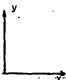


A continuación se muestra las tablas de columnas correspondientes y un ejemplo del diseño de una columna.



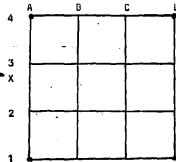
$$\text{Cola. } \left\{ \begin{array}{l} 2 - B, 3 - B \\ 2 - C, 3 - C \end{array} \right\}$$

SECC	NIV	P _x	P _y	P _I	P _{xss} P _{ys}	P _{E+S}	P _{E-S}	M _{XE}	M _{YE}	M _{X3}	M _{YS}	REFUERZO VERTICAL
50X50	15	37.88	37.88	75.76	0.16	75.92	75.60	2.73	2.75	2.53	2.53	4 # 8
	14	34.60	34.60	144.96	0.46	145.42	144.50	0.80	0.80	7.64	7.54	4 # 8
	13			214.16	0.86	215.02	213.30			21.79	21.79	12 # 8
60X60	12			283.36	1.52	284.88	281.84			25.34	25.34	12 # 8
	11			352.56	2.21	354.77	350.35			30.31	30.31	12 # 8
	10			421.76	3.02	424.78	418.74			34.84	34.84	12 # 10
	9			490.96	3.94	494.90	487.02			39.02	39.02	16 # 10
70X70	8			560.16	4.95	565.11	555.21			42.82	42.82	16 # 10
	7			629.36	6.06	635.42	623.30			46.48	46.48	16 # 10
	6			698.56	7.26	705.62	691.30			49.87	49.87	24 # 10
	5			767.76	8.54	776.30	759.22			52.81	52.81	24 # 10
80X80	4			836.96	9.90	846.86	827.06			55.03	55.03	28 # 10
	3			906.16	11.24	917.40	894.92			57.05	57.05	28 # 10
	2			975.36	12.61	987.97	962.75			58.29	58.29	32 # 10
	1	34.60	34.60	1044.56	14.80	1059.23	1029.76	0.80	0.80	63.08	63.08	32 # 10



$$\text{Col. } \begin{cases} 1 - B, & 1 - C \\ 4 - D, & 4 - C \end{cases} \begin{cases} 2A - 3A \\ 2D - 3D \end{cases}$$

SECC.	NIV	P_x	P_y	P_T	$P_{x\text{ad}}$ $\frac{M}{42}$	$P_E + S$	$P_E - S$	M_{XE}	M_{YE}	M_{XS}	M_{YS}	REFUERZO VERTICAL
50X50	15	18.55	15.58	34.10	1.72	35.82	32.38	1.25	6.45	6.84	7.82	8 # 8
	14	19.55	16.10	69.75	5.04	74.79	64.71	0.45	12.0	3.46	11.48	8 # 8
	13			105.4	9.63	115.03	95.27			20.96	14.93	8 # 8
60X60	12			141.05	15.52	156.57	125.53			28.96	17.36	8 # 8
	11			176.70	23.16	199.86	153.54			34.52	20.73	8 # 8
	10			212.35	32.11	244.46	180.24			39.90	23.94	12 # 8
	9			248.0	42.26	290.26	205.74			44.46	25.67	12 # 8
70X70	8			283.65	53.50	337.15	230.15			49.29	29.57	12 # 8
	7			319.30	65.77	385.07	253.50			53.06	31.99	12 # 8
	6			354.95	79.01	433.96	275.94			57.22	34.33	16 # 8
	5			390.60	93.12	483.72	297.40			60.75	36.45	16 # 8
80X80	4			426.25	107.96	534.21	318.29			63.43	38.05	16 # 8
	3			461.90	123.31	585.21	338.59			65.10	39.05	16 # 8
	2			497.55	139.09	636.64	358.46			66.60	39.95	24 # 8
	1	19.55	16.10	533.20	153.82	687.02	379.38	0.45	12.07	1.82	55.85	24 # 8



cols $\begin{cases} 1 = A, 1 = D \\ 4 = A, 4 = D \end{cases}$

SECC	NIV	P _X	P _Y	P _T	$\frac{P_{X3} + P_{Y3}}{P_{X3} + P_{Y3}}$	P _{E+5}	P _{E-5}	P _{XE}	M _{YE}	M _{XS}	M _{YS}	REFUERZO VERTICAL
50X50	15	7.70	7.70	15.40	1.79	17.19	13.61	7,657.65	7.82	7.82	4 # 8	
	14	6.10	6.10	27.60	5.0	32.60	22.60	6.355.35	11.4811.48	11.4811.48	4 # 8	
	13			39.80	10.02	49.82	29.78		14.9314.93	14.9314.93	4 # 8	
60X60	12			52.00	16.88	68.88	35.12		17.3617.36	17.3617.36	4 # 8	
	11			64.20	25.60	89.80	38.60		20.7320.73	20.7320.73	4 # 8	
	10			76.40	35.83	112.23	40.57		23.9423.94	23.9423.94	4 # 8	
	9			88.60	47.42	136.02	41.18		26.6726.67	26.6726.67	4 # 8	
70X70	8			100.80	60.30	161.10	40.50		29.5729.57	29.5729.57	4 # 8	
	7			113.00	74.39	187.39	38.61		31.9931.99	31.9931.99	4 # 8	
	6			125.20	89.57	214.77	35.63		34.3534.3	34.3534.3	4 # 8	
	5			137.40	105.79	243.19	31.61		36.4536.45	36.4536.45	4 # 8	
80X80	4			149.60	122.86	271.46	26.74		38.0638.06	38.0638.06	8 # 8	
	3			161.80	140.63	301.43	21.17		39.0639.06	39.0639.06	8 # 8	
	2			174.00	158.73	332.73	15.27		39.9539.95	39.9539.95	8 # 8	
	1	6.10	6.10	186.20	175.53	361.73	10.67	6.356.3555.8655.86	8.068.06	8.068.06	8 # 8	

Ejemplo Col. { 2A , 3A } 1er Nivel y 4to Nivel

44

$$P_E + S = 687020 \text{ Kg.}$$

$$P_u = 755.72 \text{ T}$$

$$M_E + S = 71.82 \text{ T-M}$$

$$M_u = 79.00 \text{ T-M}$$

$$K = \frac{755.72}{0.7 \times 80 \times 80 \times 170} = 0.99$$

$$e_1 = \frac{M}{P} = \frac{79}{755.72} = 0.1056 \text{ cm.}$$

$$e_2 = 0.05 \times 80 = 4.00 \text{ cm.}$$

$$e_T = 14.45 \text{ cm.}, \quad e = \frac{14.45}{80.0} = 0.18$$

$$K = 0.99$$

$$R = 0.99 \times 0.18 = 0.178$$

$$q = 0.45$$

$$p = \frac{0.45 \times 170}{4200} = 0.018$$

$$A_g = 80 \times 80 \times 0.018 = 115.20 \text{ cm}^2 / 5.03 = 22.9 \# 8 = 24 \# 8$$

$$P_E + S = 534.21 \text{ T} \quad P_u = 587.63 \text{ T}$$

$$M_E + S = 63.88 \text{ T-M} \quad M_u = 70.26 \text{ T-M}$$

$$K = \frac{587630}{0.7 \times 80 \times 80 \times 170} = 0.77$$

$$e_1 = \frac{M}{P} = \frac{7026000}{587630} = 11.96 \text{ cm.}$$

$$e_2 = 0.05 \times 80 = 4.00 \text{ cm.}$$

$$e_T = 15.96 \text{ cm.}, \quad e = \frac{15.96}{80.0} = 0.20$$

$$K = 0.77$$

$$R = 0.77 \times 0.2 = 0.154$$

$$q = 0.15$$

$$p = \frac{0.15 \times 170}{40} = 0.006$$

10

$$\text{Área de sección} = 40 \text{ cm}^2 / 5.03 = 8 \# 8$$

CONCLUSIÓN

Ya que el desplazamiento encontrado es de 34.42 cm. para la altura total del edificio y el permisible es de 40.6 cm. Pdemos decir que las secciones propuestas son correctas; además el acero de refuerzo en tráves y columnas está dentro de los permisibles por lo que procederemos a efectuar el análisis definitivo, dle la estructura con esas secciones.

3. ANALISIS I.

Se ha llamado análisis I de la estructura-proposta ; al a análisis de la misma utilizando el programa Tabs-77 para lo cual se usa las secciones obtenidas del análisis preliminar y aplicando las especificaciones del Reglamento de las Construcciones para el D.F. del año 1976 se obtiene su diseño. Una vez que se efectua el diseño de la estructura se procede a realizar la estimación de cantidades de materiales de lo-qual-muestra en resumen en la parte correspondiente al análisis comparativo parte de esta tesis.

El uso del programa de análisis por computadora Tabs-77 requiere de la siguiente información:

- 1.- Información de Control.
- 2.- Datos de los pisos.
- 3.- Datos de los Marcos.
- 4.- Tarjetas de Localización de los Marcos.
- 5.- Tarjetas que definen el Espectro de Respuestas de un mismo dado.
- 6.- Combinaciones de Carga.

A continuación se muestran los resultados de computadora para los dos Marcos considerados.

Cabe hacer notar en este análisis que en el programa de computadora el modelo matemático que se usó se toma una excentricidad de 2.40 m. para tomar en cuenta el efecto de torsión.

MARCO TYPE 1
(CIEC 1)

INDICADOR ESTÁTICA
(CN + CU)

MARCO 4 = CIE 3 = CIE 2 = CIE 4 = CIE 1

NOTAS: EN CONSTRUCCIÓN CON
LOS DATOS MARCAZOS
ESTÁNDARES.

4.67	11.47	-13.63	
+ 0.16		0.79	
8.35	-17.40	-0.99 (-) -13.37	
- 0.38		1.39	
- 0.28		- 35.41	
6.85	-16.30	-12.01 (-) -19.83	
- 2.00		1.56	
8.87	-18.09	-0.32 (-) -19.89	
6.35		1.85	
- 10.32		- 32.43	
7.85	-19.63	4.10 (-) -19.73	
- 7.55		0.31	
5.06		- 35.33	
7.19	-13.55	10.03 (-) -19.75	
8.13		1.83	
- 0.28		- 38.24	
7.41	-18.20	32.33 (-) -19.81	
3.10		1.52	
- 7.35		- 35.47	
6.21	-19.03	10.31 (-) -19.91	
8.21		1.55	
- 8.81		- 35.55	
7.86	-20.37	5.31 (-) -19.91	
7.71		1.58	
- 9.39		- 35.60	
7.28	-18.49	10.03 (-) -19.97	
7.23		1.59	
- 10.10		- 35.65	
7.77	-18.35	11.19 (-) -19.98	
6.79		1.65	
- 10.09		- 35.70	
6.48	-18.08	11.45 (-) -19.99	
7.32		1.75	
- 12.84		- 35.85	
6.85	-18.03	11.52 (-) -19.98	
6.41		1.76	NON TURBULENTES
- 12.61		- 35.93	CARGA AXIAL
6.46	-18.99	11.73 (-) -19.99	NON TURBULENTES
6.94		1.87	
- 12.50		- 35.99	
6.28	-18.91	11.24 (-) -19.99	
6.40		1.90	
- 12.10		- 36.00	
3.37		0.11	

RIGHT TIME 2.
(LIFTS.)

GRADIENT GRADIENT

RIGHT EDC C = EDC B = EDC J = EDC 2.

DATES OF CONSTRUCTION AND
THE EXISTING STAKINGS
ARE AS FOLLOWS:

1-19-04	24-15	-17-3-24-32	
1-20-04		3-25	
1-21-04		-18-0	
1-22-04		3-21	
1-23-04		-18-21	
1-24-04		3-20	
1-25-04		-18-19	
1-26-04		3-18	
1-27-04		-18-17	
1-28-04		3-17	
1-29-04		-18-16	
1-30-04		3-16	
1-31-04		-18-15	
2-1-04		3-15	
2-2-04		-18-14	
2-3-04		3-14	
2-4-04		-18-13	
2-5-04		3-13	
2-6-04		-18-12	
2-7-04		3-12	
2-8-04		-18-11	
2-9-04		3-11	
2-10-04		-18-10	
2-11-04		3-10	
2-12-04		-18-9	
2-13-04		3-9	
2-14-04		-18-8	
2-15-04		3-8	
2-16-04		-18-7	
2-17-04		3-7	
2-18-04		-18-6	
2-19-04		3-6	
2-20-04		-18-5	
2-21-04		3-5	
2-22-04		-18-4	
2-23-04		3-4	
2-24-04		-18-3	
2-25-04		3-3	
2-26-04		-18-2	
2-27-04		3-2	
2-28-04		-18-1	
2-29-04		3-1	
2-30-04		-18-0	
2-31-04		3-0	
3-1-04		-18-34	
3-2-04		3-34	
3-3-04		-18-33	
3-4-04		3-33	
3-5-04		-18-32	
3-6-04		3-32	
3-7-04		-18-31	
3-8-04		3-31	
3-9-04		-18-30	
3-10-04		3-30	
3-11-04		-18-29	
3-12-04		3-29	
3-13-04		-18-28	
3-14-04		3-28	
3-15-04		-18-27	
3-16-04		3-27	
3-17-04		-18-26	
3-18-04		3-26	
3-19-04		-18-25	
3-20-04		3-25	
3-21-04		-18-24	
3-22-04		3-24	
3-23-04		-18-23	
3-24-04		3-23	
3-25-04		-18-22	
3-26-04		3-22	
3-27-04		-18-21	
3-28-04		3-21	
3-29-04		-18-20	
3-30-04		3-20	
3-31-04		-18-19	
4-1-04		3-19	
4-2-04		-18-18	
4-3-04		3-18	
4-4-04		-18-17	
4-5-04		3-17	
4-6-04		-18-16	
4-7-04		3-16	
4-8-04		-18-15	
4-9-04		3-15	
4-10-04		-18-14	
4-11-04		3-14	
4-12-04		-18-13	
4-13-04		3-13	
4-14-04		-18-12	
4-15-04		3-12	
4-16-04		-18-11	
4-17-04		3-11	
4-18-04		-18-10	
4-19-04		3-10	
4-20-04		-18-9	
4-21-04		3-9	
4-22-04		-18-8	
4-23-04		3-8	
4-24-04		-18-7	
4-25-04		3-7	
4-26-04		-18-6	
4-27-04		3-6	
4-28-04		-18-5	
4-29-04		3-5	
4-30-04		-18-4	
5-1-04		3-4	
5-2-04		-18-3	
5-3-04		3-3	
5-4-04		-18-2	
5-5-04		3-2	
5-6-04		-18-1	
5-7-04		3-1	
5-8-04		-18-0	

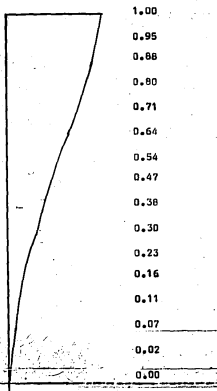
- 1.87	17.39	- 7.91	
18.00	- 2.10	7.84	10.24 - 21.94
6.21			- 7.07
+ 11.47			- 15.49
11.06			2.91
6.45	- 7.83	21.24	- 4.85 - 3.47
11.15	- 21.07	2.04	13.49 - 29.03
- 6.28			- 18.00
+ 25.90			- 40.21
12.24			12.51
- 2.67	- 1.26	28.47	- 9.47 0.58
16.45	- 35.46	- 2.17	17.63 - 33.41
- 1.91			- 14.40
+ 1.91			- 60.05
14.72			15.55
- 1.86	0.26	31.39	- 15.39 4.68
11.13	- 10.01	- 6.51	20.79 - 37.46
0.08			- 16.36
- 55.21			- 81.13
11.16			22.80
- 1.00	4.45	33.47	- 16.60 0.58
18.85	- 48.11	- 14.08	28.06 - 44.81
- 3.22			- 24.08
77.11			- 101.17
18.53			25.46
- 2.07	3.83	28.28	- 11.40 13.36
21.66	- 50.14	- 16.12	22.38 - 46.31
- 5.18			- 23.26
- 15.37			- 101.05
20.00			26.46
- 3.45	11.81	41.77	- 27.21 15.29
21.17	- 52.00	- 18.16	28.01 - 48.37
- 6.38			- 21.45
- 116.53			- 142.19
21.91			25.76
- 8.24	11.79	42.98	- 24.63 17.64
20.89	- 63.64	- 19.67	29.40 - 60.46
- 2.75			- 24.41
- 156.95			- 182.66
26.04			360
- 8.87	17.66	41.56	- 30.41 24.34
25.04	- 61.56	- 24.70	35.14 - 66.48
- 6.55			- 38.22
- 189.38			- 182.78
23.31			33.14
- 7.04	18.15	48.81	- 28.00 24.30
24.45	- 60.81	- 24.44	34.01 - 67.03
- 5.04			- 30.11
- 181.68			- 203.07
23.85			33.35
- 7.81	20.76	51.12	- 30.14 24.46
23.77	- 61.14	- 26.41	33.68 - 57.27
- 6.83			- 30.00
- 203.76			- 203.76
23.76			34.44
- 12.31	20.08	51.46	- 31.75 24.36
20.87	- 61.67	- 25.83	21.86 - 51.23
- 4.16			- 28.70
- 23.15			- 245.43
20.31			30.67
- 19.26	24.90	56.81	- 37.37 29.58
22.10	- 68.89	- 31.45	31.21 - 63.49
- 7.98			- 36.11
- 245.93			- 264.38
23.56			31.05
- 11.99	24.31	55.80	- 37.09 26.36
20.46	- 63.10	- 27.84	31.17 - 64.59
7.84			- 28.42
- 232.30			- 281.45
28.48			30.10
- 14.64	20.24	51.23	- 36.89 16.49
8.13	- 65.43	- 19.80	18.21 - 61.96
5.78			- 14.83
- 20.39			- 305.63
45.26			47.70
- 26.80			- 19.44

FORMAS DE MODO. 1^{er} MODO T DIRECCION Y

NIV	ORDENADA	ORDENADA NORMALIZADA
15	0.042	1.00
14	0.040	0.95
13	0.037	0.88
12	0.034	0.80
11	0.030	0.71
10	0.027	0.64
9	0.023	0.54
8	0.020	0.47
7	0.016	0.38
6	0.013	0.30
5	0.010	0.23
4	0.007	0.16
3	0.005	0.11
2	0.003	0.07
1	0.001	0.02

$$T = 1.86 \text{ seg.}$$

$$w^2 = 11.41 \left(\frac{\text{rad}}{\text{seg}} \right)^2$$

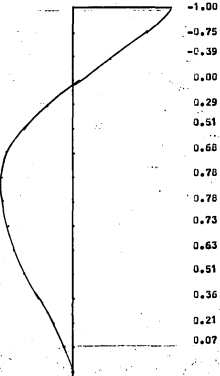


FORMAS DE MODO. 2º MODO T DIRECCION Y

NIV	ORDENADA	ORDENADA NORMALIZADA
15	-0.041	-1.00
14	-0.031	-0.75
13	-0.016	-0.39
12	0.000	0.00
11	0.012	0.29
10	0.021	0.51
9	0.028	0.68
8	0.032	0.78
7	0.032	0.78
6	0.030	0.73
5	0.026	0.63
4	0.021	0.51
3	0.015	0.36
2	0.009	0.21
1	0.003	0.07

$$T = 0.71 \text{ seg.}$$

$$\omega^2 = 78.31 \cdot (\text{rad/s})^2$$



ESC V. = 1:100

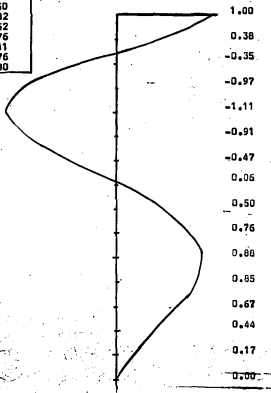
ESC H. = 1:25

FORMA DE MODO. 3^{er} MODO T DIRECCION Y.

NIV	ORDENADA	ORDENADA NORMALIZADA
15	0.034	1.000
14	0.013	0.382
13	-0.012	-0.350
12	-0.033	-0.970
11	-0.038	-1.117
10	-0.031	-0.911
9	-0.016	-0.470
8	0.002	0.058
7	0.017	0.500
6	0.026	0.760
5	0.030	0.882
4	0.029	0.852
3	0.023	0.676
2	0.015	0.441
1	0.006	0.176
0	0.000	0.000

$$T = 0.42 \text{ seg.}$$

$$\omega^2 = 2\pi^2 \cdot g_0 \left(\text{rad/s}^2 \right)^2$$



ESC V = 1:100

ESC H = 1:25

DESPLAZAMIENTOS MAXIMOS

NIVEL	DIREC Y CM	.30 DIREC X CM	DESP TOTALES CM
1	0.631	0.189	0.820
2	1.737	0.520	2.257
3	2.943	0.881	3.824
4	4.122	1.234	5.356
5	5.604	1.680	7.224
6	7.186	2.154	9.340
7	8.686	2.604	11.290
8	10.091	3.024	13.115
9	11.876	3.559	15.435
10	13.688	4.102	17.790
11	15.289	4.582	19.871
12	16.659	4.993	21.652
13	18.321	5.491	23.811
14	19.701	5.905	25.606
15	20.407	6.116	26.523

Desp. permisible = 40.8cm. 26.523

 $\Delta p = 0.008 \text{ h.}$ 25.606 $\Delta p = 0.008 \times 51 \text{ m} = 40.8 \text{ cm.}$ 23.811

21.652

19.871

17.790

15.435

13.115

11.290

9.340

7.224

5.356

3.824

2.257

0.820

DISEÑO DE LA ESTRUCTURA.

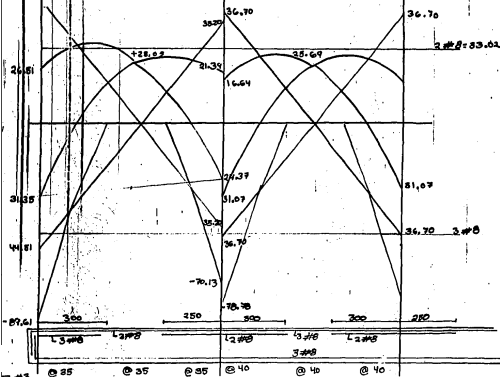
Se siguen las mismas especificaciones para el diseño de la estructura que para el caso del diseño preliminar.

Para tomar en cuenta al Reglamento de las Construcciones en su parte correspondiente el cortante total que se debe tomar para diseño de la estructura se multiplica el momento sísmico por 1.30 y se suma al momento por condiciones estáticas. (solo para torsión).

Nota: SE DISEÑA CON LOS ELEMENTOS MECÁNICOS DEL 3º NIVEL
 SE MULTIPLICAN LOS " " POR 0.40 PESO 1.30
 PARA TENER UNA CANTIDAD (VY + 0.3 VZ)

(SOLO PARA TORSIÓN)

DISEÑO DE TRABES. NIVELES 1, 2, 3, Y 4. MARCOS CENTRALES
SECCION 40 x 100



EJEMPLO DISEÑO POR CORTANTE TRABES NIVELES 1,2,3,4 MARCOS CENTRALES. SECCION 40 X 100.

V_1	16.90	16.90	16.9	16.9
V_c	0.79	-0.79	0.0	0.0
V_f	17.69	16.11	16.9	16.9
V_s	$9.96 \times 1.3 = 12.94$	$12.94 - 9.17 \times 1.3 =$	$9.17 \times 1.3 = 11.92$	

a) Condición Estática.

$$V_u = 17.69 \times 1.4 = 24.76 \text{ ton.}$$

$$V_{CR} = 20.36$$

$$V_u - V_{CR} = 4.40 \text{ ton.}$$

$$S_{\#3} = \frac{429.4}{4.4} = 97.6 \text{ cm. } 7 \text{ d/2} = 45 \text{ cm.}$$

b) Condición E+S

$$V_u = 17.69 \times 1.1 + 9.96 \times 1.3 = 32.4 \text{ T}$$

$$V_u - V_{CR} = 32.4 - 20.36 = 12.04 \text{ T}$$

$$S_{\#3} = \frac{429.4}{12.04} = 35.66 @ 35$$

c) E+S Tramo 2-

$$V_u = 16.9 \times 1.1 + 11.92 = 30.51 \text{ T}$$

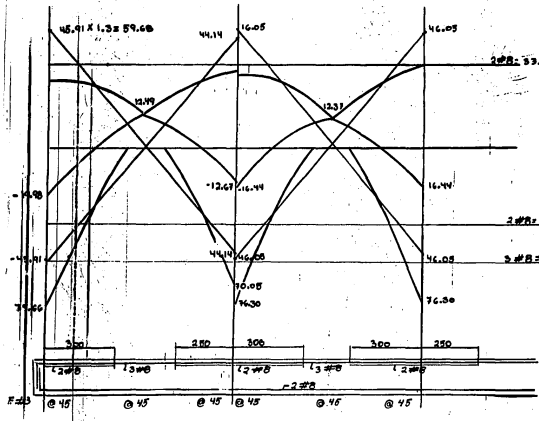
$$V_u - V_{CR} = 30.51 - 20.36 = 10.16$$

$$S_{\#3} = \frac{429.4}{10.16} = 42.26 = 40 \therefore E \# 3 @ 40$$

DISEÑO DE TRAES. NIVELES 1, 2, 3 Y 4-5

MARCOS EXTERIORES

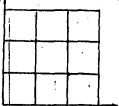
SECCION 40 X 100



DISEÑO DE COLUMNAS.

El diseño de columnas se hace siguiendo las especificaciones del Reglamento de las Construcciones del D.F. para el año de 1976.

A continuación se muestran las tablas de columnas y un ejemplo del diseño de una columna.

A B C D \rightarrow X

SECCION	NIV	P _x	P _y	P _T	P _{E+5%}	P _{E+5%+ 30P_x}	P _{E+3T}	P _{E+5T}	P _E	P _{E-S_t}	M _{AE}	M _{VE}	M _{E+S_y} ,30 Mm	M _{E+S_x}	RFD VERIF. CALCULADO	RFD VERIF. REAL
50x50	15.	35.60	35.60	71.20	38.58	39.70	79.28				2.44	2.44	11.40.	9.38		12 μ 10
	14	67.90	67.90	135.80	75.51	75.75	151.26				2.55	2.55	15.75	12.77		12 μ 10
	13	100.62	100.62	201.24	111.69	111.99	223.68				1.91	1.91	16.50	14.72	10 μ 10	12 μ 10
60x60	12	132.79	132.79	269.56	147.43	147.83	295.26				3.50	3.50	25.35	20.39		16 μ 10
	11	164.20	164.20	328.40	182.46	183.01	365.47				3.00	3.00	27.76	22.34	12 μ 10	16 μ 10
	10	195.40	195.40	391.60	217.54	218.31	435.95				3.34	3.34	29.91	23.86	24 μ 10	
	9	227.00	227.00	454.00	253.00	253.99	506.99				2.82	2.87	30.66	24.47	22 μ 10	24 μ 10
70x70	8	259.50	259.50	519.00	288.37	289.24	577.61				2.75	2.75	38.37	30.22		24 μ 10
	7	290.60	290.60	581.36	323.21	324.24	647.45				4.01	4.01	36.21	28.80		24 μ 10
	6	322.23	322.23	644.46	358.79	360.09	718.88				3.19	3.19	36.76	29.09	24 μ 10	
	5	354.29	354.29	708.56	393.69	395.14	769.03				2.53	2.53	36.56	28.77	22 μ 10	24 μ 10
	4	386.51	386.51	773.02	429.67	431.03	860.07				2.85	2.85	43.26	33.83	28 μ 10	28 μ 10
80x80	3	416.00	416.00	836.00	465.31	466.90	932.27				2.37	2.37	39.25	30.80	28 μ 10	28 μ 10
	2	451.00	451.00	902.00	501.43	503.82	1005.25				1.36	1.36	39.85	31.00	42 μ 10	40 μ 10
	1	485.00	485.00	970.00	538.13	539.51	1077.64				0.30	0.30	49.50	38.13	40 μ 10	40 μ 10

DISEÑO DE COLUMNAS.

$$\left\{ \begin{array}{l} 28 + 2C \\ 38 + 3C \end{array} \right\}$$

COLS 2B - 3B
2C - 3C

COLS 1^{er} NIVEL

a) Condición estática.

$$P_E = 970 \text{ T} \quad P_u = 1.4 \times 970 = 1358 \text{ T}$$

$$M_{ux} = 1.4 \times 0.3 + 0.05 \times 0.8 \times 1358 = 54.74 \text{ T-M}$$

$$M_{uy} = 1.4 \times 0.3 + 0.05 \times 0.8 \times 1358 = 54.74 \text{ T-M}$$

$$\frac{e_x}{1358.0} = \frac{54.74}{1358.0} = 0.04 \quad ; \quad e_y = 0.04$$

$$\text{suponiendo } p = 0.03 \quad ; \quad A_s = 80 \times 80 \times 0.03 = 192 \text{ cm}^2$$

$$P_{RD} = 0.7 (80 \times 80 \times 170 + 192 \times 4.2) = 1326.08 \text{ T}$$

$$q = p \frac{f_y}{f''c} = 0.03 \times \frac{4200}{170} = 0.74$$

$$\frac{e_x}{h_x} = \frac{0.04}{0.8} = 0.05$$

$$K_x = 1.60$$

$$P_{RX} = 0.7 \times 1.6 \times 80 \times 80 \times 170 = 1218.6 \text{ T}$$

$$\frac{e_y}{h_y} = 0.05$$

$$K_y = 1.60$$

$$P_{RY} = P_{RX} = 1218.6 \text{ T}$$

$$P_R = \left(\frac{1}{1218.6} + \frac{1}{1218.6} - \frac{1}{1326.08} \right)^{-1} = 1127.2 \text{ T} < 1358.0 \text{ T}$$

. N o pasa.

$$\text{Suponiendo } p = 0.05 \quad A_s = 80 \times 80 \times 0.05 = 320 \text{ cm}^2$$

$$P_{RD} = 0.7 (80 \times 80 \times 170 + 320 \times 4.2) = 1720.4 \text{ T}$$

$$q = 0.05 \times \frac{4200}{170} = 1.24 \quad ; \quad \frac{e_x}{h_x} = 0.05 \quad , \quad K_x = 2.0$$

$$P_{RX} = 0.7 \times 2 \times 0.8 \times 80 \times 170 = 1523.2$$

$$q = 0.05 \times \frac{4200}{170} = 1.24 \quad ; \quad \frac{e_y}{h_y} = 0.05 \quad K_y = 2.0$$

$$P_{RY} = 1.523.0$$

$$P_R = \left(\frac{1}{1523} + \frac{1}{1523} - \frac{1}{1720.4} \right)^{-1} = 1366.23 > 1358 \text{ ; O.K.}$$

b) Condición estática + Sismo

$$P_u = 1077.64 \text{ T}$$

$$M_{ux} = 0.3 \times 1.14 \times 0.05 \times 0.8 \times 1077.64 = 43.43 \text{ T-M}$$

$$M_{uy} = 0.3 \times 1.14 \times 0.05 \times 0.8 \times 1077.64 = 43.43 \text{ T-M}$$

$$M_{ux} = 43.43 + 38.13 = 81.56$$

$$M_{uy} = 43.43 + 49.50 = 92.93$$

$$\epsilon_x = \frac{81.56}{1077.64} = 0.075 \quad \epsilon_y = \frac{92.93}{1077.64} = 0.0086$$

$$P = 0.05 \quad ; \quad A_g = 320 \text{ cm}^2$$

$$P_{RD} = 0.7 (80 \times 80 \times 170 + 320 \times 4.2) = 1702.4$$

$$\frac{\epsilon_x}{h_x} = \frac{0.075}{0.8} = 0.093 \quad ; \quad q = 1.24 \quad ; \quad K_x = 2.0$$

$$P_{RX} = 0.7 \times 2 \times 80 \times 80 \times 170 = 1.523.2$$

$$P_{RY} = 1.523.2$$

$$P_R = \left(\frac{1}{1523.0} + \frac{1}{1523} - \frac{1}{1702.4} \right)^{-1} = 1378.13 > 1358$$

∴ es correcto

$$A_g = 320 \text{ cm}^2 = 40 \# 10 \\ = 64 \# 8$$

DISEÑO DE ESTRIBOS EN COLUMNAS.

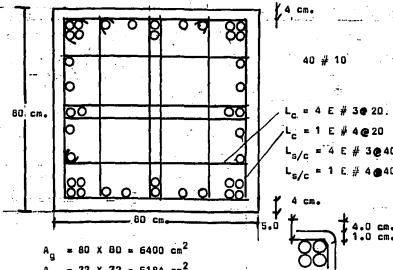
Para $Q = 4$

Según Manual de Diseño Sísmico para Edificios

9.2.4.-

$$P' = 0.45 \left(\frac{A}{A_c} - 1 \right) \frac{f'_c}{f_y} \geq 0.12 \frac{f'_c}{f_y}$$

$$A_v = 0.4 P' d_{sh} \quad d_{sh} = \text{long. del núcleo confinado}$$



$$A_g = 80 \times 80 = 6400 \text{ cm}^2$$

$$A_c = 72 \times 72 = 5184 \text{ cm}^2$$

$$f'_c = 250 \text{ kg/cm}^2$$

$$f_y = 4200 \text{ kg/cm}^2$$

$$P' = 0.45 \left(\frac{6400}{5184} - 1 \right) \frac{250}{4200} = 0.006$$

$$0.12 \frac{f'_c}{f_y} = \frac{0.12 \times 250}{4200} = 0.007 \text{ rigir}$$

$$A_v = 0.4 \times 0.007 \times 76 \times Sh$$

$$A_v = 6 \times 0.71 = 4.26 \text{ cm}^2$$

$$Sh = \frac{4.26}{0.4 \times 0.007 \times 76} = 20.0 \text{ cm.}$$

$$\left. \begin{array}{l} c_{1/2} + c_{2/2} = 80/2 = 40 \\ s_1 \leq \end{array} \right\}$$

20 cm.

$$\frac{425 \text{ db}}{\sqrt{f_y}} = \frac{425 \times 3.18}{\sqrt{4200}} = 20.85$$

$$\left. \begin{array}{l} 850 \text{ db} = \frac{850 \times 3.18}{\sqrt{4200}} = 41.70 \text{ cm.} \\ s_2 \leq \end{array} \right\}$$

$$48 d_{vv} = 48 \times 0.95 = 45.60 \text{ cm.}$$

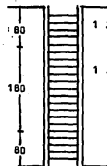
$$c_{\min} = 80 \text{ cm.}$$

$$c_1 \neq c_2$$

$$\left. \begin{array}{l} L/6 = 240/6 = 40 \text{ cm.} \\ s_c \leq \end{array} \right\}$$

$$60 \text{ cm.}$$

$$c_1, c_2 = 60$$



1 JGO. 5 E # 3@20

1 JGO. 5 E # 3@40

Se debe cumplir la especificación; que la fuerza que desarrolla el estribo debe ser por lo menos $2/100$ de la fuerza que se desarrolla el paquete de las varillas verticales:

a) Fuerza del paquete

$$4 \times 7.92 \times 4200 \times \frac{2}{100} = 2661.12 \text{ Kg.}$$

b) Fuerza del estribo

$$0.71 \times 4200 = 2982 \text{ Kg.} > 2661.12 \text{ Kg. O.K.}$$

DISEÑO DE CIMENTACION.

- 1.- Se proyecta construir un edificio para oficinas que constará de planta baja y 14 plantas tipo y azoteas. La estructura está formada por columnas y trabes y losas de concreto. El peso unitario medio (\bar{q}) (suma de las cargas permanentes y vivas con intensidad máxima) de la estructura es de 17.68 T/m^2 . El edificio tendrá un ancho de 24.0 m.

314.0	551.40	551.40	314.0
551.40	970.0	970.0	551.40
551.40	970.0	970.0	551.40
314.0	551.40	551.40	314.0

$$\Sigma P = 9547.0 \text{ T}$$

$$\Sigma P_{col} = 640.2 \text{ T}$$

$$\Sigma P_T = 10187.2 \text{ T}$$

2.- Investigación del subsuelo.

- 2.1. Investigación de las estructuras colindantes, reconocimiento y sondajes.

El edificio por cimentar no tiene estructuras colindantes en la zona donde se localiza el mismo, según exploraciones hechas en su vecindad, existe una capa compresible con espesor mayor de 20 m.

El predio queda localizado en la zona III. Ya que \bar{U} es igual a 17.68 T/m^2 muy probablemente la profundidad de desplante sea mayor de 2.5 m. los requisitos mínimos para la investigación del subsuelo serán:

- i) Sondeos de penetración standar para determinar la estratigrafía la posición del nivel freático si existe en la profundidad explorada, y las propiedades índice de los materiales encontrados.

La profundidad de los sondeos será al menos igual a dos veces el ancho en la planta de la subestructura, excepto cuando el estrato firme se encuentre a una profundidad menor, en cuyo caso estará la profundidad del sondeo.

- ii) Estimación de las propiedades mecánicas pertinentes a partir de las propiedades índice, siempre que exista correlación aplicable a los materiales del sitio. En caso contrario muestreo inalterado y pruebas de laboratorio para determinar las propiedades mecánicas de interés.
- iii) En caso de cimentaciones profundas, investigación de la tendencia de los movimientos del subsuelo debido a consolidación regional.

El número mínimo de sondeos para esta zona es uno por cada 100 metros o fracción del perímetro mínimo de la superficie cubierta por la construcción.

En este caso se requerirá llevar los sondeos hasta 40 m. y será necesario tres sondeos de penetración standar. Aunque se tienen datos de las propiedades mecánicas de los materiales en la vecindad del sitio se estimó conveniente realizar un sondeo adicional de tipo mixto para obtener muestras inalteradas y realizar sobre ellas pruebas de laboratorio.

La capa resistente se localizó a 40m. de profundidad. El nivel freático se encontró a 2.7 metros.

2.2. Pruebas de laboratorio.- Utilizando las muestras representativas alteradas obtenidas con el penetrómetro standar, se determinaron el contenido de aguas naturales, por lo menos cada metro y los límites líquido y plástico, y la densidad de sólidos en materiales típicos.

Utilizando muestras inalteradas se realizaron pruebas de laboratorio para determinar la resistencia a la compresión simple por lo menos cada 4 m. de profundidad y se obtuvieron las curvas de compresibilidad cada seis metros. Los valores de las resistencias a compresión simple y de las cargas de preconsolidación se muestran en la parte correspondiente al final de esta tesis.

Todas las pruebas de laboratorio se hicieron siguiendo los procedimientos especificados en el Manual de Mecánica de Suelos.

Los suelos se clasificaron segúnel sistema unificado de clasificación de suelos a partir de las propiedades índice, los símbolos corresponden a cada estrato identificable.

2.3. Tendencias de los movimientos del subsuelo debido a consolidación regional.

En la zona existen de acuerdo a la ref. 1 hundimientos debido a la consolidación regional que alcanza hasta 2.5 cm. por año. No se conoce la contribución de cada estrato del subsuelo a dicho hundimiento.

3.- Análisis y Diseño.- El análisis y diseño de este cimentación incluye la revisión de los estados límites de servicio y de los de falla. Para la revisión de los primeros, las reacciones a considerar deben ser las estimadas afectadas por un factor de carga o de resistencia igual a 1.

Con el objeto de evaluar en la forma más realista posible el comportamiento de la cimentación en cuanto a asentamientos o emersiones diferidos. Este punto es de importancia ya que la consideración implícite

un factor de seguridad contra asentamientos pueda llevar a emer-
siones inaceptables. La revisión de estados límite de falla,
por lo contrario, se hará aplicando a las cargas de resisten-
cia, los factores correspondientes aplicables según el Regla-
mento.

En el caso particular considerado el diseño está regido por la
revisión de estados límites de servicio y consiste en definir
el número de pilotes suficientes para que, tomando en cuenta,
la compensación parcial; los movimientos verticales resulten
aceptables.

Definido este por aproximaciones sucesivas, se revisarán los
posibles estados de falla. Los primeros tanteos llevaron a pro-
poner que la cimentación consiste en una retícula de contratra-
bres y muros de contención y una losa armada desplantada a 6 m.
de profundidad que se apoya en pilotes de fricción de 32m. de
longitud.

3.1. Acciones.- Las acciones a considerar sobre la cimentación serán
las siguientes (art. 215) :

- * Combinación de cargas permanentes, cargas vivas con intensi-
dad máxima.
- * Combinación de cargas permanentes, cargas vivas con intensi-
dad instantánea y acción accidental más crítica (sismo).
- * Combinación de cargas permanentes y cargas vivas con intensi-
dad media.
- * Acciones atribuibles a consolidación regional (Art. 266).
- * Peso propio de cimentación.

3.2. Estados límite de Servicio.- Los asentamientos o emersiones
totales se calculan para la combinación de acciones permanen-
tes más variables con intensidad media siguiendo el procedi-
miento simplificado siguientes

- a) Se considera como zona comprimible la limitada por dos
fronteras horizontales; la superior correspondiente al
nivel neutro (N N) y la inferior a la máxima profundi-
dad a la que existen suelos comprimibles (en este caso
40 m.). La profundidad del nivel neutro puede determinarse
se mediante tanteos hasta sacar acero en agujeros

$$Q = C_p + F_{NN} - pp$$

Q = Carga total tomada por la cabeza de los pilotes calculada como la diferencia de carga total actuante sobre el nivel de desplante (combinación de cargas permanentes y cargas vivas con intensidad media) y la descarga de compensación.

C_p = Capacidad de carga total de punta de los pilotes con factor de resistencia unitaria.

$F_{NN} - pp$ = Fricción positiva total que puede desarrollarse entre la punta de los pilotes y en el nivel NN con factor de resistencia unitaria.

El segundo miembro a considerar debe ser el mínimo de los valores obtenidos considerando:

1.- Pilotes individuales.

2.- Conjunto de todos los pilotes.

3.- Grupo de pilotes.

En este caso particular el valor mínimo es el obtenido de considerar pilotes individuales para el cual:

$$C_p = N \left[(cN^2 c) F_R + P_v \right] A_p$$

$$C_p = 112 \left[(2 \times 9 \times 1 + 32.5 \times 1.2) 0.36 \right]$$

$$C_p = 112 (18 + 39) 0.36 = 2298.24 \text{ ton.}$$

$$Q = 7816 + 3146 + 1128 = 5775$$

$$Q = 6315 \text{ T.}$$

$$F_{NN} - pp = Q - C_p$$

$$= 6315 - 2298 = 4017.0 \text{ T.}$$

$$h = \frac{4017}{1.98 \times 2.4 \times 112} = 7.54 \text{ m} \pm 6 \text{ m} \quad 40 - 8 = 32$$

Prof. eje neutro = 32 m.

TRAMO	PROF. M	Z M	LONGADHER. M (T/m) ²	F _i TON.	F _i /A	Z/x	L	P (+)	d = T/m ²
1	32 a 34	33.00	2.0	2.00	1075.2	1.72	2.34	0.553	0.95
2	34 a 38.5	36.25	4.5	1.75	2116.8	3.38	2.57	0.548	1.85
Σ						5.10			2.80
PUNTA	38.5	38.5			2298.2	3.67	2.73	0.545	2.00
						8.77			3.97

Perímetro = 2.40 m.

$$A_T = 25 \times 25 = 625 \text{ m}^2$$

$$x = \sqrt{\frac{625}{R}} = 14.10$$

CARGAS A CIMENTACION PARA LA REVISION DEL ESTADO LIMITE DE SERVICIO

 $\Delta = 0.7 \text{ cm.}$ $\Delta = -0.7 \text{ cm.}$

-233.76	-413.57	-413.57	-233.76
-413.57	-733.06	-733.06	-413.57
	$\Delta = 0.7 \text{ cm.}$		$= -0.7 \text{ cm.}$
-413.57	-733.06	-733.06	-413.57

-233.76 -413.57 -433.57 -233.76

CARGAS PERMANENTES + CARGA VIVA MEDIA (DE LA SALIDA DE COMPUTADORA)

$$\sum P = 7175.84$$

$$P_{col} = \underline{640.16}$$

$$P_T = 7816.00 \text{ ton.}$$

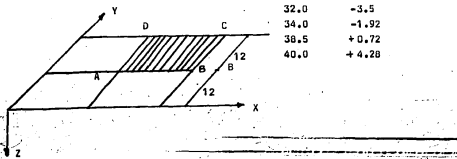
CALCULO DE INCREMENTOS DE ESFUERZOS VERTICALES EN EL PUNTO A.

X = 12

Y = 12

TRAMO	Z _M M	CARGA T/m ²	Z M	Z' M	X Z'	Y Z'	I ^t _z	Δσ _z (T/m ²)	4Δσ _z	
1	33.00	30.0	3.00	4.00	4.00	4.00	0.2473	-0.19	-0.76	
		-0.77	32.0	1.00	12.00	12.00	0.2500	-0.19	-0.76	
		+0.95	34.0	1.00	12.00	12.00	0.2500	0.23	0.92	
			36.5	5.50	2.18	2.18	0.2357	0.22	0.88	
			40.0	7.00	1.70	1.70	0.2274	0.21	0.84	
2	36.25	30.0	6.25	1.92	1.92	0.2355	-0.36	-1.44		
			32.0	4.25	2.82	2.82	0.2032	-0.31	-1.24	
		-1.53	34.0	2.25	5.33	5.33	0.2044	-0.31	-1.24	
		+1.65	36.5	2.25	5.33	5.33	0.2044	0.37	1.48	
			40.0	3.75	3.20	3.20	0.2036	0.37	1.48	
PUNTA		30.0	6.50	1.40	1.40	0.2102	-0.35	-1.40		
		32.0	6.50	1.85	1.85	0.2285	-0.38	-1.52		
			34.0	4.50	2.66	2.66	0.2416	-0.40	-1.60	
		-1.67	36.5	0.00	∞	∞	0.2500	-0.41	-1.64	
	38.50	+2.00	40.0	1.50	8.00	8.00	0.2496	0.49	1.96	

PROF.	Δσ _z
30.0	-3.6 T/m ²
32.0	-3.5
34.0	-1.92
36.5	+0.72
40.0	+4.28



CALCULO DE INCREMENTOS DE ESFUERZOS VERTICALES EN EL PUNTO D.

X = 24

Y = 12

TRAMO	Z _m m	CARGA T/m ²	Z m	Z' m	X Z'	Y Z'	I'z	Δσ _z (T/m ²)	2Δσ _z
1	33.0	30.0	3.00	6.00	4.00	0.2484	-0.19	-0.38	
		-0.77	32.0	1.00	24.00	12.00	0.2500	-0.19	-0.38
		+0.95	34.0	1.00	24.00	12.00	0.2500	0.23	0.46
			36.5	5.50	4.36	2.18	0.2420	0.22	0.44
			40.0	7.00	3.42	1.70	0.2330	0.22	0.44
2	36.25	30.0	6.25	3.84	1.92	0.2388	-0.36	-0.72	
			32.0	4.25	5.64	2.82	0.2450	-0.37	-0.74
		-1.53	34.0	2.25	10.66	5.33	0.2491	-0.38	-0.76
		+1.85	36.5	2.25	10.66	5.33	0.2491	0.46	0.92
			40.0	3.75	6.40	3.20	0.2463	0.45	0.90
PUNTA		30.0	8.50	2.80	1.40	0.2240	-0.37	-0.74	
			32.0	6.50	3.70	1.85	0.2357	-0.39	-0.78
			34.0	4.50	5.35	2.65	0.2440	-0.40	-0.80
		-1.67	36.5	0.00	∞	∞	0.2500	-0.41	-0.81
		38.50	+2.00	40.0	1.50	16.00	8.00	0.2498	0.49

PROF.	Δ σ _z
30.0	-1.84
32.0	-1.90
34.0	-1.10
36.5	+0.54
40.0	+2.32

CALCULO DE INCREMENTOS DE ESFUERZOS VERTICALES EN EL PUNTO C.

X = 24

Y = -24

TRAMO	Z _H m	CARGA T/m ²	Z m	Z' m	X Z'	Y Z'	I' z	Δ σ' z (T/m ²)	
1	33.00	30.0	3.0	8.00	8.00	0.2496	-0.19		
		-0.77	32.0	1.0	24.00	24.00	0.2500	-0.19	
		+0.95	34.0	1.0	24.00	24.00	0.2500	+0.23	
			38.5	5.5	4.36	4.36	0.2473	+0.23	
			40.0	7.0	3.40	3.40	0.2439	+0.23	
2	36.25	30.0	6.25	3.84	3.84	0.2451	-0.37		
			32.0	4.25	5.64	5.64	0.2492	-0.38	
		-1.53	34.0	2.25	10.66	10.66	0.2500	-0.38	
		+1.85	38.5	2.25	10.66	10.66	0.2500	+0.46	
			40.0	3.75	6.40	6.40	0.2492	+0.46	
PUNTA		30.0	8.50	2.80	2.80	0.2439	-0.40		
			32.0	6.50	3.70	3.70	0.2440	-0.40	
			34.0	4.50	5.35	5.35	0.2486	-0.40	
		-1.67	38.5	0.00	∞	∞	0.2500	+0.41	
		38.50	+2.00	40.0	1.50	16.00	16.00	0.2500	+0.50

PROF.	Δ σ' z
30.0	-0.96
32.0	-0.97
34.0	-0.55
38.5	+0.28
40.0	+1.39

CALCULO DE INCREMENTOS DE ESFUERZOS VERTICALES EN EL PUNTO D.

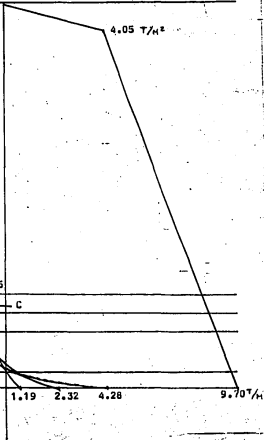
X = 12

Y = 24

TRAMO	Z _M M	CARGA T/m ²	Z M	Z' M	X Z'	Y Z'	I' _z	Δσ _z (T/m ²)	2Δσ _z
1	33.00		30.0	3.00	4.00	8.00	0.2484	-0.19	-0.38
		-0.77	32.0	1.00	12.00	24.00	0.2500	-0.19	-0.38
		+0.95	34.0	1.00	12.00	24.00	0.2500	+0.23	+0.46
			36.5	5.50	2.18	4.36	0.2420	+0.22	+0.44
			40.0	7.00	1.70	3.70	0.2330	+0.22	+0.44
2	36.25		30.0	6.25	1.92	3.84	0.2388	-0.36	-0.72
			32.0	4.25	2.82	5.64	0.2450	-0.37	-0.74
		-1.53	34.0	2.25	5.33	10.66	0.2491	-0.38	-0.76
		+1.85	38.5	2.25	5.33	10.66	0.2491	+0.46	+0.92
			40.0	3.75	3.20	6.40	0.2463	+0.45	+0.90
PUNTA			30.0	8.50	1.40	2.80	0.2240	-0.37	-0.74
			32.0	6.50	1.85	3.70	0.2357	-0.39	-0.78
			34.0	4.50	2.65	5.30	0.2440	-0.40	-0.80
		-1.67	38.5	0.00	∞	∞	0.2500	-0.41	-0.82
		+2.00	40.0	1.50	8.00	16.00	0.2498	+0.49	+0.96

PROF.	Δσ _z
30.0	-1.84
32.0	-1.90
34.0	-1.10
38.5	+0.54
40.0	+2.32

PRESIONES EFECTIVAS P_o E
INCREMENTOS DE PRESIONES



$$\text{ESC. } V = 1.25 \\ H = 1400$$

CALCULO DE ASENTAMIENTOS

PUNTO	Z M	H M	P_0 T/m^2	ΔP T/m^2	P T/m^2	Δe	$1+s$	Δh CM
A	33	6	9.7	-2.8	6.9	0.30	7.20	-25.00
	39	4	10.0	2.0	12.0	0.50	12.50	+16.00
B	33	6	9.7	-1.5	8.2	0.20	7.20	-16.60
	39	4	10.0	1.0	11.0	0.15	12.50	+4.80
C	33	6	9.7	-0.7	9.0	0.10	7.20	-8.35
	39	4	10.0	+0.4	10.4	0.15	12.50	+4.80
D	33	6	9.7	-1.5	8.3	0.20	7.20	-16.60
	39	4	10.0	1.0	11.0	0.15	12.50	+4.80

$$\Delta_{\text{prom}} = -9.03 < \Delta_{\text{per}} = 28 \therefore \text{es correcto.}$$

ESTADO LIMITE DE FALLA.

A) Revisión de los pilotes individuales.

$$C_f = m A_1 f F_R$$

$$A_T = 0.36 \text{ m}^2$$

$$A_1 = 2.4 \times 32.5 = 78 \text{ m}^2$$

$$P_v = 2.4 \text{ m.}$$

$$C_f = 112 \times 78.6 \times 2.4 \times 0.7$$

$$f = 1.6 \text{ T/m}^3$$

$$C_f = 12 230.4 \text{ ton.}$$

$$C_l = C N_{cs} A_1 F_R + P_v A_1$$

$$C = 0.67 \times 2 = 1.34 \text{ (cohesión reducida ec. 4 normas) }$$

$$N_{cs} = 6.20$$

$$A_1 = 25 \times 25 - 112 \times 0.36 = 584.70 \text{ m}^2$$

$$F_R = 0.7$$

$$P_v = 1.6 \times 6 = 9.6 \text{ T/m}^2$$

$$C_l = 1.34 \times 6.2 \times 584.7 \times 0.7 + 9.6 \times 584.7 \text{ m}^2$$

$$C_l = 3 400.0 \text{ T} + 5 613 = 9 013 \text{ T}$$

$$\text{Peso Pilotes} = 112 \times 0.36 \times 32.5 \times 2.4 \text{ T/m}^3 = 3 145 \text{ ton.}$$

$$\Sigma QF_c = 1.4 (10187 + 3145 + 1126) = 20 244 \text{ T}$$

$$R = 12 230.4 + 9 013 = 21 243 \text{ T.}$$

$20 244 \text{ T} < 21 243 \text{ T. } \therefore \text{Es correcto}$

La losa deberá tener una capacidad estructural suficiente para soportar la presión de contacto de

$$\frac{20\ 244 - 12\ 230}{576} \cdot 13.9 \text{ T/m}^2$$

b) Revisión de la pila de geometría igual a la de la envolvente del conjunto de pilotes.

$$R = [(C N_{cs}) F_R + P_w] A_p$$

R = capacidad de carga en T/m^2

C = cohesión igual a $\frac{q_u}{2} = C = 2.5 \text{ T/m}^2$

$N_{cs} = 8.10$

$A_p = \text{área transversal de la pila} = 25 \times 25 = 625 \text{ m}^2$

$$R = [(2.5 \times 8.1 \times 0.7)] 625 + 1.5 \times 38.5 \times 625.0$$

$R = 44\ 953.10 \text{ ton.}$

$$\text{Peso suelo} = (625 \text{ m}^2 - 112 \times 0.36) 32.5 \times 1.5 \text{ T/m}^3 = \\ = 28\ 503.15 \text{ T.}$$

$$\sum QF_c = 20\ 244 \text{ T} + 28\ 503.15 = 48\ 747.15 \text{ T} \quad \therefore \\ 44\ 953.10 \pm 48\ 747.15 \quad (0.922)$$

c) Revisión de grupos de pilotes en los que se puede subdividir la cimentación.

C.1. Perímetro grupo de esquina = $3.6 \times 4 = 14.4 \text{ m} \times 4 = 57.60 \text{ m.}$

C.2. Perímetro grupo de lateral = $3.6 \times 4 = 14.4 \text{ m} \times 8 = 115.20 \text{ m.}$

C.3. Perímetro grupo de central = $3.6 \times 4 = 14.4 \text{ m} \times 4 = 57.60 \text{ m.}$

perímetro total = 230.40 m.

Perímetro como pila única = $25 \times 4 = 100 \text{ m} < 230.4 \text{ m.}$

Segunda combinación (cargas permanentes, cargas vivas con intensidad instantánea y acción accidental más crítica).

Revisión de los pilotes tomando en cuenta que el momento de volteo equivale a una excentricidad de 0.85 m. Para esta revisión se considerará una área reducida de la losa de cimentación con ancho de $24 - 2 \times 0.85 = 22.30$ m., esto equivale a eliminar 16 pilotes.

-298.08	- 679.35	- 708.42	-586.60	2272.45
-513.88	-1066.20	-1076.26	-708.42	3364.76
-524.35	-1059.48	-1066.20	-679.35	3329.38
-198.86	-524.35	- 513.88	-298.08	1535.17
1535.17	3329.38	3364.76	2272.45	

F X Mx

1535.17	0.0	0.0
3329.38	8.0	26635.04
3364.76	16.0	53836.16
2272.45	24.0	54539.04

$$\bar{X} = \bar{Y} = \frac{135010.24}{10501.77} = 12.85$$

10501.77 135010.24 $\bar{e}_x = \bar{e}_y = 0.00$ m.

$$P = \frac{10501.77}{1.1} = 9547.06 \text{ ton.}$$

a) Revisión de los pilotes individuales.

$$C_f = m A_1 f F_R$$

$$A_1 = 2.4 \times 32.5 = 78 \text{ m}^2$$

$$C_f = 96 \times 78 \times 2 \times 0.7 = 10483.2$$

$$C_1 = C N_{cs} A_1 F_R + P_v A_1$$

$$C = 0.67 \times 2 = 1.34 \text{ T/m}^2$$

$$N_{cs} = 6.2 \text{ (fig. 8 de las normas)}$$

$$A_1 = 25 \times 25 = 96 \times 0.36 = 590.44 \text{ m}^2$$

$$F_R = 0.7$$

$$P_v = 1.6 \times 6 = 9.6 \text{ T/m}^2$$

$$C_1 = 1.34 \times 6.2 \times 590.44 \times 0.7 + 9.6 \times 590.44$$

$$C_1 = 3433.8 + 5668.22 = 9102.0 \text{ T}$$

$$\Sigma QF_c = 1.1 (9547.06 + 3145 + 1128) = 15202.06 \text{ T}$$

$$\Sigma QF_c \leq R$$

15202.06 T < 19585.2 T \therefore es correcto.

La presión de contacto que deberá poder soportar la losa en estas condiciones es de :

$$\frac{15202.06 - 10483.2}{590.44} = 7.99 \text{ T/m}^2$$

b) Revisión de la pila igual a la de la envolvente

$$R = [2.5 \times 8.1 \times 0.7] 590.44 + 1.5 \times 38.5 \times 590.44$$

$$R = 42467.39$$

$$\text{Peso suelo} = (22.30 \times 22.3 - 96 \times 0.36) 32.5 \times 1.5 = \\ = 22558 \text{ T.}$$

$$\Sigma QF_c = 15202 + 22558 = 37760 \text{ T } \therefore$$

37760 < 42467.39 \therefore es correcto

4.- Excavación.

4.1. Acciones.- Como se ha dicho se proponen compensar 6 m.

Para la evaluación de la estabilidad de esta excavación se requerirá de acuerdo al artículo 270 considerar una sobre carga uniforme mínima de $q = 1.5 \text{ T/m}^2$ en las zonas próximas a la excavación con factor de carga unitario.

El peso del suelo será afectado de un factor de carga de 1.4 (art. 220)

4.2. Estabilidad

a) Paredes.- Dado que una falla de taludes no dañaría estructuras vecinas, ni los servicios públicos, el factor de resistencia a considerar para verificar la estabilidad de las paredes será de 0.8 (art. 270) Para que las paredes de la excavación sean estables debe cumplirse la desigualdad siguiente :

$$F_c \gamma H + q < N_{cf} c \mu q F_R$$

donde

F_c = Factor de carga de 1.4

γ = Peso volumétrico del material de 1.5 T/m^3

H = Altura de la excavación de 6 m.

q = Sobre carga de 1.5 T/m^2

μq = Factor de reducción debido a la sobre carga que depende de la relación $q/\gamma H$

H y de la profundidad del estrato

N_{cf} = Número de estabilidad que depende del ángulo de talud (β), y del parámetro $c_{cf} = \frac{H+q}{\mu q} \tan \phi$

c = Cohesión más baja en la altura de la excavación igual a 1.5 T/m^2

ϕ = Ángulo de fricción interna (30° a partir de la prueba de penetración estándar)

F_R = Factor de resistencia igual a 0.7

$$F_c \cdot H \cdot q = 1.4 \times 1.5 \times 6 + 1.5 \text{ T/m}^2 = 12.6 + 1.5 = 14.1 \text{ T/m}^2$$

$$N_{cf} = 12 \quad \text{para } h_{cf\phi} = \frac{H \cdot q \cdot \tan \phi}{\mu q} = \frac{1.5 \times 6 + 1.5}{0.95} = \frac{0.36}{1.5} = 2.65$$

$$\phi = 20^\circ$$

$$\mu q = 0.93$$

$$\left. \begin{aligned} \frac{q}{H} &= \frac{1.5}{1.5 \times 6} = 0.166 \\ \beta &= 35^\circ \end{aligned} \right\} \mu q = 0.95$$

$$F_R = 0.8$$

$$N_{cf} \cdot c \cdot \mu q \cdot F_R = 12 \times 1.5 \times 0.95 \times 0.8 = 13.7 \text{ T/m}^2$$

$14.10 \pm 13.70 \text{ T/m}^2 \therefore$ la excavación debe realizarse a 30°

b) Fondo

$$P_v \cdot F_c + q \cdot F_c < c \cdot N_{cs} \cdot F_R$$

$$1.5 \times 6 \times 1.4 + 1.5 \times 1 < 2 \times 0.8 \times 8.10$$

$$14.1 < 13$$

$$N_{cs, \text{rect}} = (1 + 0.2 \frac{B}{L}) (N_{cs})_{\text{largo}} = 1 + 0.2 \times \frac{1}{1} =$$

$$1.2 \times 6.2 = 8.1$$

4.3. Estado límite de servicio.- Las expansiones elásticas debidas a la excavación se calcularon utilizando la fórmula de Steinbrenner considerando un módulo de elasticidad de 400 ton/m^2 y una relación de Poisson de 0.5 a para la formación arcillosa superior.

$$\Delta_{ed} = \frac{q \cdot B}{E} [(1 - \mu^2) F_1 + (1 - \mu - 2\mu^2) F_2]$$

$$\frac{9.6 \times 12}{400} [(1 - 0.5^2) 0.05 + (1 - 0.05 - 2(0.5^2)) 0.075]$$

$$D/B = 6 / 12 = 0.5$$

$$L/B = 6 / 6 = 1$$

$$F_1 = 0.05$$

$$F_2 = 0.075$$

$$q = 1.6 \text{ T/m}^3 \times 6 \text{ m} = 9.6 \text{ T/m}^2$$

$$\Delta_{ED} = 0.288 (0.0375 + 0.0337) = 0.02 \text{ m.}$$

∴ La expansión en el centro de la excavación resulta ser de 8 cm. y la de la esquina de 2 cm.

5.- Acciones a Considerar en el Diseño Estructural de la Cimentación.

En el diseño de la losa debe considerarse una presión de contacto de 13.9 T/m².

Los pilotes se diseñaron como columnas cortas sujetas a una carga axial de:

$$1.4 (10187 + 3145 + 1128) = 180.75 \text{ ton.}$$

112

6.- Método Constructivo.- Se procederá primero a hincar los pilotes con seguidor, dejando la cabeza a una profundidad igual al peralte de las contratrabezas, se realizan luego las excavaciones hasta 6 m. de profundidad con taludes a 30°, para la instalación de los pilotes se cumplirá con las especificaciones del art. 273 del Reglamento.

7.- Ya que el peso unitario de la estructura es mayor de 4 T/m², deberán realizarse nivelaciones cada mes durante los primeros seis meses y cada seis meses durante un período mínimo de cinco años. (art. 275).

DISEÑO DE TRABES DE CIMENTACION.

	40.00	40.00 p.p. cols.
	70.50	70.50 cimentación
X 1.4	196.56	196.56 pilotes
	314.00	551.40 Desc. 551.40
	869.48	1201.46 1201.46
	40.00	314.00
	70.50	869.48
	196.60	180.75 T
	970.0	
	551.4	
	1201.46	
	1787.94	
	970	
	551.4	
	1201.46	
	970	
	970	
	314.0	
	551.4	
	551.4	
	869.48	
	1201.46	
	1201.46	
	314.0	
	869.48	

15 esp. @ 1.6 = 24 m. (tipo)

$$\sum QF_c = \sum P = 10187.0 \text{ T} = 10187.0 \text{ T} \text{ descargas}$$

$$\sum P_{p.p.} = 196.5 \times 16 = 3145.0 \text{ T} \text{ p. pilotes}$$

$$\sum P_{cim.} = 70.5 \times 16 = 1128.0 \text{ T} \text{ peso cimentación}$$

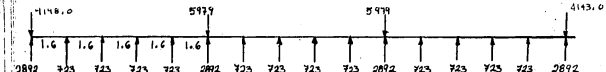
$$\hline 14460.0 \text{ T}$$

$$\hline X 1.4$$

$$\hline 20244.84 = 180.75 \text{ T/pilote}$$

$$\hline 112.00$$

SECCION 60 x 240

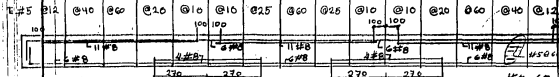


$$\Delta P = -1251 \quad -528 \quad 195 \quad 918 \quad 1641 \quad -1446 \quad -723 \quad 0 \quad 723 \quad 1446 \quad -1641 \quad -918 \quad -195 \quad 528 \quad 1251 \quad 0$$

$$\Delta P_{AL} = 2001.6 \quad 844.8 \quad 312 \quad 1468.8 \quad 2625.6 \quad 2313.6 \quad 1156.8 \quad 0 \quad 1156.8 \quad 2313.6 \quad 2625.6 \quad 1468.8 \quad 312.0 \quad 844.8 \quad 2001.6$$

$$M = -2001.6 \cdot 2846.4 \cdot 2534.4 \cdot 1065.6 \cdot 1560.0 \cdot 753.4 \cdot 1910.4 \cdot 1910.4 \cdot 753.4 \cdot 1560.0 \cdot 1065.6 \cdot 2534.4 \cdot 2846.4 \cdot -2001.6 \cdot 0$$

DIAGRAMA DE MOMENTOS Y FLUJOS VARIANTES



4#87 60
dm663 02/85

a) Diseño por flexión.

$$\bar{M}_u = 711.7 \text{ Tr-N}$$

$$\bar{f}_u = 390 \text{ T-R}$$

$$M_{RC} = f''c b d^2 q (1 - 0.5 q)$$

De las ayudas para diseño fig. 3 pag. 179

$$\frac{M_R}{bd^2} = \frac{71170000}{60 \times 240^2} = 20.59 \text{ Kg/cm}^2$$

$$\therefore p = 0.006$$

$$A_s = 0.006 \times 60 \times 240 = 86.4 \text{ cm}^2 ; 17 \text{ varas. } \# 8$$

$$\frac{M_R}{bd^2} = \frac{39000000}{60 \times 240^2} = 11.20 \text{ Kg/cm}^2$$

$$p = 0.004$$

$$A_s = 0.004 \times 50 \times 240 = 48 \text{ cm}^2 ; 10 \text{ varas. } \# 8$$

$$A_{s,min} = \frac{0.7 \sqrt{f'y}}{f_y} bd = \frac{0.7 \times \sqrt{250}}{4200} \times 50 \times 240 = 0.0026 \times 50 \times 240$$

$$A_{s,min} = 31.2 \text{ cm}^2 \quad \text{6 } \# 8$$

$$P_b = \frac{f''c}{f_y} \cdot \frac{4800}{f_y + 6000} = \frac{170}{4200} \cdot \frac{4800}{4200 + 6000} = 0.019$$

$$P_{max} = 0.75 P_b = 0.75 \times 0.019 = 0.014$$

b) Diseño por cortante.

$$q = p \frac{f_y}{f''c} \quad 2 \# 8 = 10.06 \text{ cm}^2$$

$$p = \frac{10.06}{50 \times 240} = 0.00083$$

$$q = 0.00083 \times \frac{4200}{170} = 0.02$$

$$M_{RC} = F_R f''c bd^2 q (1 - 0.5 q)$$

$$M_{RC} = 0.9 \times 170 \times 50 \times 240^2 \times 0.02 (1 - 0.5 \times 0.02)$$

$$M_{RC} = 9912000 (0.99) = 97.23 \text{ T-R}$$

como $p < 0.31$

$$V_{CR} = 0.8 \times 50 \times 240 (0.2 + 0.004 \times 30) \sqrt{0.8 \times 250}$$

$$V_{CR} = 9600 (0.32) 14.14 = 43.44 \text{ ton.}$$

Para una trabe:

$$V_u = \frac{1251}{4} = 312.75 \text{ ton.}$$

Con estribos $\phi 5/8$; $a_s = 2 \text{ cm}^2$

$$S = 0.8 \times 2 \times 2 \times 4200 \times 240 = 3225.6$$

$$V_u = V_{CR} \quad V_u = V_{CR}$$

$$\text{El cortante más critico } V_u = \frac{1641}{4} = 410.25 \text{ T}$$

Según el Reglamento

$$V_u \leq 2.5 F_R bd \sqrt{f'c}$$

$$V_u \leq 2.5 \times 0.8 \times 50 \times 240 \times \sqrt{260} = 339.36 \text{ T} < 410.25 \text{ T}$$

•• cambiaré la sección a 60 X 240

$$V_u \leq 2.5 \times 0.8 \times 60 \times 240 \times 14.14 = 407.23 \leq 410.25$$

a) Diseño por flexión.

$$M_u = 711.7 \text{ T-M}$$

$$M_u^* = 390 \text{ T-M}$$

$$\frac{M_u}{M_u^*} = \frac{71170000}{60 \times 240^2} = 20.59 \text{ Kg/cm}^2 ; p = 0.006$$

$$A_s = 60 \times 240 \times 0.006 = 86.4 \text{ cm}^2 = 17 \text{ varas. } \# 8$$

$$\frac{M_u}{M_u^*} = \frac{39000000}{60 \times 240^2} = 11.26 \text{ Kg/cm}^2 ; p = 0.003$$

$$A_s = 60 \times 240 \times 0.003 = 43.2 \text{ cm}^2 = 9 \text{ varas. } \# 8$$

b) Diseño por Cortante

$$\text{b.1. } V_u = \frac{1641}{4} = 410.25 \text{ T}$$

$$V_{CR} = 0.8 \times 64 \times 240 (0.32) 14.14 = 55.6 \text{ T}$$

$$V_u - V_{CR} = 410.25 - 55.6 = 354.65 \text{ T}$$

$$S_C \neq 5 = \frac{3225.6}{354.6} = @10$$

$$b.2. V_u = \frac{1446}{4} = 361.5 \text{ T}$$

$$V_u - V_{CR} = 361.5 - 55.6 = 305.9 \text{ T}$$

$$S_E \# 5 = \frac{3225.6}{305.9} = @ 10$$

$$b.3. V_u = \frac{1251}{4} = 312.5 \text{ T}$$

$$V_u - V_{CR} = 312.5 - 55.6 = 257.15 \text{ T}$$

$$S_E \# 5 = \frac{3225.6}{257.15} = @ 12$$

$$b.4. V_u = \frac{916}{4} = 229.5 \text{ T}$$

$$V_u - V_{CR} = 229.5 - 55.6 = 173.9 \text{ T}$$

$$S_E \# 5 = \frac{3225.6}{173.9} = @ 20$$

$$b.5. V_u = \frac{723}{4} = 180.75 \text{ T}$$

$$V_u - V_{CR} = 180.75 - 55.6 = 125.15 \text{ T}$$

$$S_E \# 5 = \frac{3225.6}{125.15} = @ 25$$

$$b.6. V_u = \frac{520}{4} = 132 \text{ T}$$

$$V_u - V_{CR} = 132 - 55.6 = 76.4 \text{ T}$$

$$S_E \# 5 = \frac{3225.6}{76.4} = @ 40$$

$$b.7. V_u = \frac{195}{4} = 48.75 < V_{CR} \therefore \text{Sep. } S_E \# 5 = \frac{240}{4} = 60 \text{ T}$$

DISEÑO DE PILOTES.

$$P_u = 180.75 \text{ T}$$

$$K = \frac{180.75}{0.7 \times 60 \times 60 \times 170} = 0.42$$

$$a_y = 0 = 0.0$$

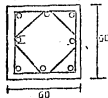
$$a_a = 0.05 \times 60 = 3.0$$

$$a_T = 3.0 \text{ cm} ; a/T = 0.05$$

$$K = 0.42$$

$$R = 0.42 \times 0.05 = 0.021 ; \eta = 0.1$$

B # 5
2 E # 2.5 @ 20



$$P = 0.0404 \times 0.1 = 0.004$$

$$A_s = 0.004 \times 60 \times 60 = 14.4 \text{ cm}^2$$

2 E # 2.5 @ 20

$$P_{\min} = 0.01$$

$$A_s = 3600 \times 0.01 = 36.0 \text{ cm}^2$$

COEFICIENTE PARA LOSAS DE ACUERDO AL REGLAMENTO PARA CONSTRUCCIONES PARA EL D.F.

- .0297	- 0.0288	- 0.0297
0.019 .0133 -.0315 -.0288 .0126 -.0288-.0315 .0133 0.019 8 15 0 + - .0297	.030 .050 .015 -0.0288	.0324 -0.0297
<u>-0.0324</u> <u>0.0310</u>	<u>0.0315</u> <u>0.0301</u>	.0324
.019 .0137 .0324 .0297 .0129 .0297.0324 .0137 .0190 .0190	.0190	.0190

a) Tomará como promedio $C = .031$; suponiendo $h = 40.0$ cm.

$$M = .031 \times 13.9 \times 7.4^2 = 23.59 \text{ T-N}$$

$$\frac{M_R}{b^2} = \frac{2359000}{100 \times 30.5^2} = 15.91 \text{ Kg/cm}^2 ; p = 0.0045$$

$$A_s = 100 \times 30.5 \times 0.0045 = 17.32 \text{ cm}^2$$

$$\text{con varas. } 3/4'' \text{ Sep. } = \frac{284}{17.32} = 16 \text{ cm. } \approx 15 \text{ cm.}$$

b) Para los orillas : $c = 0.019$

$$M = .019 \times 13.9 \times 7.4^2 = 14.42 \text{ T-N}$$

$$\frac{M_R}{b^2} = \frac{1442000}{100 \times 30.5^2} = 9.72 \text{ Kg/cm}^2 ; p = 0.0028$$

$$A_s = 100 \times 30.5 \times 0.0028 = 10.78 \text{ cm}^2$$

$$\text{con varas. } 3/4'' \text{ Sep. } = \frac{284}{10.78} = 26 \approx 30 \text{ cm.}$$

c) Para los centros de claro se tomará un coeficiente
 $c = 0.0137$

$$M = 0.0137 \times 13.9 \times 7.4^2 = 10.42 \text{ T-N}$$

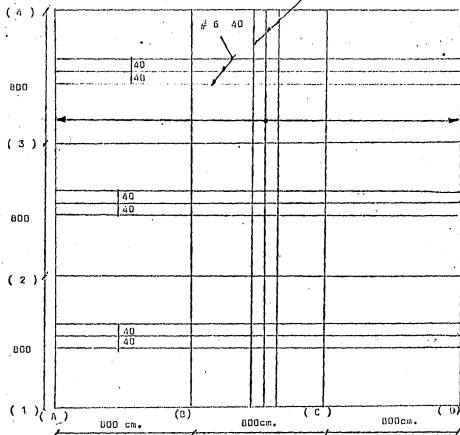
$$\frac{M_R}{b^2} = \frac{1042000}{100 \times 30.5^2} = 7.02 \text{ Kg/cm}^2 < p \text{ min.}$$

d) $A_{s\min} = 0.002 \times 100 \times 30.5 = 7.7 \text{ cm}^2$.

$$\text{Sep var } \# 6 = \frac{284}{7.7} = 36 \text{ cm.}$$

ARMADO LOSA DE CIMENTACION. LECIO SUPERIOR. NIV - G.00

6 40

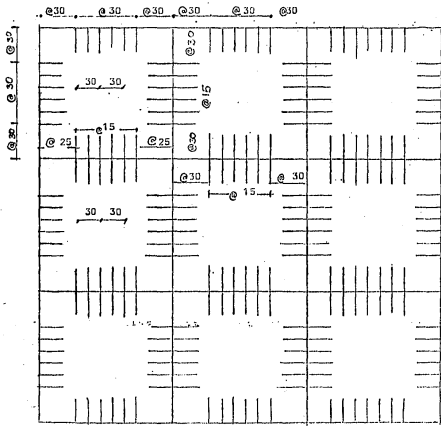


LOSA H. = 40 cm.

ARMADO LOSA DE CIMENTACION - 6,00.

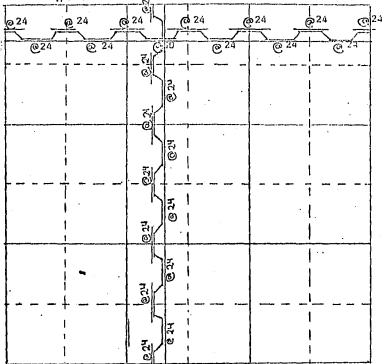
LADO INFERIOR

VAd. # 6



LOSADA = 40 cm.

LOSA NIVEL = 3.50

 $h = 10 \text{ cm}$ 

$$U_{\text{acabado}} = 0.05 \times 1.8 \text{ T/m}^3 = 90 \text{ Kg/m}^2$$

$$U_{\text{losa}} = 0.10 \times 2.4 \text{ T/m}^3 = 240 \text{ Kg/m}^2$$

$$U_{\text{H}} = 330 \text{ Kg/m}^2$$

$$U_{\text{V}} = 150 \text{ Kg/m}^2$$

$$U_{\text{T}} = 400 \text{ Kg/m}^2$$

$$M_{\text{max apoyo}} = 0.0310 \times 0.48 \times 3.50^2 = 0.182 \times 1.4 = 0.2548 \text{ T-m}$$

$$M_{\text{min apoyo}} = 0.0190 \times 0.48 \times 3.50^2 = 0.111 \times 1.4 = 0.1554 \text{ T-m}$$

$$M_{\text{A}} = 0.0137 \times 0.48 \times 3.50^2 = 0.090 \times 1.4 = 0.1120 \text{ T-m}$$

$$\frac{M_{\text{A}}}{bd^2} = \frac{25400}{100 \times 8.5^2} = 3.52 ; p = 0.003 \quad \frac{1554}{2.55} = 608 \frac{1}{3}$$

$$\frac{M_{\text{A}}}{bd^2} = \frac{1554}{100 \times 8.5^2} = 2.15 ; p = 0.003 \quad \frac{2.55}{2.55} = 1$$

$$\frac{M}{bd^2} = \frac{11200}{1000 \times 0.5^2} = 1.44 \quad ; \quad p = 0.003 \quad 2.54$$

$$U_f = 12.3 T \quad U_f = 12.3 T \quad U_f = 12.3 T$$

$$6.0 m. \quad 6.0 m. \quad 6.0 m.$$

	0.43	0.57	0.57	0.43	
	-12.30	0.20	-0.20	12.30	
M ₂	1.80	-2.30	-2.30	-1.80	0
7.05	-10.50	10.50	-10.50	10.50	M ₂
6.15	6.15	6.15	6.15	6.15	V ₁
-1.30	1.30	0.0	0.0	1.30	-1.30
4.85	7.45	6.15	3.15	7.45	4.85
4.85	13.60	13.60	4.85	13.60	

FBD --- 150 --- FBD --- 150 ---

350

25x50

$$L_2 \# 5 \quad L_3 \# 5 \quad 2 \# 5 \quad L_3 \# 5 \quad 2 \# 5$$

$$r_2 \# 5 \quad r_2 \# 5 \quad r_2 \# 5 \quad r_2 \# 5$$

$$400 \quad 100 \quad 400 \quad 400 \quad 400$$

$$-5 3@15 @ 25 5@15 5@15 @ 25 5@15 5@15 @ 25 3@15$$

$$U = 7.68 T \quad A = 16.0 \text{ m}^2$$

$$U_{pp} = (0.3 \times 0.0 \times 8) 2.4 = 4.6 T \quad U = 0.40 T/m^2$$

$$U_T = 12.3 T$$

$$N = \frac{UL}{g} = \frac{12.3 \times 8}{8} = 12.3 \text{ T-N}$$

$$M_2 = \frac{UL}{12} = \frac{12.3 \times 8}{12} = 8.2 \text{ T-m}$$

$$V_1 = \frac{12.3}{2} = 6.15$$

$$\frac{M_R}{bd^2} = \frac{1050000 \times 1.4}{25 \times 40.5^2} = 17.05 \times 1.4 = 25 \quad p = 0.007$$

$$A_a = 25 \times 44.5 \times 0.007 = 8.5 \text{ cm}^2$$

$$A_s min = \frac{0.7 \sqrt{f_y c}}{F_y} bd = \frac{0.7 \sqrt{250}}{4200} \times 25 \times 48.5 = 3.19 \quad 2 \# 5$$

$$V_c = F_y (0.20 + 30p) \sqrt{f_y c} bd = 0.8$$

$$V_c = 0.8 (\cdot 24.30 \times 0.005) \sqrt{200} \times 25 \times 48.5 = 4.80$$

$$SE/2.5 = \frac{F_y A_v d f_y}{0.8 \times 2 \times 0.49 \times 48.5 \times 4200} = \frac{159}{V_u - V_c}$$

$$V_u = V_c \quad V_u = V_c \quad V_u = V_c$$

$$V_u = 4.85 \times 1.4 = 6.80 \text{ T}$$

$$V_u = 7.45 \times 1.4 = 10.43 \text{ T}$$

$$V_u = 6.15 \times 1.4 = 8.61 \text{ T}$$

4. ANALISIS II

El análisis II de la estructura consiste en efectuar el cálculo y diseño de la estructura siguiendo las especificaciones del nuevo Reglamento de Construcciones para el D.F. 1987.

Dentro de estas nuevas especificaciones está la de considerar el desplazamiento total del edificio así como el desplazamiento relativo de cada entrepiso igual a 0.006 H, para lo cual se hace necesario incrementar las secciones que se obtuvieron en el análisis I.

Después de efectuar varios intentos se obtuvieron las secciones que se muestran en la página siguiente.

Los datos de entrada para el programa de computadora como son altura de entropiso en los primeros cuatro niveles, cargas vivas, muertas, coeficientes sísmicos; se modificaron para estar de acuerdo al nuevo reglamento y las nuevas condiciones de la estructura.

También a continuación se muestran los resultados de la combinación de cargas verticales + sismo, que es la que domina el diseño.

	1	1	1	
①	1	1	1	
	1	1	1	
	2	2	2	
	2	2	2	
②	2	2	2	
	2	2	2	
	3	3	3	
	3	3	3	
③	3	3	3	
	3	3	3	
	4	4	4	
	4	4	4	
④	4	4	4	
	4	4	4	

Colo. 0.95x0.95

Colo. tipo 1

Colo. 105x105

Cols. tipo 2

Colo. 115x 115

Cols. tipo 3

Colo. 125x125

Colo. tipo 4

$$\text{Sección (1)} = 40 \times 90$$

$$\text{Sección (2)} = 40 \times 100$$

$$\text{Sección (3)} = 40 \times 110$$

$$\text{Sección (4)} = 40 \times 120$$

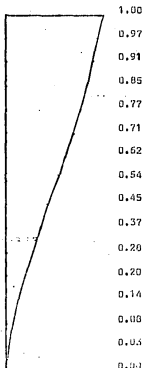
-4.50	22.01		
24.00	-32.03	-1.37	26.05
-1.00			-21.00
-14.41		-14.74	
13.46		15.18	
4.00	-3.34	3.00	-4.34
26.18	-30.03	-10.46	33.28
-15.80			-20.10
-30.60			-35.20
9.51			14.41
2.95	12.02	23.30	-11.10
26.89	-43.01	-18.40	26.04
-14.76			-35.01
-18.99			
15.42		24.25	
-3.06	18.36	19.22	-2.09
23.50	-37.08	-23.53	40.76
-13.13			-31.17
-6.92			-10.15
24.52			-30.30
-10.84	3.2.41	19.18	-26.70
23.88	-67.44	-41.04	61.67
-10.06			-16.55
-9.80			-13.82
22.60			-16.90
-8.98	31.17	69.32	-35.01
36.70	-74.82	-42.32	64.00
-13.28			-32.49
-120.46			-122.41
26.15			46.45
-12.83	42.24	64.16	-41.87
88.05	-78.45	-49.31	56.40
-21.19			-33.03
-193.49			-130.94
84.52			85.49
-22.48	35.16	32.37	-61.61
29.24	-81.03	-58.19	82.85
+15.43			-49.42
-86.23			-14.46
41.34			-70.00
-31.01	46.11	86.83	-64.15
35.83	-97.46	-68.20	63.15
-21.66			-60.00
-26.18			-168.37
31.19			-61.38
-24.26	50.50	81.71	-61.81
38.66	-97.0	-63.95	63.74
-26.06			-47.95
-241.94			-184.45
38.91			61.00
-66.77	52.10	80.50	-61.89
38.01	-74.46	-48.24	63.04
-22.81			-46.35
-274.79			-203.81
46.93			72.76
-38.68	52.68	89.49	-76.49
2.6441	-98.49	-67.48	88.91
-13.45			-33.10
-301.73			-226.04
66.93			91.73
-91.10	35.26	102.31	-89.37
24.19	-109.49	-82.10	91.00
-12.82			-34.71
-344.46			-241.83
88.98			84.49
-41.12	83.06	93.90	-81.83
10.34	-98.91	-68.79	36.62
-6.10			-28.21
-371.09			-246.89
11.47			164.53
-68.85	46.76	73.71	-162.80
-91.56	-96.20	-47.36	26.15
-95.23			-28.84
-405.11			-274.93
143.98			154.35
-156.11			-154.01

FORMAS DE MODO. 1^{er} MODEO T DIRECCION Y.

NIV	ORDENADA	ORDENADA NORMALIZADA
13	0.035	1.00
14	0.034	0.97
13	0.032	0.91
12	0.030	0.85
11	0.027	0.77
10	0.025	0.71
9	0.022	0.62
8	0.019	0.54
7	0.016	0.45
6	0.013	0.37
5	0.010	0.28
4	0.007	0.20
3	0.005	0.14
2	0.003	0.08
1	0.001	0.03

$$T = 1.36 \text{ seg.}$$

$$\omega^2 = 21.34 \quad (\text{rad/seg})^2$$



ESC. V = 1:100

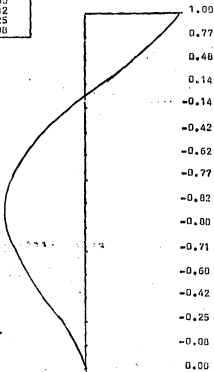
ESC. H = 1:25

FORMAS DE NODO. 2º NODO Y DIRECCION Y.

NIV	ORDENADA	ORDENADA MODIFICADA
15	0.035	1.00
14	0.027	0.77
13	0.017	0.48
12	0.005	0.14
11	-0.003	-0.14
10	-0.015	-0.42
9	-0.022	-0.62
8	-0.027	-0.77
7	-0.029	-0.82
6	-0.020	-0.00
5	-0.025	-0.71
4	-0.021	-0.60
3	-0.015	-0.42
2	-0.009	-0.25
1	-0.003	-0.00

$$T = 0.48 \text{ seg.}$$

$$\omega^2 = 171.34 \text{ (rad/seg)}^2$$

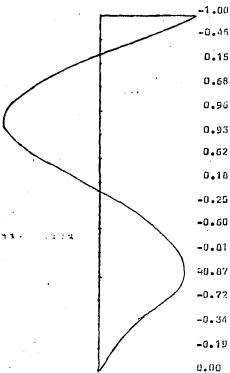


FORMAS DE MOVO. 3^{er} MOVO T DIRECCION Y.

NIV	DONDEMADA	CALCULADA MODIFICADA
15	-0.032	-1.00
14	-0.015	-0.46
13	0.005	0.15
12	0.022	0.68
11	0.031	0.96
10	0.030	0.93
9	0.020	0.62
8	0.006	0.18
7	0.008	-0.25
6	-0.019	-0.60
5	-0.026	-0.81
4	-0.020	-0.87
3	-0.023	-0.72
2	-0.011	-0.34
1	-0.006	-0.19

$$T = 0.270 \text{ seg.}$$

$$\omega^2 = 541.54 \text{ (rad/seg)}^2$$



DESPLAZAMIENTOS MAXIMOS

NIV	DIREC Y CM.	.50 DIRECC X	DESP. TOTALES CM.
1	0.475	0.162	0.618
2	1.614	0.484	2.098
3	3.041	0.912	3.953
4	4.433	1.330	5.763
5	6.002	1.800	7.802
6	7.606	2.305	9.991
7	9.276	2.702	12.058
8	10.758	3.227	13.985
9	12.209	3.686	15.975
10	13.842	4.152	17.994
11	15.202	4.560	19.762
12	16.350	4.905	21.255
13	17.447	5.234	22.681
14	18.356	5.506	23.062
15	18.766	5.629	24.395

DESP. PERMITIDOS =
30.04 CM.
 $\Delta p = 0.006 \text{ h.}$
 $\Delta p = 0.305(4 \times 3.5 - 11 \times 3.4)$
= 30.04

DESPLAZAMIENTOS
MAXIMOS.

24.395
23.062
22.681
21.255
19.762
17.994
16.975
13.985
12.058
9.991
7.802
5.763
3.953
2.098
0.618
0.000

DISEÑO DE TRUJOS. ESPECIFICACIONES.

Requisitos para vigas

a) Requisitos Geométricos

$$1/b \leq 800/40 = 20 \leq 40$$

$$h/b \leq 120/40 = 3 \leq 4$$

b) Refuerzo mínimo en ambos lados y en toda la longitud de la viga:

$$A_s, A'_s = \frac{0.7 \sqrt{f_y c}}{f_y} bd$$

Sección 40 X 120 ; $\frac{0.7 \sqrt{250}}{4200} \times 40 \times 110 = 11.59 \text{ cm}^2$ 3 # 8
4 # 6

Sección 40 X 110 ; $\frac{0.7 \sqrt{250}}{4200} \times 40 \times 100 = 10.54 \text{ cm}^2$ 2 # 8
4 # 6

Sección 40 X 100 ; $\frac{0.7 \sqrt{250}}{4200} \times 40 \times 90 = 9.48 \text{ cm}^2$ 2 # 8
4 # 6

Sección 40 X 90 ; $\frac{0.7 \sqrt{250}}{4200} \times 40 \times 80 = 8.43 \text{ cm}^2$ 2 # 8
3 # 6

c) Acero de compresión

$$A'_s \leq 0.75 A_s$$

d) Al menos 67 % de A_s deberá pasar por el núcleo de la columna.e) Para refuerzo longitudinal ≥ 5 se deberán usar estribos

2.5 cunado monos

DISEÑO DE TRAMOS. CALCULO DE MOMENTOS RESISTENTES.

1.- Sección 40 X 120

$$F_R = 0.90$$

$$b = 40 \text{ cm.}$$

$$d = 110 \text{ cm.}$$

$$A_s = 4 \frac{\pi}{4} 6 = 11.36 \text{ cm}^2$$

$$p = \frac{11.36}{40 \times 110} = 0.0025$$

$$q = p \frac{f_y}{f''c} = \frac{0.0025 \times 4200}{170} = 0.063$$

$$f''c = 0.05 f'c = 0.05 \times 200 = 170 \text{ Kg/cm}^2$$

$$f'c = 0.03 f''c = 0.03 \times 250 = 200 \text{ Kg/cm}^2$$

$$M_{RC} = F_R \times b d^2 f''c q \left(1 - 0.5 q \right)$$

$$M_{RC} = 0.9 \times 40 \times 110^2 \times 170 \times 0.063 \left(1 - 0.5 \times 0.063 \right)$$

$$M_{RC} = 46.65 \times 0.9605 = 45.18 \text{ T-M}$$

$$M_{RCE} = 45.18 \cdot T-M \quad 4 \frac{\pi}{4} 6$$

$$M_{RCE} = 22.59 \text{ T-M} \quad 2 \frac{\pi}{4} 6$$

$$p_b = \frac{f''c \cdot 4800}{f_y \cdot 6000} = \frac{170 \times 4800}{4200 \times 6000} = 0.0190$$

$$p_{\max} = 0.75 p_b = 0.75 \times 0.019 = 0.0142$$

$$\text{si } A_s = 3 \frac{\pi}{4} 6$$

$$p = \frac{15.09}{40 \times 110} = 0.0034; \quad q = 0.0034 \times \frac{4200}{170} = 0.084$$

$$M_{RC} = 0.9 \times 40 \times 110^2 \times 170 \times 0.084 \left(1 - 0.5 \times 0.084 \right)$$

$$M_{RC} = 62.20 \times 0.958 = 59.58$$

$$M_{RCE} = 59.58 \text{ T-M} \quad 3 \frac{\pi}{4} 6$$

$$M_{RCE} = 39.72 \text{ T-M} \quad 2 \frac{\pi}{4} 6$$

2.- Sección 40 X 110

$$b = 40 \text{ cm.}$$

$$d = 100 \text{ cm.}$$

$$A_s = 2 \frac{\pi}{4} 6 = 10.06 \text{ cm}^2$$

$$p = \frac{10.06}{40 \times 100} = 0.0025$$

$$q = \frac{0.0025 \times 4200}{170} = 0.062$$

$$M_{RC} = 0.9 \times 40 \times 100^2 \times 170 \times 0.062 \cdot (1 - 0.5 \times 0.062)$$

$$M_{RC} = 37.94 \times 0.965 = 36.76 \text{ T-M}$$

$$M_{RCE} = 36.76 \text{ T-M } 2 \neq 0$$

$$M_{RCE} = 18.38 \text{ T-M } 1 \neq 0$$

3.- Sección 40 X 100

$$b = 40 \text{ cm.}$$

$$d = 90 \text{ cm.}$$

$$A_s = 2 \neq 8 = 10.06 \text{ cm}^2$$

$$p = \frac{10.06}{40 \times 90} = 0.0027$$

$$q = \frac{0.0027 \times 4200}{170} = 0.069$$

$$M_{RC} = 0.9 \times 40 \times 90^2 \times 170 \times 0.069 \cdot (1 - 0.5 \times 0.069)$$

$$M_{RC} = 34.20 \times 0.9655 = 33.02 \text{ T-M}$$

$$M_{RCE} = 33.02 \text{ T-M } 2 \neq 0$$

$$M_{RCE} = 16.51 \text{ T-M } 1 \neq 0$$

4.- Sección 40 X 90

$$b = 40 \text{ cm.}$$

$$d = 80 \text{ cm.}$$

$$A_s = 2 \neq 8 = 10.06 \text{ cm}^2$$

$$p = \frac{10.06 \text{ cm}^2}{40 \times 80} = 0.0031$$

$$q = \frac{0.0031 \times 4200}{170} = 0.076$$

$$M_{RC} = 0.9 \times 40 \times 80^2 \times 170 \times 0.076 \cdot (1 - 0.5 \times 0.076)$$

$$M_{RC} = 29.76 \times 0.96 = 28.56 = 28.56 \text{ T-M}$$

$$M_{RCE} = 28.56 \text{ T-M } 2 \neq 0$$

$$M_{RCE} = 14.28 \text{ T-M } 1 \neq 0$$

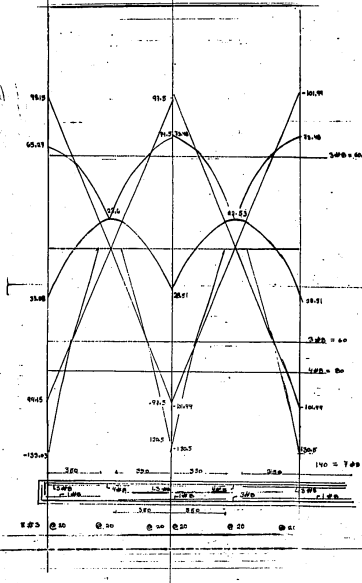
ESPECIFICACIONES PARA COLUMNAS.

- Artículo decimo.- (3). En columnas de concreto con estribos se emplean las siguientes limitaciones:
- 3.1. La dimensión mínima no es menor que 30 cm.
 - 3.2. La separación máxima entre barras de refuerzo no excede de 30 cm.
 - 3.3. Hay estribos cerrados alrededor de cuando menos una cada dos barras longitudinales y de todas las barras de esquina y ninguna barra longitudinal que no esté restringido por la esquina de un estribo dista más de 15 cm. de otra que si lo esté.
 - 3.4. Hay estribos cerrados de cuando menos 0.95 cm. de á (N° 3) a separaciones que no exceden de:

$$s_1 \leq \begin{cases} c_1/4 + c_2/4 \\ 10 \text{ cm.} \\ 350 \frac{b-L}{\sqrt{f_y}} \end{cases}$$

$$s_2 \leq 2s_1$$

$$l_c \geq \begin{cases} L/6 \quad (\text{espacio libre de la columna}) \\ 60 \text{ cm.} \\ c_1 + c_2 \end{cases}$$



DISCLOSURE STATEMENTS, SERVICES 1,2,3 & 4, NAMES EXCLUDED,
SECTION 40 x 120

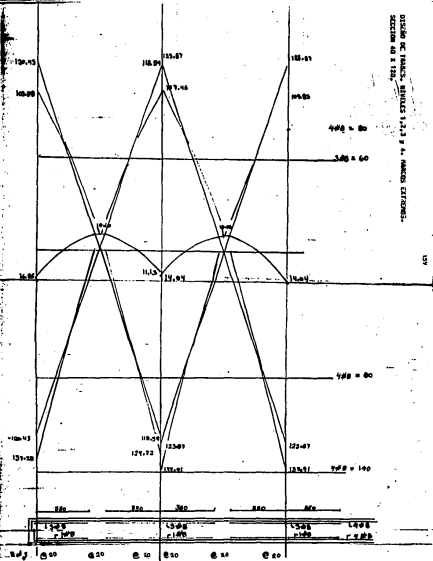
440 = 60

340 = 60

540 = 60

340 = 140

134



$$H_t = 0.50 \times (1 - 24) = 10.0$$

DISEÑO DE TRABES. REVISIÓN POR CONTANTE. MARCOS CENTRALES.

$$V_{CR} = 0.8 \times 40 \times 110 (0.24 \times 30 \times 0.008) \sqrt{250}$$

$$V_{CR} = 3520 (0.44) 15.81 = 24.45 \text{ T}$$

Trabes niveles 1, 2, 3, 4, Marcos centrales.

$$V_i = 15.80 \quad 15.80 \quad 15.80 \quad 15.80$$

$$V_c = 1.35 \quad -1.35 \quad 0.0 \quad 0.0$$

$$V_f = 17.15 \quad 14.45 \quad 15.80 \quad 15.80$$

$$V_u = 24.58 \times 1.30 = 31.95 \quad V_s = 25.47 \times 1.3 = 33.11 \text{ T}$$

a) Condición estadística.

$$V_u = 17.15 \times 1.4 = 24.00 \text{ T}$$

$$V_u = V_c = 24 = 24.45 \quad \epsilon \# 3 @ d/2 = @ 50 \text{ CM},$$

b) Condición estadística + sigma

$$V_u = 17.15 \times 1.1 + 31.95 = 50.81 \text{ T}$$

$$V_u = V_{CR} = 50.81 - 24.45 = 26.36 \text{ T}$$

$$\sigma \# 3 = \frac{524.83}{26.36} = 19.91 = @ 20 \text{ CM},$$

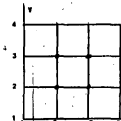
c) E + S 2º tramo.

$$V_u = 15.80 \times 1.1 + 33.11 = 50.49 \text{ T}$$

$$V_u = V_{CR} = 50.49 - 24.45 = 26.04 \text{ T}$$

$$\sigma \# 3 = \frac{524.83}{26.04} = 20.15 = @ 20 \text{ CM}$$

DISEÑO DE COLUMNAS:



Para carga axial

$$1.1 \times 34.42 + 1.1 P_a = 38.93$$

$$1.1 P_a = 38.93 - 37.66 = 1.07$$

$$0.3(1.1) P_a = 0.3 \times 1.07 = 0.32$$

$$P_C + S_y + 0.3 P_{ay} = 38.93 + 0.32 = 39.25$$

Para momentos:

$$24.15 = 1.1 \times 3.93 = 19.82$$

$$\times 0.30$$

$$5.84$$

$$+ 24.15$$

$$30.09$$

SECCION	NIV	P_x	P_y	P_T	P_{E3x}	$P_{E3y} + 0.3 P_{ay}$	P_{E4x}	P_{E5x}	$P_{E-5x} + 0.3 P_{ax}$	P_{E-G}	M_{AC}	M_{YC}	$P_{E3y} + 0.3 P_{ay}$	P_{E5x}	RFZc, EJET, Calculado	RFZd, VERIF. Real
95 X 95	15	34.42	34.42	88.84	38.93	39.25	78.20	38.81	77.71	73.93	3.93	3.93	30.09	24.15	12 # 10	12 # 10
	14	44.11	44.11	128.22	72.70	73.35	146.05	60.34	68.99	137.33	2.64	2.64	35.88	26.12		
	13	93.97	93.97	189.94	106.55	107.50	214.05	100.18	101.13	201.31	2.64	2.64	41.98	32.97		
107x110	12	123.73	123.73	247.46	140.37	141.65	202.02	131.83	133.11	264.94	3.13	3.13	44.62	35.12	16 # 10	16 # 10
	11	152.94	152.94	305.88	173.88	175.57	349.45	162.59	164.28	325.87	3.55	3.55	57.00	44.75		
	10	162.30	162.30	364.60	207.51	218.06	422.57	193.55	195.64	389.19	3.09	3.09	61.43	46.04		
	9	211.85	211.85	423.70	241.21	243.86	484.87	224.85	227.31	452.17	2.89	2.89	61.79	49.24		
111x118	8	241.46	241.46	482.92	275.05	277.88	552.93	256.47	259.00	515.17	3.08	3.08	76.38	59.54	16 # 10	16 # 10
	7	270.69	270.69	541.38	309.67	311.94	620.61	286.85	290.12	576.97	3.34	3.34	71.38	58.78		
	6	300.89	300.89	600.40	349.46	348.13	688.89	317.98	321.65	638.83	2.73	2.73	72.92	56.79		
	5	330.86	330.86	660.12	376.38	380.37	756.75	349.75	353.74	703.49	2.33	2.33	78.73	61.16		
122x122	4	380.17	380.17	720.36	410.47	414.75	825.22	381.90	388.18	788.08	2.09	2.09	99.13	76.79	20 # 10	20 # 10
	3	390.10	390.10	780.60	444.46	448.99	893.45	414.20	418.72	832.93	1.98	1.98	96.50	74.74		
	2	420.12	420.92	841.86	478.66	483.35	962.01	447.36	452.05	899.45	1.21	1.21	112.27	86.67		
	1	452.12	452.12	904.24	513.10	517.83	1030.93	481.56	486.29	967.85	0.46	0.46	164.80	128.86		

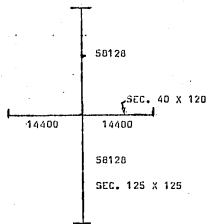
Col. 20 , 30 1^{er} Nivel.
 20 , 30

a) Condición estática.

$$P_u = 904.24 \times 1.4 = 1264.94 \text{ T}$$

$$R_{NE} = 0.46 \text{ T-N}$$

$$R_{YE} = 0.46 \text{ T-N}$$



$$\frac{I}{L} = \frac{125 \times 125^3}{12 \times 350} = 50120$$

$$\psi_{sup} = \frac{58128 + 58128}{14400} = 8.07$$

$$\frac{I}{L} = \frac{40 \times 120^3}{12 \times 600} = 7200$$

$$\psi_{inf} = 0$$

$$K = 1.6$$

$$\gamma = 0.3 \text{ h} = 0.3 \times 125 = 37.5$$

$$H^1 = KH = 1.6 \times 340 = 544$$

$$\frac{H^1}{\gamma} = \frac{544}{37.5} = 14.50 < 22$$

$$\gamma = 37.5$$

No deben considerarse los efectos de esbeltez.

a) Condición estática:

$$P_u = 1265.94 \text{ T}$$

$$M_{ux} = 0.46 + 0.05 \times 1.25 \times 1265.94 = 79.58 \text{ T-m}$$

$$M_{uy} = 0.46 + 0.05 \times 1.25 \times 1265.94 = 79.58 \text{ T-m}$$

$$\epsilon_x = \frac{79.58}{1265.94} = 0.06 \quad \epsilon_y = 0.06$$

$$\text{supongase } p = 0.01 : A_s = 125 \times 125 \times 0.01 = 156.25 \text{ cm}^2$$

$$P_{RD} = F_R (A_c f'c + A_b f_y)$$

$$= 0.5 (15625 \times 170 + 156.25 \times 4200)$$

$$= 0.5 (2656.25 + 656.25) = 1656.25 \text{ T}$$

Sí se supone el acero distribuido en la periferia.

$$q = p \frac{f_y}{f'c} = 0.01 \times \frac{4200}{170} = 0.240$$

$$\frac{\epsilon_x}{h_x} = \frac{0.06}{1.25} = 0.048 \quad ; \quad \frac{d}{h} = 0.95$$

$$k_y = 1.15$$

$$P_R = K_R F_R b h f'c$$

$$P_{RY} = 1.15 \times 0.5 \times 125 \times 125 \times 170 = 1527.35 \text{ T}$$

$$\frac{\epsilon_y}{h_y} = 0.048$$

$$h_y$$

$$K = 1.15$$

$$P_{RY} = 1527.35 \text{ T}$$

$$P_R = \left(\frac{1}{1527.35} + \frac{1}{1527.35} - \frac{1}{1656.25} \right)^{-1} = 1426.62 > 1265.94$$

b) Condición estática + siamo

$$P_u = 1030.0 \text{ T}$$

$$R_{ux} = 0.45 \times 1.1 \cdot T-H + 0.05 \times 1.25 \times 1030.0 = 62.30 \cdot T-H$$

$$R_{uy} = 0.45 \times 1.1 \cdot T-H + 0.05 \times 1.25 \times 1030.0 = 62.30 \cdot T-H$$

$$R_{ux} = 62.30 + 126.66 = 188.96 \cdot T-H$$

$$R_{uy} = 62.30 + 164.30 = 226.60 \cdot T-H$$

$$\alpha_x = \frac{188.96}{1030.00} = 0.18 \quad e_y = \frac{226.60}{1030.00} = 0.22$$

$$\text{Supongase } p = 0.015 ; A_s = 0.015 \times 125 \times 125 = 234.40 \text{ cm}^2$$

$$P_{RD} = 0.5 (2656.25 + 234.40 \times 4200) = 1820.40 \text{ T}$$

$$q = p \frac{f_y}{f'c} = 0.015 \times \frac{4200}{170} = 0.370$$

$$c_x = \frac{0.18}{1.25} = 0.144$$

$$h_x = 1.25$$

$$K_x = 1.0$$

$$P_{Rx} = 0.5 \times 1 \times 125 \times 125 \times 170 = 1320.10 \text{ T}$$

$$e_y = \frac{0.22}{1.25} = 0.176$$

$$K_y = 1.05$$

$$P_{RY} = 0.5 \times 1.05 \times 125 \times 125 \times 170 = 1394.50 \text{ T}$$

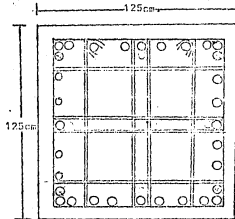
$$P_R = \left(\frac{1}{1320.10} + \frac{1}{1394.50} - \frac{1}{1820.40} \right)^{-1} = 1086.09 > 1030.0 \text{ T}$$

$$A_s = 234.40 \text{ cm}^2 \quad \text{con varas. } \# 12 / 11.40 = 20$$

$$\quad \quad \quad \text{con varas. } \# 10 / 7.92 = 30$$

DISCOS DE ESTRIOS EN COLUMNAS.

112

4.0 cm.
1.0 cm.

32 ♂ 10

115 cm.

 $L_c = 1 \text{ Jgo. } SC \# 3 @ 10 \text{ cm.}$ $L_{s/c} = 1 \text{ Jgo. } SE \# 3 @ 20 \text{ cm.}$ 1.0 cm.
4.0 cm.

Ø VARES, GOM YO VARI

$$A_g = 125 \times 125 = 15\ 625 \text{ cm}^2$$

$$f'c = 250 \text{ Kg/cm}^2$$

$$A_c = 117 \times 117 = 13\ 689 \text{ cm}^2$$

$$fy = 4\ 200 \text{ Kg/cm}^2$$

$$p' = 0.45 \left(\frac{15525}{13689} - 1 \right) \frac{250}{4200} = 0.0037$$

$$0.12 \frac{f'c}{fy} = 0.12 \times \frac{250}{4200} = 0.007 \quad 0.0037 \quad \therefore \text{se toma } 0.007$$

$$Sh = \frac{\Delta y}{0.40 \times p' \times d_c} = \frac{6 \times 0.71}{0.4 \times 0.007 \times 117} = 13 \text{ cm.}$$

$$\left. \begin{array}{l} S_1 \\ S_2 \end{array} \right\} \begin{array}{l} c_1/4 + c_2/4 = 125/4 = 31 \text{ cm.} \\ 10 \text{ cm.} \\ 350 \text{ db} = \frac{350 \times 3.10}{\sqrt{4200}} = 17.0 \text{ cm.} \\ \frac{700 \text{ db}}{\sqrt{fy}} = \frac{700 \times 3.10}{\sqrt{4200}} = 41.70 \text{ cm.} \\ 48 d_{vv} = 48 \times 0.93 = 44.3 \text{ cm.} \\ 6 \quad 2S_1 = 20 \text{ cm.} \end{array}$$

$$L_c = 60 \text{ cm.}$$

CALCULO DE CIMENTACION. ESTADO LIMITE DE SERVICIO.

$$C_p = N \left[(C \cdot N^c) F_R + P_v \right] A_v$$

$$N = 148$$

$$C = 2.0 \text{ T/m}^2$$

$$N^c = 9.0$$

$$F_R = \text{Factor de resistencia} = 0.70 (1 - s/2)$$

$$S = \frac{\sum \text{Fuerzas sismicas}}{\sum \text{Fuerzas sismicas} + \sum \text{Fuerzas permanentes} (C_M + C_V)}$$

$$\sum \text{Fuerzas sismicas} = 3293 \text{ T} \text{ (unicamente incrementos de presion)}$$

$$\sum \text{Fuerzas permanentes} = 10216 \text{ T}$$

$$S = \frac{3293}{3293 + 10216} = 0.24 \quad ; \quad \frac{S}{2} = 0.12$$

$$F_R = 0.70 (1 - 0.12) = 0.62$$

$$P_v = f h_{DF} = 1.20 \times 32.5 = 39.0 \text{ T/m}^2$$

$$A_v = \text{Area pilotes} = 0.60 \times 0.60 = 0.36 \text{ m}^2$$

$$C_p = 148 \left[(2 \times 9) 0.62 - 39 \right] 0.36$$

$$C_p = 2672.5 \text{ Ton.}$$

$$Q = 9914 + 5622 = 5625 = 9911 \text{ TON.}$$

$$F = 9911 - 2672.5 = 7238.5 \text{ TON.}$$

$$h = \frac{7238.5}{1.90 \times 2.4 \times 148} \approx 1000 \text{ m.}$$

$$\text{Prof. eje neutro} = 40 - 10 = 30 \text{ m.}$$

TRAMO	P.D.F. M	Z M	LONGITUD M	ALTA T/M ²	F _i TON	F _i /R _i /r	L	D(+) T/M ²	D(-) T/M ²
1	30-32	31.00	2.0	2.00	14212.27	1.19	0.558	1.20	1.00
2	32-34	33.00	2.0	..00	14212.27	1.36	0.55	1.21	1.01
3	34-36	36.25	4.5	1.75	27974.47	2.57	0.548	2.44	2.02
						9.01		4.95	4.06
PUNTA	36.5-38.5				26734.2	2.7	0.545	2.61	2.08
						13.28		7.215	5.00

$$\text{perímetro} = 2.40$$

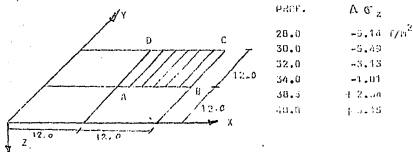
$$A_f = 23 \times 25 = 575 \text{ m}^2$$

$$r = \sqrt{\frac{625}{\pi}} = 14.10$$

CALCULO DE INCREMENTO DE ESFUERZOS VERTICALES EN EL PUNTO A.

 $X = 12$ $Y = 12$

TRAMO	Z_{M} m	CARGA T/m^2	Z m	Z' m	X m	Y m	I'z	$\Delta \sigma_z$ (T/m^2)
1	31.0	-1.00 +1.25	28.0	3.00	4.00	4.00	0.2473	-0.99
			30.0	1.00	12.00	12.00	0.2500	-1.00
			32.0	1.00	12.00	12.00	0.2500	+1.25
			34.0	3.00	4.00	4.00	0.2473	+1.24
			36.5	7.00	1.00	1.00	0.2220	+1.12
			40.0	9.00	1.30	1.30	0.2030	+1.02
2	33.0	-1.00 +1.25	28.0	5.00	2.40	2.40	0.2404	-0.96
			30.0	3.00	4.00	4.00	0.2473	-0.98
			32.0	1.00	12.00	12.00	0.2500	-1.00
			34.0	1.00	12.00	12.00	0.2500	+1.25
			38.5	5.50	2.20	2.20	0.2357	+1.17
			40.0	7.00	1.70	1.70	0.2274	+1.14
3	36.25	-2.00 +2.44	28.0	8.25	1.45	1.45	0.2110	-1.60
			30.0	6.25	1.90	1.90	0.2355	-1.08
			32.0	4.25	2.80	2.80	0.2032	-1.62
			34.0	2.25	5.30	5.30	0.2044	-1.63
			38.5	2.25	5.30	5.30	0.2044	+1.99
			40.0	3.75	3.20	3.20	0.2030	+1.98
PUNTA	30.50	-1.94 +2.32	28.0	10.50	1.15	1.15	0.1953	-1.51
			30.0	8.50	1.40	1.40	0.2102	-1.63
			32.0	6.50	1.05	1.05	0.2285	-1.77
			34.0	4.50	2.65	2.65	0.2416	-1.87
			38.5	0.00	∞	∞	0.2500	-1.94
			40.0	1.50	8.00	8.00	0.2496	+2.31



CALCULO DE INCREMENTOS DE ESFUERZOS VERTICALES EN EL PUNTO B.

X = 24

Y = 12

TRAMO	Z ₀ m	CARGA T/m ²	Z m	Z' m	X Z'	Y Z'	I ^{zz}	Δσ _z (T/m ²)
1	31.00	-1.00 +1.26	28.0	3.00	0.00	4.00	0.2484	-0.49
			30.0	1.00	24.00	12.00	0.2500	-0.40
			32.0	1.00	24.00	12.00	0.2500	+0.63
			34.0	3.00	0.00	4.00	0.2484	+0.62
			36.5	7.50	3.20	1.60	0.2309	+0.58
			40.0	9.00	2.70	1.35	0.2240	+0.56
2	33.00	-1.00 +1.26	28.0	5.00	4.00	2.40	0.2430	-0.48
			30.0	3.00	8.00	4.00	0.2484	-0.49
			32.0	1.00	12.00	0.2500	-0.50	
			34.0	1.00	24.00	12.00	0.2500	+0.62
			36.5	5.50	4.40	2.20	0.2420	+0.60
			40.0	7.00	3.40	1.70	0.2330	+0.58
3	36.25	-2.00 +2.44	28.0	0.25	2.90	1.45	0.2250	-0.90
			30.0	6.25	3.80	1.90	0.2302	-0.95
			32.0	4.25	5.60	2.80	0.2430	-0.98
			34.0	2.25	10.70	5.35	0.2491	-0.99
			36.5	2.25	10.70	5.35	0.2491	+1.21
			40.0	3.75	6.40	3.20	0.2463	+1.20
PUNTA	38.50	-1.94 +2.32	28.0	10.50	2.30	1.15	0.2151	-0.83
			30.0	0.50	2.60	1.40	0.2240	-0.06
			32.0	6.50	3.70	1.85	0.2357	-0.91
			34.0	4.50	5.35	2.65	0.2440	-0.94
			36.5	0.00	∞	∞	0.2500	-0.97
			40.0	1.50	16.00	6.00	0.2190	+1.15

PROF.	Δσ _z T/m ²
28.0	-2.70
30.0	-2.80
32.0	-1.76
34.0	-0.69
36.5	+1.42
40.0	+3.49

CALCULO DE INCREMENTOS DE ESFUERZOS VERTICALES EN EL DIADE C.
 $X = 24$
 $Y = 24$

TIEMPO	Z _{PI} M	CARGA T/M ²	Z M	Z' M	X Z'	Y Z'	I'z	$\Delta \sigma_z$ (T/M ²)
1	31.00	+1.26	28.0	3.00	8.00	0.00	0.2496	-0.25
			30.0	1.00	24.00	24.00	0.2500	-0.25
			32.0	1.00	24.00	24.00	0.2500	+0.31
			34.0	3.00	8.00	8.00	0.2496	+0.31
			36.0	7.00	3.20	3.20	0.2445	+0.30
			40.0	9.00	2.70	2.70	0.2410	+0.30
2	33.00	+1.25	28.0	5.00	4.80	4.80	0.2486	-0.25
			30.0	3.00	8.00	8.00	0.2496	-0.25
			32.0	1.00	24.00	24.00	0.2500	-0.25
			34.0	1.00	24.00	24.00	0.2500	+0.31
			36.5	5.50	4.40	4.40	0.2473	+0.30
			40.0	7.00	3.40	3.40	0.2439	+0.30
3	36.25	+2.44	28.0	8.25	2.90	2.90	0.2423	-0.40
			30.0	6.25	3.84	3.84	0.2451	-0.49
			32.0	4.25	5.64	5.64	0.2492	-0.49
			34.0	2.25	10.70	10.70	0.2500	-0.50
			36.5	2.25	10.70	10.70	0.2500	+0.61
			40.0	3.75	6.40	6.40	0.2492	+0.60
PUNTA	38.50	+2.32	28.0	10.50	2.30	2.30	0.2380	-0.46
			30.0	8.50	2.80	2.80	0.2439	-0.47
			32.0	6.50	3.70	3.70	0.2440	-0.47
			34.0	4.50	5.35	5.35	0.2486	-0.48
			36.5	0.00	∞	∞	0.2500	-0.58
			40.0	1.5	16.00	16.00	0.2500	+0.58

PRUF.	$\Delta \sigma_z$ (T/M ²)
28.0	-1.44
30.0	-1.43
32.0	-0.90
34.0	-0.33
36.5	+0.63
40.0	+1.78

CALCULO DE INCREMENTO DE ESFUERZOS VERTICALES EN EL PUNTO D.

$$X = 12$$

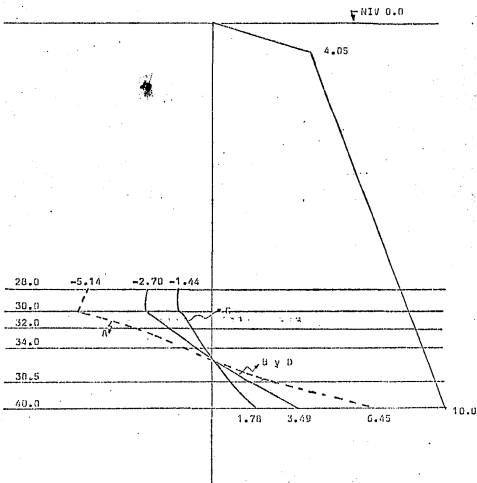
$$Y = 24$$

TRAMO	Z _M m	CARGA T/m ²	Z m	Z' m	X Z'	Y Z'	I'z	Δσ _{z'} T/m ²
1	31.00	-1.00 +1.26	28.0	3.00	4.00	8.00	0.2484	-0.49
			30.0	1.00	12.00	24.00	0.2500	-0.50
			32.0	1.00	12.00	24.00	0.2500	+0.63
			34.0	3.00	4.00	8.00	0.2484	+0.62
			36.0	7.50	1.60	3.20	0.2309	+0.58
			40.0	9.00	1.35	2.70	0.2240	+0.56
2	33.00	-1.00 +1.25	28.0	5.00	2.40	4.80	0.2439	-0.48
			30.0	3.00	4.00	8.00	0.2404	-0.49
			32.0	1.00	12.00	24.00	0.2500	-0.50
			34.0	1.00	12.00	24.00	0.2500	+0.62
			36.5	5.50	2.20	4.40	0.2420	+0.60
			40.0	7.00	1.70	3.70	0.2330	+0.58
3	36.25	-2.00 +2.44	28.0	8.25	1.45	2.90	0.2250	-0.90
			30.0	6.25	1.90	3.80	0.2368	-0.95
			32.0	4.25	2.00	5.60	0.2450	-0.98
			34.0	2.25	5.30	10.70	0.2491	-0.99
			36.5	2.25	5.30	10.70	0.2491	+1.21
			40.0	3.75	3.20	6.40	0.2463	+1.20
PUNTA	38.50	-1.94 +2.32	28.0	10.50	1.15	2.30	0.2151	-0.83
			30.0	8.50	1.40	2.80	0.2240	-1.85
			32.0	6.50	1.85	3.70	0.2357	-0.91
			34.0	4.50	2.65	5.30	0.2440	-0.94
			36.5	0.00	∞	∞	0.2500	-0.97
			40.0	1.50	8.00	16.00	0.2498	+1.15

PNDF.	Δσ _{z'} (T/m ²)
28.0	-2.70
30.0	-2.80
32.0	-1.70
34.0	-0.69
36.5	+1.42
40.0	+3.49

PRESIONES EFECTIVAS P_e
INCREMENTOS DE PRESIÓN ($\Delta P / \text{m}^2$)

ESC V = 1:25
ESC H = 1:100



CALCULO DE ASEGURAMIENTOS.

PTO.	Z m	H m	P_0 T/m^2	ΔP_V T/m^2	P T/m^2	$\Delta \sigma$	$1-\alpha$	ΔH cm.
A	28.0	4	8.3	-5.14	3.16	0.60	12.0	-26.0
	33.0	6	9.7	-2.50	7.20	0.20	7.2	-17.0
	39.0	4	10.0	+4.30	14.30	0.60	12.5	+19.0
B	28.0	4	8.3	-2.70	5.60	0.50	12.0	-15.0
	33.0	6	9.7	-1.40	8.30	0.20	7.2	-17.0
	39.0	4	10.0	+2.60	12.60	0.30	12.5	+10.0
C	28.0	4	8.3	-1.44	6.86	0.40	12.0	-12.0
	33.0	6	9.7	-0.50	9.20	0.10	7.2	-6.0
	39.0	4	10.0	+1.30	11.30	0.20	12.5	+7.0
D	28.0	4	8.3	-2.70	5.60	0.60	12.0	-15.0
	33.0	6	9.7	-1.40	8.30	0.20	7.2	-17.0
	39.0	4	10.0	+2.60	12.60	0.30	12.5	+10.0

$\Delta_{\text{prom}} = -20 \text{ cm.} < \Delta_{\text{nom}} 28.0 \text{ cm. } \therefore \text{ es correcto.}$

CALCULO DE CLASIFICACION. ESTADO LIMITE DE FALTA.

a) Revisión de los pilotes individuales.

$$C_f = n A_L f'_{R}$$

$$A_L = 2.4 \times 32.5 = 78 \text{ m}^2$$

$$C_f = 148 \times 78 \times 2 \times 0.62 = 14315 \text{ T.}$$

$$C_f = 14315 \text{ TON.}$$

$$C_1 = C N_{cs} A_1 f_R + P_v A_1$$

$$C = 0.67 \times 2 = 1.34 \text{ T/m}^2$$

$$N_{cs} = 6.20$$

$$A_1 = 25 \times 25 = 148 \times 0.36 = 571.7 \text{ m}^2$$

$$f_R = 0.62$$

$$P_v = 1.5 \times 6 = 9 \text{ T/m}^2$$

$$C_1 = 1.34 \times 6.2 \times 571.7 \times 0.62 + 9 \times 571.7$$

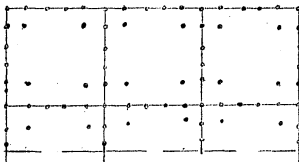
$$C_1 = 2944.8 + 5145.2 = 8090 \text{ TON.}$$

$$C_1 = 8090 \text{ TON.}$$

$$\Sigma QF_c = 1.4 (10947 + 5622) = 23197 \text{ T.}$$

$$\Sigma QF_c \leq R$$

23197 \leq 14315 + 8090 \therefore 22405 TON. \therefore es correcto.



74 pilotes

simetría

La losa deberá tener una capacidad estructural suficiente para soportar la presión de contacto de

$$\frac{23197 + 14315 \cdot L}{575.0 \text{ m}^2} = 15.42 \text{ T/m}^2$$

- b) Revisión de la pila de geometría igual a la de la envolvente del conjunto de pilotes

$$R = [(C N_{cs}) F_R + P_v] A_p$$

$$R = \text{cap. de carga en T/m}^2$$

$$C = \text{cohesión igual a } q/2 = C = 2.5 \text{ T/m}^2$$

$$N_{cs} = 8.10$$

$$A_p = \text{Área transversal de la pila} = 25 \times 25 = 625 \text{ m}^2$$

$$R = [(2.5 \times 8.1 \times 0.62)] 625 + 1.5 \times 38.5 \times 625$$

$$R = 43940 \text{ TON.}$$

$$\text{Peso del suelo} = (625 - 148 \times 0.36) 32.5 \times 1.5 = 27871$$

$$\Sigma QF_c = 23197 + 27871 = 51060$$

$$51060 \pm 43940 \text{ TON.}$$

- c) Revisión de grupos de pilotes en los que se puede subdividir la cimentación.

Tomando en cuenta que en este caso particular ningún subgrupo de pilotes se puede formar no procede la verificación correspondiente.

- d) Revisión de los pilotes individuales. Tomando en cuenta que el momento de volteo equivale a una excentricidad de 2.0m. para esta revisión se considerará una área reducida de la losa de cimentación con ancho 24 m - 2 X 2 = 20 m cuya equivalencia a eliminar 30 pilotes por lo que :

$$C_f = 118 \times 78 \times 2 \times 0.62 = 11413 \text{ TON.}$$

$$C_1 = 1.34 \times 6.2 \times A_1 \times 0.62 + 9 \times A_1$$

$$A_1 = 25 \times 21 - 118 \times 0.36 = 462.52 \text{ m}^2$$

$$C_1 = 1.34 \times 6.2 \times 462.52 \times 0.62 + 9 \times 462.52$$

$$C_1 = 2485 + 4343 = 6828 \text{ T}$$

$$\Sigma Qf_c = 1.1 (0740.7 + 5622) = 15790.2 < 11413 + 6926 = 18241$$

$$\Sigma Qf_c < R$$

$15790.2 < 18241 \therefore$ es correcto.

La presión de contacto que deberá poder soportar la losa en estas condiciones es de :

$$\frac{15790.2 - 11413}{402.52 \text{ m}^2} = 9.0 \text{ T/m}^2 < 15.42 \text{ T/m}^2$$

Revisión de la pila de geometría igual a la de la envolvente del conjunto de pilotes.

$$R = (2.5 \times 8.1 \times 0.62) 402.52 = 6058.03 < 15790.2 \therefore$$

es correcto

DISEÑO DE TRABES DE CIMENTACION.CALCULO DE CIMENTACION.

277.52	D	501.70	501.70	277.52
137.90	Cols.	137.90	137.90	137.88
260.00	Pilotes	260.00	260.00	260.00
91.70	Cimentación	91.70	91.70	91.70
1073.96		1387.80		
501.70		904.24	904.24	501.70
137.90		137.90	137.90	137.90
260.00		260.00	260.00	260.00
91.70		91.70	91.70	91.70
		1951.40		
501.70		904.24	904.24	501.70
137.90		137.90	137.90	137.90
260.00		260.00	260.00	260.00
277.52		501.70	501.70	277.52
137.90		137.90	137.90	137.90
260.00		260.90	260.00	260.00

$$QFc = E P = 8740.64 \text{ ton.}$$

$$E P \text{ cols.} = 2206.40 \text{ ton.}$$

$$Pp pilotes = 4160.00 \text{ ton.}$$

$$P cimenta. = 1467.20 \text{ ton.}$$

$$\text{Total} = 16574.24 \times 1.4 = 23203.9 \div 148 = 156.783$$

$$1073.96 \times 4 = 4295.8 \quad \text{Carga por pilote} = 155.783 \text{ ton.}$$

$$1387.80 \times 8 = 11102.5$$

$$1951.40 \times 4 = 7805.6$$

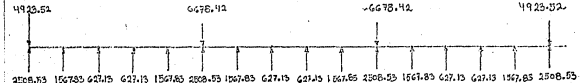
$$23203.9$$

DISEÑO DE TRACES DE CIMENTACION. CALCULO DE CIMENTACION.

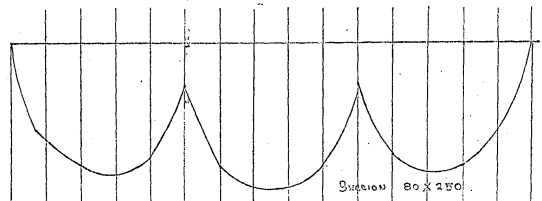
+ 250
↓ 125

↑ 160
↓ 125

↑ 160
↓ 125



$$\begin{aligned}
 \Delta p = & -2415 - 8174.7 + 220.0 + 467.13 + 1975 - 2194.93 + 527.1 + 0 + 627.13 + 2194.93 + 1975 - 467.13 + 220 + 847.13 + 2415 \\
 H = & -3864 - 1355.6 + 352.4 + 651.4 - 3160 + 3511.9 - 1010.4 + 0 + 1063.4 + 3511.9 - 3160 - 651.4 + 352.4 + 1355.6 + 3864.0 \\
 H = & 0 - 3864 - 5219 + 5571 - 4919.6 - 1759.6 - 5274.5 + 6274.9 - 6274.9 - 5274.5 - 1759.6 - 4919.6 - 5271 - 5219 + 3864 = 0
 \end{aligned}$$



Cimentacion 80 X 250

Var #5 @ G0
simbas caras

L14 #12
F 5#12

250	0.12	0.10	0.40	0.30	0.15	@15	0.20	0.20	0.10	0.10	0.20	0.12
300	0.12	0.10	0.40	0.30	0.15	@15	0.20	0.20	0.10	0.10	0.20	0.12

W = Señal

CALCULO DE CIMENTACION. DISEÑO DE TIRAJES.

a) Diseño por flexión.

$$M_u = 1392.75 \text{ T-m}$$

$$M_{ub} = -430.90 \text{ T-m}$$

$$\frac{M_u}{bd^2} = \frac{139,275,000}{80 \times 240^2} = 30.22 \text{ m.}$$

$$p = 0.0005 \quad ; \quad A_s = 163.2 \text{ cm}^2 \quad ; \quad 11.40 = 14 \text{ } \# 12$$

$$\frac{M_u}{bd^2} = \frac{-43,990,000}{80 \times 240^2} = 9.54 \quad ; \quad p = 0.004$$

$$A_s = 76.0 \text{ cm}^2 \quad ; \quad 11.40 = 7 \text{ } \# 12$$

$$A_s \text{ min.} = \frac{0.7 \sqrt{f_y c}}{f_y} bd = \frac{0.7 \times \sqrt{250}}{4200} \times 80 \times 240 = 50.60 \text{ cm}^2$$

5 # 12

b) Diseño por cortante.

como $p < 0.01$

$$V_{CR} = 0.8 \times 80 \times 240 \left(0.2 + 0.004 \times 30 \right) \sqrt{0.8 \times 250}$$

$$V_{CR} = 15360 \left(0.32 \right) 14.14 = 69.50 \text{ TON.}$$

$$V_u = \frac{2415}{4} = 604 \text{ TON.} \quad ; \quad V_u = V_{CR} = \frac{604}{69.5} \text{ T.}$$

Con estribos dobles a 5/8 534.5

$$S = \frac{0.8 \times 2 \times 4 \times 4200 \times 240}{534.5} = 12 \text{ cm.}$$

$$\text{b.1.- Con cortante } V = \frac{1975}{4} = 494.0 \text{ T}$$

$$V_u = V_{CR} = \frac{494.0}{69.5} = 7.18 \text{ T}$$

$$V_u = V_{CR} = 429.5 \text{ T}$$

$$S = \frac{0.8 \times 2 \times 4 \times 4200 \times 240}{429.5 \times 10^3} = @ 15 \text{ cm.}$$

$$\text{b.2.- Con cortante } V_u = \frac{847.17}{4} ; V_u = V_{CR} = \frac{211.00}{69.50} = 3.06 \text{ T}$$

141.00 T

Con estribos sencillos

$$S = \frac{0.6 \times 2 \times 2 \times 4200 \times 240}{142.5 \times 10^3} = @ 20 \text{ cm.}$$

b.3.- Cortante. $V_u = \frac{220}{4} = 55$

$$S = \frac{0.6 \times 2 \times 2 \times 4200 \times 240}{55 \times 10^3} = 58 \text{ cm.}$$

b.4.- Cercante. $V_u = \frac{407.12}{4} = 101.80$

$$S = \frac{0.6 \times 2 \times 2 \times 4200 \times 240}{101.80} = 31.6 \text{ cm.} = @ 30 \text{ cm.}$$

DISCOS DE PILOTES.

$$P_u = 156.703 \text{ T}$$

$$K = \frac{P_u}{F_H \times b \times h \times f''c} = \frac{156.703 \text{ Kg.}}{5 \times 60 \times 60 \times 170} = 0.51$$

$$a_y = 0 = 0$$

$$a_a = 0.05 \times 60 = 3.0 \text{ cm.}$$

$$a_T = 3.0 \text{ cm.}; \quad e/h = 3/60 = 0.05$$

$$K = 0.51$$

$$R = 0.51 \times 0.05 = 0.02 \quad q = 0.10$$

$$p = \frac{f''c}{f_y} q = \frac{170}{4200} \times 0.10 = 0.00404$$

$$A_g = 0.00404 \times 60 \times 60 = 14.57 \quad 8 \times 5 = 16 \text{ cm}^2$$

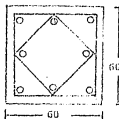
$$E \approx 2.5 @ 20$$

$$\Delta_{\text{asim}} = 2.605 \times 0.51 = 1.325 \text{ cm.}$$

$$S \approx 5$$

$$8 \times 5$$

$$2 \text{ T.} \approx 2.5 (0.20)$$



DISEÑO TRABES DE CIMENTACION SECUNDARIAS NIV.-6.0 M

156.8	156.8	156.8	156.8	156.8	156.8 T
1.6	1.60	1.61	1.60	1.60	1.6
8.00 m.		8.00 m.		8.00 m.	
0	0.43	0.57	0.57	0.43	0
-301.00	200.00	-200.00	301.00		
43.40	57.60	- 57.60	43.40		
	28.80	28.80			
12.40	16.40	- 16.40	12.40		
0	-245.20	245.20	-245.20	245.20	Mt
156.00	156.00	156.80	156.00	156.00	Vl
30.65	30.65	-	-	30.65	Vc
126.15	107.45	156.8	156.00	107.45	Vt
126.15	344.25		344.25	126.15	R

$$\text{Mises} = \frac{\text{Pab.}}{1} = \frac{156.8 \times 1.6 \times 6.4}{8} = 200.0 \text{ T-M}$$

$$\text{Vicos}_i = 156.8 \text{ T} ; \quad \text{Vicos}_{d_i} = 156.8 \text{ T}$$

Calcule los momentos.

$$M_1 = \frac{\text{Pab.}}{21^2} (2a + b) = \frac{156.8 \times 1.6 \times 6.4}{2 \times 8.0^2} (2 \times 1.6 + 6.4) = 120.42$$

$$M_2 = \frac{\text{Pab.}}{21^2} (2a + b) = \frac{156.8 \times 6.4 \times 1.6}{2 \times 8.0^2} (2 \times 6.4 + 1.6) = 180.63$$

$$M_T = 301.05$$

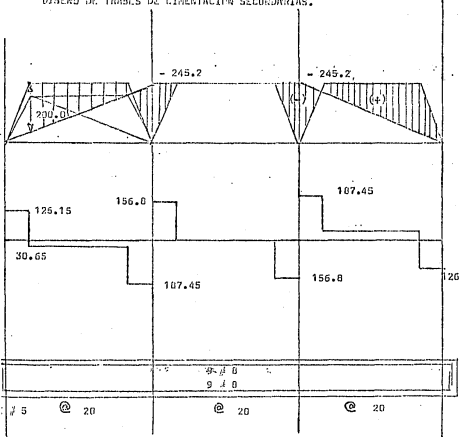
$$M_{31} = \frac{\text{Pab}^2}{1^2} = \frac{156.8 \times 1.6 \times 6.4^2}{8.0^2} = 150.6 \text{ T-M}$$

$$M_{3d} = \frac{\text{Pab}^2 b}{1^2} = \frac{156.8 \times 1.6^2 \times 6.4}{8.0^2} = 40.1 \text{ T-M}$$

$$M_{Ti} = 200.7 \text{ T-M}$$

$$M_{3d} = 200.7 \text{ T-M}$$

DISEÑO DE TRABES DE CIMENTACION SECUNDARIAS.



SECCION 60 X 250

DISEÑO DE TUBOS DE CIMENTACION. TUBOS SECUNDARIAS.

a) Diseño por flexión.

$$M_u = 245,20 \text{ T-m} \quad \text{Sección } 60 \times 250 ; b = 40 \text{ cm.} \\ d = 240$$

$$\frac{M_u}{bd^2} = \frac{24520000}{60 \times 240^2} = 7,09 ; p = 0,003$$

$$A_s \min = \frac{0,7 \sqrt{f'_c}}{f_y} \times 40 \times 240 = \frac{0,7 \sqrt{250}}{4200} \times 40 \times 240 = 25 \text{ cm}^2$$

$$A_s = 0,003 \times 60 \times 240 = 43,2 \text{ cm}^2 \quad 9 \# 8$$

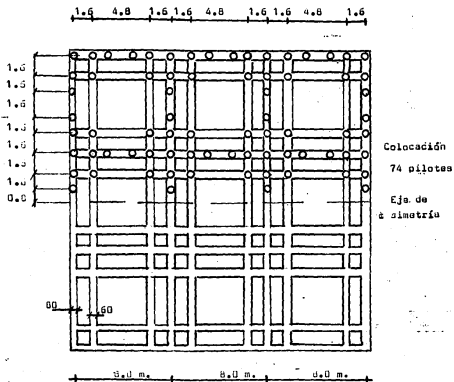
b) Diseño por cortante.

$$V_{CR} = 0,8 \times 60 \times 240 (0,2 + 0,003 \times 30) \sqrt{200} = 47,24 \text{ T.}$$

$$V_u - V_{CR} = 187,45 - 47,24 = 140,21 \text{ T.}$$

$$\text{Sep. } E \# 5 = \frac{0,8 \times 2 \times 2 \times 4200 \times 240}{140,21} = 23 \text{ cm.}$$

LOCALIZACION DE TRABES Y PILOTES.



CALCULO LOSA DE CIMENTACION. NIV-6.c

CREA - DE INICIOS PARA TABLEROS REC.

1.6 4.8 1.6 1.6 4.8 1.6 1.6 4.8 1.6

	0.0190					
1.6						
4.8	.019	0.0137	.0324			
1.6						
1.6		0.0324				
1.6						
1.6		0.0297		0.0288		
4.8	.0138	0.0133 0.0297	.0315	.0288	0.0126	.0288
1.6						
1.6						
4.8						
1.6						

CALCULO DE LOMA DE CIMENTACION NIV. 6.0.

Concreto $f'_c = 250 \text{ Kg/cm}^2$ Acero $f_y = 4200 \text{ Kg/cm}^2$

8.0 m.	8.0 m.	8.0 m.	
.019 .0137 .0324	.0297 .0133 .0297	.0324 .0137 .0190	coefs. None

 $H_u/bd^2 \quad P$

$M_u = 0.019 \times 15 \text{ T/m}^2 \times 5^2 = 7.12 \text{ T-m} \quad 11.39 \quad 0.003$

$M_u = 0.0137 \times 15 \text{ T/m}^2 \times 5^2 = 5.13 \text{ T-m} \quad 0.20 \quad 0.003$

$M_u = 0.0324 \times 15 \text{ T/m}^2 \times 5^2 = 12.15 \text{ T-m} \quad 19.44 \quad 0.006$

Considerando una losa de 30.0 cm.

$\frac{f_u}{bd^2} = \frac{121500}{100 \times 25^2} = 19.44 \quad ; \quad P = 0.006$

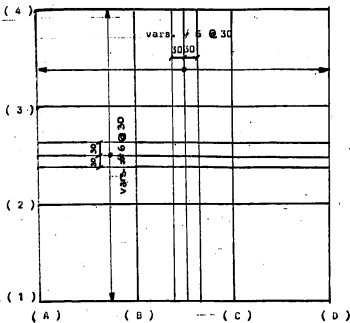
$A_s = 0.006 \times 100 \times 25 = 15.0 \text{ cm}^2$

$S.p. \text{ vars. } \# 6 = \frac{284}{15} = 18 = @ 20$

$A_s = 0.003 \times 100 \times 25 = 7.5 \text{ cm}^2$

$S.p. \text{ vars. } \# 6 = \frac{284}{7.5} = @ 30$

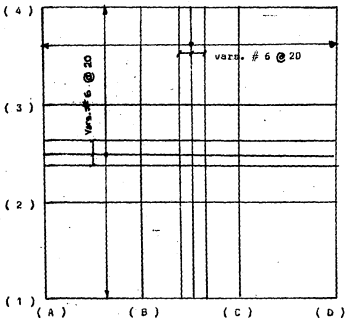
ARMADO LOSA DE CIMENTACION NIV.-6.0. M



ARMADO LECHO SUPERIOR.

LOSA DE H = 30 cm.

LOCALIZACION DE ARMANDO LECHO INFERIOR NIV.-6.0. M

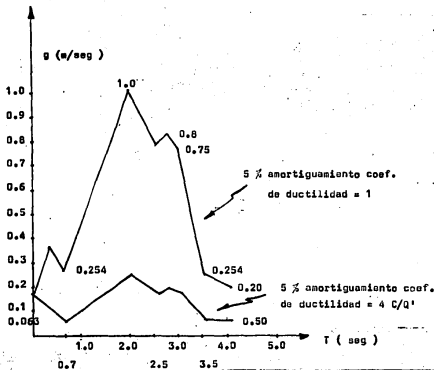


ARMADO LOSA LECHO INFERIOR

LOSA H = 30 cm.

5. ANALISIS III.

El análisis III consiste en revisar las secciones obtenidas del análisis II, pero tomando en cuenta el espectro de respuesta, de la componente E-W, del sismo registrado en la S.C.T. el dia 19 de septiembre de 1985 el cual se muestra en la gráfica siguiente.



-1.14	22.03	-0.99	
21.36	-26.96	16.60	21.54
-1.87	-	-16.96	
13.65	-	-19.63	
12.74	-	6.40	
4.78	-1.08	25.63	-2.38
22.33	-34.64	-6.33	26.53
-11.49	-	-22.68	
25.50	-	-37.86	
1.31	-	11.46	
9.21	-6.38	33.79	-6.45
29.26	-	-6.45	13.20
-11.32	-	-41.56	
49.53	-	-52.16	
12.73	-	14.13	
-0.37	12.41	39.94	-16.42
21.86	-11.74	-10.30	35.26
-16.28	-	-31.03	
-61.16	-	-74.00	
20.17	-	36.01	
6.49	24.08	51.27	-28.41
21.00	-61.58	-32.82	34.18
-15.18	-	-40.10	
-66.13	-	-93.81	
16.72	-	33.80	
-5.11	28.64	35.85	-29.34
32.31	-68.60	-36.85	48.06
-16.99	-	-49.80	
-10.54	-	-111.17	
22.09	-	38.94	
-8.43	33.51	46.37	-35.40
33.83	-64.40	-48.94	46.27
-11.07	-	-15.19	
-105.57	-	-129.44	
21.39	-	45.70	
-17.03	26.08	43.37	-15.75
25.65	-71.81	-43.10	45.38
-11.82	-	-47.01	
-62.46	-	-141.73	
-55.87	-	55.73	
-35.08	46.81	78.31	-54.24
-66.38	-	54.24	58.16
-66.16	-51.00	54.37	-86.19
-17.06	-	-86.41	
-161.41	-	-166.34	
32.33	-	56.06	
19.41	47.05	36.57	-72.14
55.44	-85.74	-56.57	56.34
-20.83	-	-53.20	
-151.81	-	-151.81	
35.77	-	57.55	
-51.38	10.61	37.87	-54.52
36.11	-65.04	-55.70	57.45
-15.90	-	-50.91	
-28.10	-	-203.06	
-61.71	-	62.43	
-26.66	-56.61	-60.40	56.34
32.30	-80.71	-25.05	56.34
-10.01	-	-46.98	-54.83
-28.07	-	-46.57	
32.91	-	-221.06	
-41.12	41.88	78.66	-76.15
30.37	-49.56	-66.34	57.03
-9.21	-	-45.80	
-26.11	-	-174.65	
35.73	-	46.34	
-61.71	51.41	54.42	-70.73
8.63	-64.36	-51.27	50.78
1.81	-	-21.37	
-39.43	-	-256.08	
46.79	-	256.81	
-55.61	37.10	44.41	-61.74
45.10	-44.83	-35.04	21.34
-36.79	-	-21.49	
-36.08	-	-216.22	
122.28	-	130.63	
116.47	-	-130.32	

35.88	- 26.04	38.59	- 16.95			
12.53	- 81.16	14.35	- 27.06	- 49.64		
29.01	- 15.07		- 18.40			
21.78	- 23.69		- 39.19			
13.56	- 15.07	35.49	- 1.60	4.00		
30.31	- 83.64	1.97	- 33.41	- 62.90		
9.41	- 26.67					
- 50.67	- 35.44		- 73.19			
13.47	- 14.66					
11.15	- 6.80	40.17	- 8.85	3.75		
35.85	- 63.30	- 5.99	36.73	- 62.55		
- 7.55	- 38.91					
- 21.38	- 107.27					
20.16	- 23.57					
4.10	6.05	56.70	- 18.36	11.35		
81.54	- 10.96	- 13.89	- 41.83	- 48.37		
- 6.37	- 35.44					
100.81	- 141.51					
- 20.46	- 39.11					
- 2.01	15.64	68.45	- 32.21	27.52		
34.90	- 68.10	- 30.36	53.48	- 84.41		
- 13.26	- 48.88					
- 191.22	- 179.16					
27.65	- 41.33					
- 0.71	18.42	74.56	- 33.93	32.41		
43.66	- 42.68	- 34.91	58.06	- 81.34		
- 16.81	- 31.25					
106.75	- 204.09					
31.65	- 47.28					
- 4.45	44.42	80.19	- 49.45	31.80		
41.84	- 16.03	- 34.04	50.60	- 93.74		
18.35	- 52.14					
- 20.83	55.05					
- 37.67	23.82	83.86	- 94.41	40.15		
31.65	- 99.68	- 1.35	54.83	- 97.14		
- 8.23	- 48.37					
- 28.84	- 27.79					
30.70	- 71.41					
- 24.17	44.31	91.90	- 10.13	86.77		
41.66	- 87.67	- 68.43	64.04	- 113.64		
- 14.80	- 85.72					
- 291.85	- 311.14					
43.16	- 67.91					
- 17.04	43.63	99.28	- 60.10	16.41		
44.84	- 116.82	- 58.44	63.68	- 113.38		
- 19.12	- 64.87					
- 33.60	- 348.21					
15.32	- 60.08					
- 36.07	45.79	101.38	- 63.29	56.15		
44.66	- 115.77	- 61.64	64.27	- 113.16		
- 16.11	- 59.12					
- 380.33	- 379.40					
52.96	- 71.59					
- 30.40	46.13	102.48	- 70.10	56.08		
31.72	- 114.07	- 56.13	56.34	- 112.12		
6.46	- 51.74					
492.76	- 413.11					
67.40	- 73.61					
- 15.68	49.06	114.82	- 65.10	47.31		
- 26.78	- 126.83	- 68.57	51.61	- 124.24		
- 6.17	- 53.24					
- 466.98	443.84					
- 67.15	- 50.45					
- 12.64	50.86	104.44	- 61.13	54.05		
14.59	- 115.14	- 51.07	34.84	- 113.14		
6.49	- 34.16					
- 81.60	- 482.20					
- 80.83	- 105.20					
- 63.73	31.89	83.49	- 103.23	52.84		
59.45	- 91.35	- 53.57	26.80	- 90.03		
- 31.41	- 25.78					
- 871.63	- 516.67					
146.62	- 154.31					
- 138.01	- 153.76					

				11.93
- 26.67	- 84.17	11.45	32.50	- 53.67
- 4.73			- 23.84	
- 25.85			- 34.47	
- 23.85			- 10.29	
- 12.24	- 11.35	46.12	- 3.00	- 1.29
- 35.21	- 60.42	- 3.07	34.41	- 38.71
- 14.12			- 33.87	
- 52.24			- 73.81	
- 14.01			- 13.61	
- 10.61	- 6.22	55.10	- 11.30	11.35
- 40.32	- 69.68	- 12.82	42.15	- 68.82
- 12.60			- 41.31	
- 61.33			- 106.10	
- 22.03			- 28.57	
- 2.84	8.43	- 64.44	- 23.20	20.76
- 37.83	- 74.35	- 21.83	50.70	- 77.79
- 11.16			- 41.83	
- 11.24			- 11.24	
- 30.15			- 49.84	
- 5.77	24.94	80.61	- 40.64	- 40.69
- 48.99	- 100.00	- 42.09	65.34	- 47.57
- 15.38			- 57.53	
- 161.04			- 136.79	
- 20.97			- 26.14	
- 3.76	31.24	87.41	- 52.24	46.30
- 50.72	- 105.72	- 47.77	10.80	- 105.64
- 23.86			- 64.05	
- 170.47			- 211.10	
- 35.92			- 51.60	
- 8.68	38.75	44.12	- 50.81	52.11
- 45.52	- 111.16	- 55.02	11.45	- 104.05
- 22.03			- 65.08	
- 231.43			- 248.42	
- 46.40			- 67.31	
- 22.34	42.35	49.37	- 51.54	54.31
- 141.13	- 194.81	- 54.49	66.91	- 115.22
- 15.44			- 66.45	
- 23.96			- 59.41	
- 59.48			87.95	
- 32.74	61.01	116.37	- 61.19	78.74
43.60	135.74	- 17.30	80.69	- 135.66
- 21.33			- 78.33	
- 322.16			- 84.29	
- 80.63			80.53	
- 24.80	62.33	111.30	- 38.30	76.88
83.12	134.88	- 16.56	68.80	- 134.24
- 26.89			- 76.79	
- 370.72			- 388.77	
- 32.99			- 84.85	
- 21.34	45.69	113.35	- 18.79	78.34
47.18	134.67	- 76.26	78.54	- 135.46
- 22.72			- 73.54	
- 718.41			- 803.24	
- 22.73			- 41.83	
- 140.18	64.86	128.80	- 60.07	74.61
36.19	132.80	- 114.64	68.46	- 131.47
- 11.11			- 64.86	
- 446.43			- 417.83	
- 80.40			84.18	
- 56.65	20.78	96.00	10.48	89.59
- 33.07	18.56	- 81.96	76.86	- 146.62
- 66.27			- 66.19	
- 519.83			- 453.25	
76.43			111.74	
- 55.17	70.36	116.36	- 105.00	75.82
15.16	134.88	- 76.33	45.13	- 134.92
8.55			- 40.46	
- 347.85			- 458.12	
- 10.47			129.61	
- 14.24	114.03	- 14.00	44.22	
- 140.13	150.87	- 41.74	34.45	- 104.36
- 280.49			- 31.75	
- 163.54			- 541.21	
177.32			146.34	
- 348.91			159.76	

29.27	31.94	- 6.61	56.44	40.80
- 6.33			- 52.56	
- 15.73			- 20.40	
15.79			10.16	
1.11	12.31	35.38	- 6.34	23.12
35.69	- 46.03	- 19.48	42.40	- 51.17
- 21.84			- 43.60	
- 34.64			- 39.64	
8.26			14.83	
4.26	26.34	62.32	- 16.51	31.91
31.68	- 64.35	- 31.41	55.19	- 62.91
- 22.11			- 55.74	
- 34.70			- 68.11	
18.90			33.29	
- 5.54	31.10	63.38	- 30.88	4.646
8.73	- 71.00	- 42.71	40.14	- 14.47
- 23.08			- 55.83	
- 62.33			- 51.98	
22.75			55.42	
- 17.06	17.96	20.41	- 53.35	30.39
14.33	- 98.38	- 65.71	37.33	- 98.70
- 64.31			- 73.24	
14.68			- 93.44	
30.13			- 88.97	
- 14.82	8.85	93.85	- 50.11	38.14
0.27	- 100.73	- 13.32	51.13	- 100.16
- 28.47			- 50.00	
149.07			- 116.88	
34.16			68.24	
- 26.85	7.83	10.04	- 61.70	84.85
40.82	- 109.72	- 85.8	58.29	- 102.47
- 34.85			- 81.47	
106.32			80.83	
16.19			78.46	
26.00	- 114.35	30.31	- 71.57	80.70
40.82		- 85.05	79.69	- 117.84
- 26.85			- 76.31	
- 124.04			- 155.65	
65.37			105.03	
- 86.00	34.85	123.81	- 101.90	114.08
40.78	- 131.90	- 101.24	96.35	- 142.40
- 34.63			- 92.40	
- 346.77			- 195.23	
53.64			48.73	
- 24.70	10.2.60	12.98	- 98.18	114.34
84.64	- 138.01	- 101.12	99.52	142.36
- 15.00			- 98.17	
- 34.23			- 194.81	
55.76			101.90	
- 13.15	104.63	130.73	- 79.35	113.98
48.00	- 139.58	- 107.04	94.57	- 142.00
- 34.64			- 91.88	
- 39.63			- 214.06	
65.64			116.67	
104.15	130.61	- 105.31	113.30	
51.40	- 137.16	- 108.15	82.85	- 146.89
- 35.20			- 80.13	
32.71			- 233.26	
- 48.18			139.26	
61.86				
- 18.05	123.63	149.40	- 136.92	138.63
31.82	- 161.32	- 131.30	81.88	- 158.70
- 24.85			- 82.99	
- 48.80			- 262.24	
- 26.35			136.76	
- 29.51	109.36	134.80	- 133.46	117.70
11.50	- 141.42	- 10.64	54.84	- 141.84
- 6.85			- 63.43	
503.80			270.69	
118.29			108.04	
- 101.06	36.10	109.58	- 156.93	30.37
80.00	- 107.64	- 78.21	46.01	- 106.91
- 64.10			- 39.16	
- 539.37			- 280.73	
215.88			- 93.93	
- 9.62			- 232.65	

Revisión de la col. 2-B 1^{er} NIVEL

a) Condición estática.

$$P_u = 970 \times 1.4 = 1358 \text{ T}$$

$$M_{ux} = 0.3 + 0.05 \times 1.25 \times 1358 = 85.17 \text{ T-M}$$

$$M_{uy} = 0.3 + 0.05 \times 1.25 \times 1358 = 85.17 \text{ T-M}$$

$$e_x = \frac{85.17}{1358} = 0.06 \text{ M.} \quad e_y = 0.06 \text{ M}$$

Se supone la misma cantidad de acero que se usó para el análisis II.

$$32 \# 10 = 32 \times 7.92 = 253.44 \text{ cm}^2$$

$$p = \frac{253.44}{125 \times 125} = 0.06$$

$$P_{RD} = F_R (A_c f''c + A_s f_y)$$

$$P_{RD} = 0.5 (15625 \times 170 + 253.44 \times 4200) = 1860 \text{ T}$$

$$q = p \frac{f_y}{f''c} = \frac{0.016 \times 4200}{170} = 0.39$$

$$\frac{e_x}{h_x} = \frac{0.06}{1.25} = 0.048$$

$$K_{Ix} = 1.25$$

$$P_{RX} = K_r F_R b h f''c$$

$$P_{RX} = 1.25 \times 0.5 \times 125 \times 125 \times 170 = 1660.15 \text{ T}$$

$$P_{RY} = 1660.15 \text{ T}$$

$$P_R = \left(\frac{1}{1660.15} + \frac{1}{1660.15} - \frac{1}{1860} \right)^{-1} = 1499.07 > 1358 \text{ T}$$

∴ es correcto.

b) Condición estática + sismo

$$P_u = 1053.28 \text{ T}$$

$$M_{ux} = 0.46 \times 1.1 + 0.05 \times 1.25 \times 1053.28 = 66.34 \text{ T-M}$$

$$M_{uy} = 0.46 \times 1.1 + 0.05 \times 1.25 \times 1053.28 = 66.34 \text{ T-M}$$

$$M_{ux} = 66.34 + 190.34 = 256.68 \text{ T-M}$$

$$M_{uy} = 66.34 + 247.35 = 313.69 \text{ T-M}$$

$$e_x = \frac{256.68}{1053.28} = 0.24 \text{ M} \quad e_y = \frac{313.69}{1053.28} = 0.29$$

$$A_s = 253.44 \text{ cm}^2 \quad ; \quad p = 0.0162$$

$$P_{RD} = 0.5 (15625 \times 170 - 253.44 \times 4200) = 1860.35 \text{ T}$$

$$q = p \frac{f_y}{f_y'c} = 0.0162 \times \frac{4200}{170} = 0.40$$

$$e_x = \frac{0.24}{1.25} = 0.192$$

h_x

De las gráficas de la referencia. (N°3)

$$K_x = 0.95$$

$$P_{RX} = K_x F_R b h f_y' c$$

$$P_{RX} = 0.95 \times 0.5 \times 125 \times 125 \times 170 = 1261.72 \text{ T}$$

$$e_y = \frac{0.29}{1.25} = 0.232$$

$$K_y = 0.85$$

$$P_{RY} = 0.85 \times 0.5 \times 125 \times 125 \times 170 = 1128.90 \text{ T}$$

$$P_R = \left(\frac{1}{1261.72} + \frac{1}{1128} - \frac{1}{1860.35} \right)^{-1} = 875.99 \text{ T}$$

$$P_R = 875.9 \text{ T} < 1053.28 \text{ T}$$

No pasa la sección.

A continuación se hace la revisión de la trabe del tercer nivel del marco eje D.

Elementos Mecánicos.

$$M_{CM} + CV = 18.17 \text{ T-M}$$

$$M_{CV} + S = 199.05 \text{ T-M}$$

Sección = 40.0 cm X 120.0 cm.

Concreto $f'c = 250 \text{ Kg/cm}^2$

Acero Rfzo $f_y = 4200 \text{ Kg/cm}^2$

$$A_s = 7 \# 8 = 35.21 \text{ cm}^2$$

$$\text{a) } A_s = 35.21 \text{ cm}^2$$

$$= \frac{35.21 \text{ cm}^2}{40 \times 110 \text{ cm}^2} = 0.008$$

La falla por tensión ocurre cuando

$$M_u = A_s f_y (d - 0.59 \frac{A_s f_y}{f'c b})$$

$$M_u = 35.21 \times 4200 (110 - \frac{0.59 \times 35.21 \times 4200}{250 \times 40}) = 149.76 \text{ T-M}$$

$$\text{b) } A_s = 35.21 \text{ cm}^2$$

$$\ell = 0.008$$

$$\text{De la ecuación } (\frac{0.85 f'c}{0.003 E s \ell}) a^2 + ad - \beta_1 d^2 = 0$$

$$\frac{0.85 \times 250 \times a^2}{0.003 \times 2000000 \times 0.008} = 4.42 a^2$$

$$ad = a \times 110 = 110 a$$

$$\beta_1 d^2 = 0.85 \times 110^2 = 10285$$

$$a^2 + 24.88 a - 2326.92 = 0$$

$$a = 12.44 \pm \sqrt{154.75 + 2326.9} = -12.49 \pm 49.81$$

$$a_1 = 37.66 \text{ cm.}$$

$$a_2 = -62.30 \text{ cm.}$$

Entonces la falla por compresión ocurre cuando

$$M_u = 0.85 f'c ab (d - 0.5 a)$$

$$= 0.85 \times 250 \times 37.66 \times 40 (110 - 0.5 \times 37.66)$$

$$M_u = 291.84 \text{ T-M}$$

• la falla ocurrida por tensión.

DEPLAZAMIENTOS MAXIMOS OBTENIDOS PARA EL MARCO EJE D =
MARCO EJE 4.

NIVEL	DIRECCION Y CM.	.30 DIRECCION X CM.	DEPLAZAMIENTOS TOTALES CM.
1	0.684	0.205	0.890
2	2.314	0.694	3.008
3	4.362	1.308	5.670
4	6.362	1.908	8.270
5	8.633	2.589	11.222
6	11.072	3.321	14.393
7	13.377	4.013	17.390
8	15.523	4.656	20.179
9	17.735	5.320	23.055
10	19.964	5.989	25.953
11	21.900	6.570	28.470
12	23.510	7.053	30.563
13	25.022	7.507	32.529
14	26.251	7.875	34.126
15	26.796	8.038	34.834

Desplazamiento máx. permisible = 30.84 cm. < 34.834 cm.

6. ANALISIS COMPARATIVO DE COSTOS.

Una vez que se obtuvo el diseño de la estructura así como de la cimentación se procedió a evaluar las cantidades de materiales de los dos análisis propuestos, estas cantidades de materiales son:

- a) Volumen de concreto.
- b) Acero de refuerzo.
- c) Cimbra.
- d) Pilotes.

A continuación se muestra la tabla comparativa de costos en la cual se han separado los costos de cimentación con el diseño aplicando el Reglamento de 1976 el cual he llamado "antes del sismo" y el costo de cimentación aplicando el Reglamento de 1987 al cual he llamado "después del sismo". También los costos de superestructura se han separado de la misma manera.

Esta tabla incluye los conceptos de :

- a) Trabes y Muros.
- b) Losas.
- c) Pilotes

En el aspecto de cimentación y de columnas, trabes principales, trabes secundarias y losas en el aspecto de superestructura.

Los volúmenes de excavación no se incluyen ya que el costo es el mismo para los dos casos.

Los precios unitarios se tomaron de la publicación mensual BIMSA DE CW.(Buro Informativo de Materiales S.A. de C.V.)

De este análisis de costo podemos decir:

- 1.- El costo de la cimentación "antes del sismo" es de 96% del costo de la superestructura.
- 2.- El costo de cimentación "después del sismo" es de 4.8% mayor que el costo de la superestructura.
- 3.- El incremento de la superestructura "después del sismo" respecto de la primera estructura es de 29.84%.
- 4.- El costo de pilotes es mayor en un 32% para la cimentación nueva.
- 5.- El incremento de la cimentación "después del sismo" respecto de la primera cimentación es de 41.86%.

ANÁLISIS COMPARATIVO DE COSTO
ESTRUCTURALES (ANTES SISMIC)

1444

CONCEPTO	COSTO ESTRUCT			ACERO DE REFORZADO			CERAMICA			SUMA
	CANTIDAD m ³	P.U. \$/m ³	COSTO EN MILLONES \$	CANTIDAD TON.	P.U. \$/TON	COSTO EN MILLONES \$	CANTIDAD m ²	P.U. \$/m ²	COSTO EN MILLONES \$	
FUNDAS Y PARES	1616.30	92736.34	148.669	112.422	933027.5	104.89	1499.2	3701.40	5.54	260.32
MURAS	287.40	92736.34	26.47	19.310	933027.5	1d.01	457.0	3701.40	1.69	40.37
PIERRES	112 + 32 m. x 94.000.0 m ³ /m.									329.72
										Total = 630.41 (76 % del costo de la superestructura)

COSTO DE SUPERESTRUCTURA (ANTES SISMIC)

CONCEPTO	COSTO ESTRUCT			ACERO DE REFORZADO			CERAMICA			SUMA
	CANTIDAD m ³	P.U. \$/m ³	COSTO EN MILLONES \$	CANTIDAD TON.	P.U. \$/TON	COSTO EN MILLONES \$	CANTIDAD m ²	P.U. \$/m ²	COSTO EN MILLONES \$	
FUNDAS Y PARES	2573.10	92736.34	238.62	176.294	933027.5	181.24	2000.0	3701.40	7.40	427.30
MURAS	230.42	92736.34	21.46	16.103	933027.5	16.80	449.0	3701.40	1.69	39.82
PIERRES	148.30 (32 m. x 94.000.0 m ³ /m.)									432.71
										Total = 902.71 Incrementos 41.86 %

COSTO SUPERESTRUCTURA (ANTES SISMIC)

CONCEPTO	COSTO ESTRUCT			ACERO DE REFORZADO			CERAMICA			SUMA
	CANTIDAD m ³	P.U. \$/m ³	COSTO EN MILLONES \$	CANTIDAD TON.	P.U. \$/TON	COSTO EN MILLONES \$	CANTIDAD m ²	P.U. \$/m ²	COSTO EN MILLONES \$	
COLONIAS	393.7	8964.25	35.240	117.04	933025	109.20	2355	1001.15	42.46	180.908
FUNDAS	809.4	90576.33	73.540	93.38	933021	67.58	5358	17285.71	41.28	212.400
MURAS	270.0	90576.33	26.076	20.60	933021	24.95	2304	17285.71	17.75	68.776
SECCS.	922.0	90576.33	89.045	72.30	1011128	72.80	7552	4307.50	32.53	194.375
SURA										651.359
										COSTO total del edificio (antes sismo) = \$129.58 millones

COSTO SUPERESTRUCTURA (DESPUES SISMIC)

CONCEPTO	COSTO ESTRUCT			ACERO DE REFORZADO			CERAMICA			SUMA
	CANTIDAD m ³	P.U. \$/m ³	COSTO EN MILLONES \$	CANTIDAD TON.	P.U. \$/TON	COSTO EN MILLONES \$	CANTIDAD m ²	P.U. \$/m ²	COSTO EN MILLONES \$	
COLONIAS	1079.7	8964.25	96.79	130.71	933025	109.08	3936	1001.55	71.00	315.87
FUNDAS	1021.3	90576.33	98.00	143.01	933021	136.78	6058	17285.71	46.68	282.03
MURAS	270.0	90576.33	26.076	20.60	933021	24.95	2304	17285.71	17.75	68.776
SECCS.	922.0	90576.33	89.045	72.30	1011128	72.80	7552	4307.50	32.53	194.375
SURA										Incramento 29.84 %

7.-DISCUSION DE LOS RESULTADOS.

Haciendo un análisis de los resultados obtenidos respecto del cálculo y diseño del edificio propuesto podemos decir que:

- 1.- Las secciones obtenidas para columnas y tráves aplicando el nuevo reglamento son mayores como de antemano se podía pensar y esto es debido a que la limitación de los desplazamientos relativos entre piso y piso y los desplazamientos totales están más restringidos en las nuevas especificaciones del reglamento. Cabe mencionar que en los diseños que arrojan los análisis I y II dan lugar a desplazamientos de entre piso del orden del 65 % de los permisibles. (pag. 53 y 100).
- 2.- Los volúmenes de concreto en tráves y la relación de acero de refuerzo a concreto es mayor; esto es debido a que el espectro de respuesta sísmico con el que ahora se diseña tiene valores mayores obteniéndose elementos mecánicos mayores.
- 3.- En el caso de columnas la relación de acero de refuerzo a concreto es mayor en el diseño realizado con el antiguo reglamento debido a que las secciones son menores. Los porcentajes de acero de refuerzo son del orden de 3.5 % en el primer caso y en el segundo caso de 1.0%; aún cuando el factor de resistencia es menor para el diseño de columnas nuevo.
- 4.- El volumen de concreto y el acero de refuerzo en el caso de lanas y tráves secundarios permanece constante.
- 5.- En volumen de concreto total podemos decir que el diseño se incrementa en un 34 % y el acero de refuerzo en 30 %.
- 6.- Al revisar la cimentación para la condición de estado límite de falla como una pila de geometría igual a la de la envolvente del conjunto de pilotes se encuentra que la resistencia está escasa en un 14 %.
- 7.- Como conclusión de los resultados obtenidos de la revisión de la estructura con el espectro de respuesta registrado en la S.C.T. el 19 de septiembre de 1985 se puede decir que la estructura tendrá que desarro-

- ... -llar ductilidades mucho mayores a las supuestas ya que así lo demuestran los cálculos que se muestran en la parte correspondiente de esta tesis.
- 8.- De los resultados económicos para el primer caso podemos decir que la cimentación cuesta el 96 % del costo de la superestructura; para el segundo caso el costo es mayor en 4.85%.
- 9.- El incremento global del costo de la estructura y subestructura del edificio con el nuevo Reglamento es de 35.73 %.

B. BIBLIOGRAFIA

1.- DISEÑO Y CONSTRUCCIONES DE CIMENTACIONES.

Normas técnicas complementaria del Reglamento de Construcciones para el Distrito Federal. Libro 405.
Editorial U.N.A.M. Instituto de Ingeniería. 1977.

2.- BAZAN,Enrique y MELLI ,Roberto."Manual de Diseño Sismico de Edificios"(de acuerdo con el Reglamento de Construcciones para el Distrito Federal).Editorial UNAM Instituto de Ingeniería. Septiembre 1983.

3.- DISEÑO Y CONSTRUCCION DE ESTRUCTURAS DE CONCRETO

Normas técnicas complementaria del Reglamento de Construcciones para el Distrito Federal. Libro 401.
Editorial U.N.A.M. Instituto de Ingeniería.Julio 1977.

4.- PARK,R. y PAULEY,T. " Reinforced Concrete Structures". Editorial John Wiley & Sons.1975.

5.- TERZAGHI,Karl y PECK,Ralph B. "Mecánica de Suelos en la Ingeniería Practice". Editorial "El Ateneo",Agosto 1968.

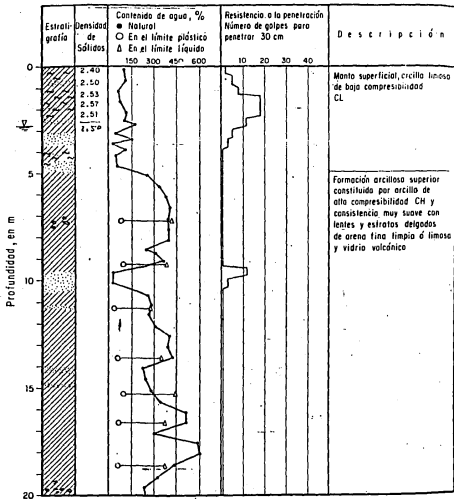


Fig. 2. Perfil estratigráfico y propiedades en SPE 1

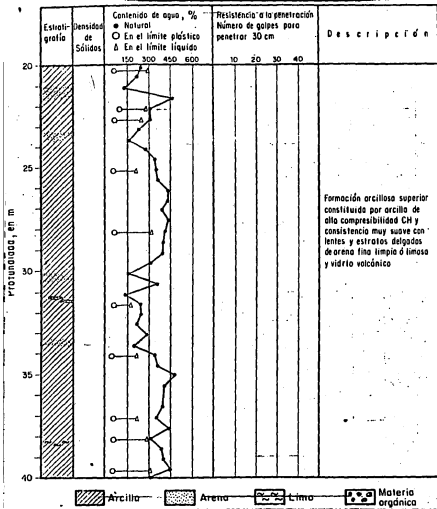


Fig. 2. (continúa)

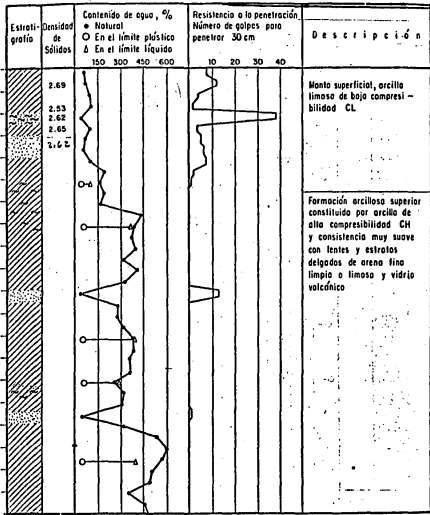


Fig. 3. Perfil estratigráfico y propiedades en SPE 2.

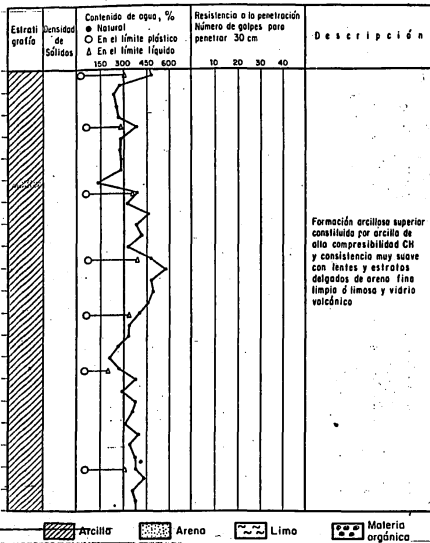


Fig. 3. (continúa)

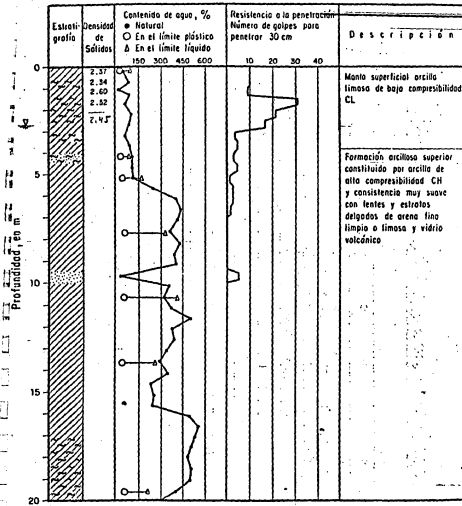


Fig 4 . Perfil estratigráfico y propiedades en SPES

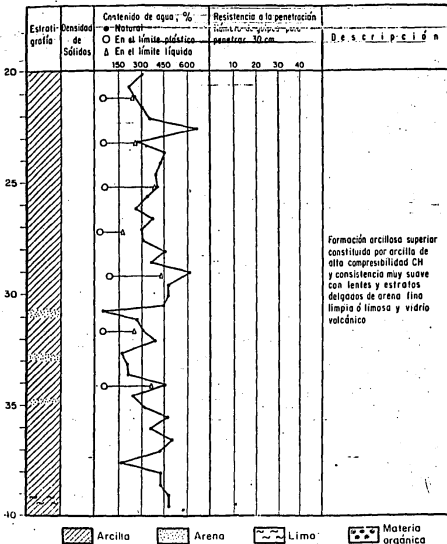


Fig. 4. (continúa)

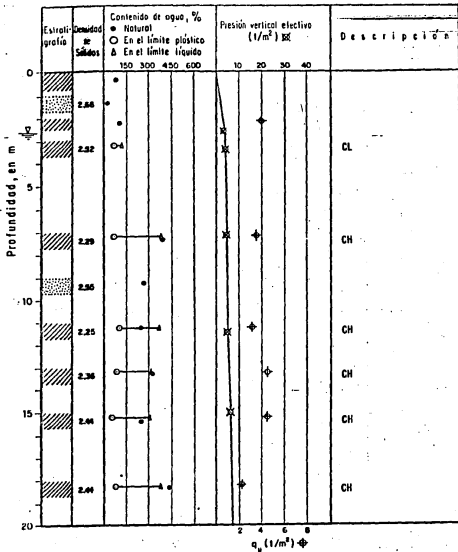


Fig 5. Perfil estratigráfico y propiedades en SM 1

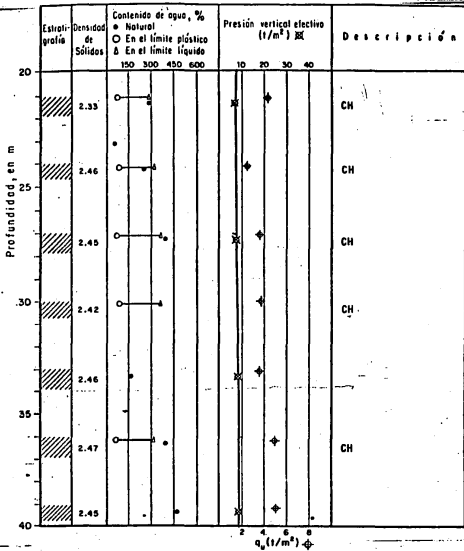


Fig 5. (continúa)

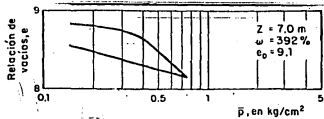


Fig 6. Curva de compresibilidad

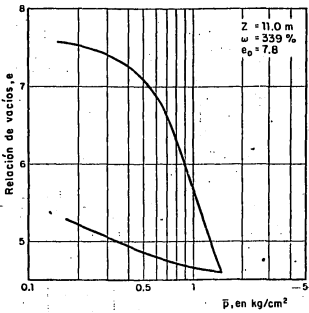


Fig 7. Curva de compresibilidad

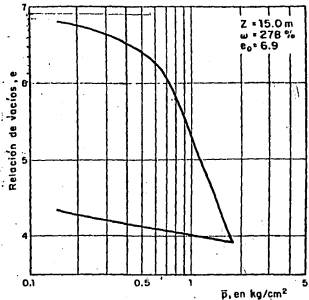
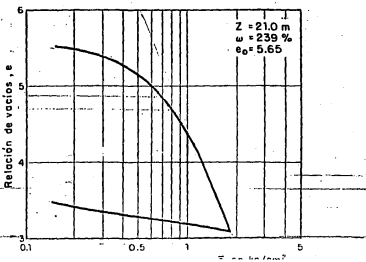


Fig 8. Curva de compresibilidad



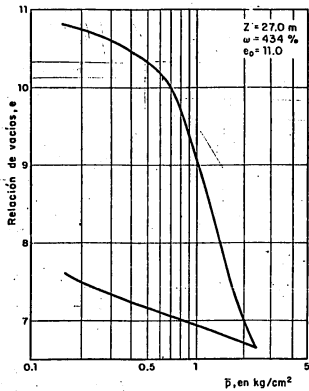


Fig 10. Curva de compresibilidad.

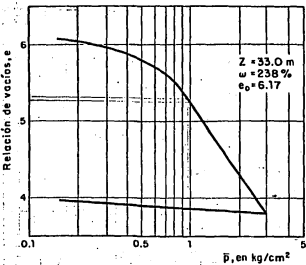


Fig 11. Curva de compresibilidad

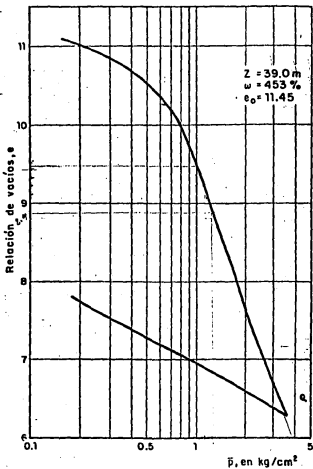


Fig. 12. Curva de compresibilidad